



Agence de l'Eau  
Rhône Méditerranée Corse

**ÉTUDE DES PLANS D'EAU DU PROGRAMME DE  
SURVEILLANCE DES BASSINS RHONE-  
MEDITERRANEE ET CORSE – LOT N°2 CENTRE  
RAPPORT DE DONNEES BRUTES ET  
INTERPRETATION  
RETENUE DE MONTEYNARD-AVIGNONET**

*SUIVI ANNUEL 2018*



*Lac Monteynard (crédit photo : STE, août 2018)*



*Rapport n° 16-707B - Monteynard – septembre 2019*

*Sciences et Techniques de l'Environnement – B.P. 90374  
17, Allée du Lac d'Aiguebelette - Savoie Technolac  
73372 Le Bourget du Lac cedex  
tél. : 04 79 25 08 06; tcp : 04 79 62 13 22*



# SOMMAIRE

<b>- CHAPITRE 1 : CADRE DU PROGRAMME DE SUIVI .....</b>	<b>1</b>
<b>CHAPITRE 2 : DESCRIPTION DU PLAN D'EAU SUIVI.....</b>	<b>5</b>
<b>1 PRESENTATION DU PLAN D'EAU ET LOCALISATION .....</b>	<b>7</b>
<b>2 CONTENU DU SUIVI 2018.....</b>	<b>10</b>
<b>2.1 PLANNING DE REALISATION.....</b>	<b>10</b>
<b>2.2 ETAPES DE LA VIE LACUSTRE.....</b>	<b>10</b>
<b>3 BILAN CLIMATIQUE DE L'ANNEE 2018.....</b>	<b>12</b>
<b>CHAPITRE 3 : RAPPEL METHODOLOGIQUE - .....</b>	<b>14</b>
<b>1 INVESTIGATIONS PHYSICOCHIMIQUES.....</b>	<b>15</b>
<b>1.1 METHODOLOGIE.....</b>	<b>15</b>
<b>1.2 PROGRAMME ANALYTIQUE.....</b>	<b>17</b>
<b>2 INVESTIGATIONS HYDROBIOLOGIQUES .....</b>	<b>18</b>
<b>2.1 PRELEVEMENT DES ECHANTILLONS.....</b>	<b>18</b>
<b>2.2 DETERMINATION DES TAXONS .....</b>	<b>18</b>
<b>2.3 TRAITEMENT DES DONNEES .....</b>	<b>19</b>
<b>- CHAPITRE 4 : RESULTATS DES INVESTIGATIONS - .....</b>	<b>20</b>
<b>1 INVESTIGATIONS PHYSICOCHIMIQUES.....</b>	<b>21</b>
<b>1.1 ANALYSES DES EAUX .....</b>	<b>21</b>
1.1.1 Profils verticaux et évolutions saisonnières.....	21
1.1.2 Profils verticaux matières organiques dissoutes .....	24
1.1.3 Paramètres de constitution et typologie du lac .....	25
1.1.4 Analyses physicochimiques des eaux (hors micropolluants).....	25
1.1.5 Micropolluants minéraux.....	26
1.1.6 Micropolluants organiques .....	27
<b>1.2 ANALYSES DES SEDIMENTS .....</b>	<b>28</b>
1.2.1 Analyses physicochimiques des sédiments (hors micropolluants).....	28
1.2.2 Micropolluants minéraux.....	29
1.2.3 Micropolluants organiques .....	30
<b>2 PHYTOPLANCTON.....</b>	<b>31</b>
<b>2.1 PRELEVEMENTS INTEGRES .....</b>	<b>31</b>
<b>2.2 LISTES FLORISTIQUES .....</b>	<b>32</b>
<b>2.3 EVOLUTIONS SAISONNIERES DES GROUPEMENTS PHYTOPLANCTONIQUES.....</b>	<b>34</b>
<b>2.4 INDICE PHYTOPLANCTONIQUE IPLAC.....</b>	<b>36</b>
<b>2.5 COMPARAISON AVEC LES INVENTAIRES ANTERIEURS .....</b>	<b>36</b>

<b>3</b>	<b>APPRECIATION GLOBALE DE LA QUALITE DU PLAN D'EAU .....</b>	<b>37</b>
	<b>- ANNEXES - .....</b>	<b>39</b>
<b>ANNEXE 1.</b>	<b>LISTE DES MICROPOLLUANTS ANALYSES SUR EAU .....</b>	<b>41</b>
<b>ANNEXE 2.</b>	<b>LISTE DES MICROPOLLUANTS ANALYSES SUR SEDIMENT .....</b>	<b>49</b>
<b>ANNEXE 3.</b>	<b>COMPTES RENDUS DES CAMPAGNES PHYSICO-CHIMIQUES ET PHYTOPLANCTONIQUES .....</b>	<b>53</b>
<b>ANNEXE 4.</b>	<b>SUIVI PISCICOLE AFB (2017) .....</b>	<b>55</b>

## Table des Illustrations

Figure 1 : profil en long du Drac avec ses aménagements hydroélectriques (source : plaquette EDF « Monteynard le géant du Drac », mai 2011) .....	7
Figure 2 : Moyennes mensuelles de température à la station de Vizille (sur la base des données du site Info-climat).....	12
Figure 3 : Cumul de précipitations mensuelles à la station de Vizille (sur la base des données du site Info-climat).....	13
Figure 4 : Représentation schématique des différentes stratégies de comptage .....	18
Figure 5 : Seuils des classes d'état définis pour chaque métrique et pour l'IPLAC.....	19
Figure 6 : Profils verticaux de température au point de plus grande profondeur .....	21
Figure 7 : Profils verticaux de conductivité au point de plus grande profondeur.....	22
Figure 8 : Profils verticaux d'oxygène (mg/l) au point de plus grande profondeur .....	23
Figure 9 : Profils verticaux d'oxygène (% sat.) au point de plus grande profondeur.....	23
Figure 10 : Profils verticaux de pH au point de plus grande profondeur.....	24
Figure 11 : profils verticaux des matières organiques dissoutes .....	24
Figure 12 : Evolution de la transparence et de la zone euphotique lors de 4 campagnes .....	31
Figure 13 : Répartition du phytoplancton sur le lac de Monteynard à partir des abondances (cellules/ml)....	34
Figure 14 : Evolution saisonnière des biovolumes des principaux groupes algaux de phytoplancton (en mm <sup>3</sup> /l) .....	34
Tableau 1 : Synoptique générique des investigations menées sur une année de suivi d'un plan d'eau .....	3
Tableau 2 : liste des plans d'eau suivis sur le centre du bassin Rhône-Méditerranée .....	4
Tableau 3 : Synoptique des interventions de terrain et de laboratoire sur le plan d'eau .....	10
Tableau 4 : Résultats des paramètres de minéralisation .....	25
Tableau 5 : Résultats des paramètres de physico-chimie classique sur eau .....	25
Tableau 6 : Résultats d'analyses de métaux sur eau.....	26
Tableau 7 : Résultats d'analyses de micropolluants organiques présents sur eau.....	27
Tableau 8 : Synthèse granulométrique sur le sédiment du point de plus grande profondeur .....	28
Tableau 9 : Analyse de sédiments .....	28
Tableau 10 : Résultats d'analyses de micropolluants minéraux sur sédiment.....	29
Tableau 11 : Résultats d'analyses de micropolluants organiques présents sur sédiment.....	30
Tableau 12 : analyses des pigments chlorophylliens.....	31
Tableau 13 : Liste taxonomique du phytoplancton (en nombre de cellules/ml).....	32
Tableau 14 : Liste taxonomique du phytoplancton (en mm <sup>3</sup> /l) .....	32
Tableau 15 : évolution des Indices IPLAC depuis 2009 .....	36
Carte 1 : localisation de la retenue de Monteynard (Isère).....	8
Carte 2 : Présentation du point de prélèvement.....	9

## FICHE QUALITE DU DOCUMENT

<b>Maître d'ouvrage</b>	Agence de l'Eau Rhône Méditerranée Corse (AERMC) Direction des Données et Redevances 2-4, Allée de Lodz 69363 Lyon Cedex 07
	<b>Interlocuteur :</b> Mr IMBERT Loïc
	<b>Coordonnées :</b> <a href="mailto:loic.imbert@eurmc.fr">loic.imbert@eurmc.fr</a>
<b>Titre du projet</b>	Etude des plans d'eau du programme de surveillance des bassins Rhône-Méditerranée et Corse – Rapport de données brutes et interprétation – Retenue de Monteynard
<b>Référence du document</b>	<b>Rapport n°16-707B /2018-Rapport Monteynard 2018</b>
<b>Date</b>	Avril 2019
<b>Auteur(s)</b>	<b>S.T.E. Sciences et Techniques de l'Environnement</b>

### Contrôle qualité

Version	Rédigé par	Date	Visé par	Date
V1	Audrey Péricat,	19/05/2019	Eric Bertrand	19/05/2019
VF	Audrey Péricat	2/09/2019	Suite aux remarques de L Imbert, courriel en date du 7/08/19	

### Thématique

<b>Mots-clés</b>	<b>Géographiques :</b> Bassin Rhône-Méditerranée – Rhône-Alpes – Isère (38) – Retenue de Monteynard
	<b>Thématiques :</b> Réseaux de surveillance – Etat trophique – Plan d'eau

<b>Résumé</b>	Le rapport rend compte de l'ensemble des données collectées sur le lac de Monteynard lors des campagnes de suivi 2018. Une présentation du plan d'eau et du cadre d'intervention est menée puis les résultats des investigations sont développés dans la suite du document.
---------------	---

### Diffusion

Envoyé à :				
Nom	Organisme	Date	Format(s)	Nombre d'exemplaire(s)
Loïc IMBERT	AERMC	02/09/2019	Informatique et papier	1
pour version définitive à diffuser				

# **CHAPITRE 1 : CADRE DU PROGRAMME DE SUIVI**



Dans le cadre de la mise en œuvre de la Directive Cadre européenne sur l'Eau (DCE), adoptée le 23 Octobre 2000 et transposée en droit français le 21 avril 2004, un programme de surveillance a été mis en place au niveau national afin de suivre l'état écologique et l'état chimique des eaux douces de surface (cours d'eau et plans d'eau).

L'Agence de l'Eau Rhône Méditerranée Corse a en charge le suivi des plans d'eau faisant partie du programme de surveillance sur les bassins Rhône-Méditerranée et Corse.

Le suivi comprend la réalisation de prélèvements d'eau et de sédiments répartis sur quatre campagnes dans l'année pour analyse des paramètres physico-chimiques et des micropolluants. Différents compartiments biologiques sont étudiés (phytoplancton, macrophytes, diatomées, faune benthique). Le tableau 1 synthétise les différentes mesures qui sont réalisées dans le cadre du suivi type (selon la nature des plans d'eau et les éléments déjà suivis antérieurement, le contenu du suivi n'englobera pas nécessairement l'ensemble des éléments listés dans le Tableau 1). Un suivi du peuplement piscicole doit également être réalisé dans le cadre du programme de surveillance sur certains types de plans d'eau.

**Tableau 1 : Synoptique générique des investigations menées sur une année de suivi d'un plan d'eau**

		Paramètres	Type de prélèvements/ Mesures	HIVER	PRINTEMPS	ETE	AUTOMNE
<b>Sur EAU</b>	<b>Mesures in situ</b>	O2 dis. (mg/l, %sat.), pH, COND (25°C), T°, transparence secchi	Profils verticaux	X	X	X	X
	<b>Physico-chimie classique et micropolluants</b>	DBO5, PO4, Ptot, NH4, NKJ, NO3, NO2, Corg, MEST, Turbidité, Si dissoute	Intégré	X	X	X	X
		Micropolluants sur eau*	Intégré	X	X	X	X
			Ponctuel de fond	X	X	X	X
		Chlorophylle a + phéopigments	Intégré	X	X	X	X
	Ponctuel de fond						
<b>Paramètres de Minéralisation</b>	Ca <sup>2+</sup> , Na <sup>+</sup> , Mg <sup>2+</sup> , K <sup>+</sup> , dureté, TAC, SO <sub>4</sub> <sup>2-</sup> , Cl <sup>-</sup> , HCO <sub>3</sub> <sup>-</sup>	Intégré	X				
	Ponctuel de fond						
<b>Sur SEDIMENTS</b>	<b>Eau interst. : Physico-chimie</b>	PO4, Ptot, NH4					
	<b>Phase solide</b>	<b>Physico-chimie classique</b>	Corg., Ptot, Norg, Granulométrie, perte au feu				X
		<b>Micropolluants</b>	Micropolluants sur sédiments*				
<b>HYDROBIOLOGIE et HYDROMORPHOLOGIE</b>	Phytoplancton	Intégré - Protocole IRSTEA/Utermöhl	X	X	X	X	
	Invertébrés	Protocole en cours de développement		X			
	Diatomées	Protocole IRSTEA			X		
	Macrophytes	Norme XP T 90-328			X		

\* : se référer à l'arrêté du 7 août 2015 établissant le programme de surveillance de l'état des eaux

RCS : un passage par plan de gestion pour le suivi complet (soit une fois tous les six ans / tous les trois ans pour le phytoplancton)

CO : un passage tous les trois ans

Poissons et hydromorphologie en charge de l'ONEMA (un passage tous les 6 ans)



Différents réseaux constituent le programme de surveillance. Parmi ceux-ci, deux réseaux sont actuellement mis en œuvre sur les plans d'eau :

- ✓ Le réseau de contrôle de surveillance (RCS) vise à donner une image globale de la qualité des eaux. Tous les plans d'eau naturels supérieurs à 50ha ont été pris en compte sur les bassins Rhône-Méditerranée et Corse. Pour les plans d'eau d'origine anthropique, une sélection a été opérée parmi les plans d'eau supérieurs à 50 ha, afin de couvrir au mieux les différents types présents sur les bassins Rhône-Méditerranée et Corse (grandes retenues, plans d'eau de digue, plans d'eau de creusement).
- ✓ Le contrôle opérationnel (CO) vise à suivre spécifiquement les plans d'eau (naturels ou anthropiques) supérieurs à 50 ha qui risquent de ne pas atteindre leurs objectifs environnementaux (le bon état ou le bon potentiel).

Au total, 79 plans d'eau sont suivis sur les bassins Rhône-Méditerranée et Corse dans le cadre de ces deux réseaux.

La liste des plans d'eau suivis en 2018 sur le centre du bassin Rhône-Méditerranée, précisant pour chaque plan d'eau le réseau qui le concerne, est fournie dans le Tableau 2.

**Tableau 2 : liste des plans d'eau suivis sur le centre du bassin Rhône-Méditerranée**

Code_lac	Libellé	Origine	Dept	Réseaux	Type de suivi
V1535003	Aiguebelette	Naturel	73	RCS	Phytoplancton
V3005003	Grand-large	MEA	69	CO	Classique
W2765003	Laffrey (grand)	Naturel	38	RCS	Phytoplancton
W2735023	Lauvitel	Naturel	38	REF	Classique
W2--3003	Monteynard- Avignonet	MEFM	38	RCS/CO	Classique
W2615003	Notre-Dame de Commiers	MEFM	38	CO	Classique
W2765023	Petichet	Naturel	38	RCS/CO	Classique
W2405023	Pierre-châtel	Naturel	38	RCS/CO	Phytobenthos
W2225003	Saint-Pierre-Cognet	MEA	38	CO	Classique
W22-4003	Sautet	MEFM	38	RCS	Phytoplancton
W2325003	Vallon 38	Naturel	38	REF	Classique

**CHAPITRE 2 : DESCRIPTION DU PLAN D'EAU**  
**SUIVI**



## 1 PRESENTATION DU PLAN D'EAU ET LOCALISATION

La retenue de Monteynard-Avignonet est située dans le département de l'Isère au sud de Grenoble, elle est formée par un barrage sur le Drac construit en 1962. Il s'agit du 3<sup>ème</sup> barrage de la chaîne du Drac, placé à la suite de la retenue du Sautet (étudiée également en 2018) et de la retenue de Saint-Pierre Cagnet (Figure 1). Le barrage atteint 135 m, il est géré par EDF pour l'hydroélectricité. En aval, se trouve la retenue de Notre-Dame de Commiers (également étudiée en 2018, au titre du CO) dans laquelle s'écoulent les eaux issues de la prise d'eau du barrage de Monteynard.

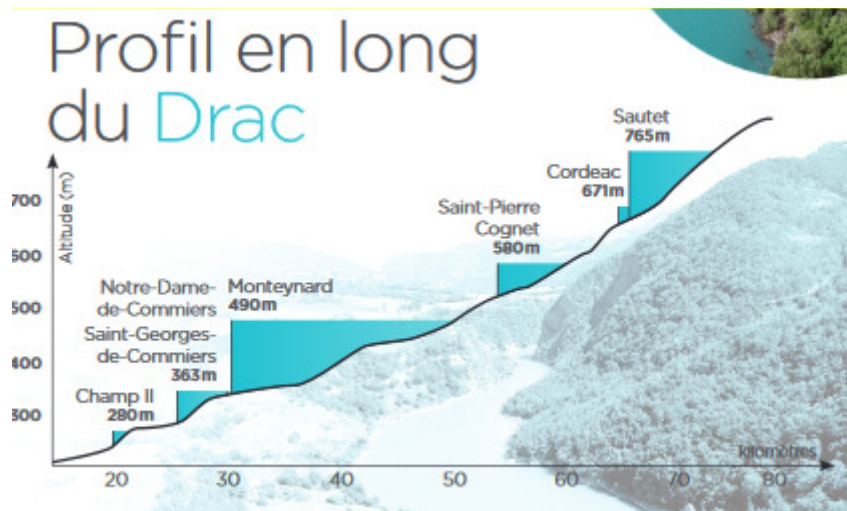
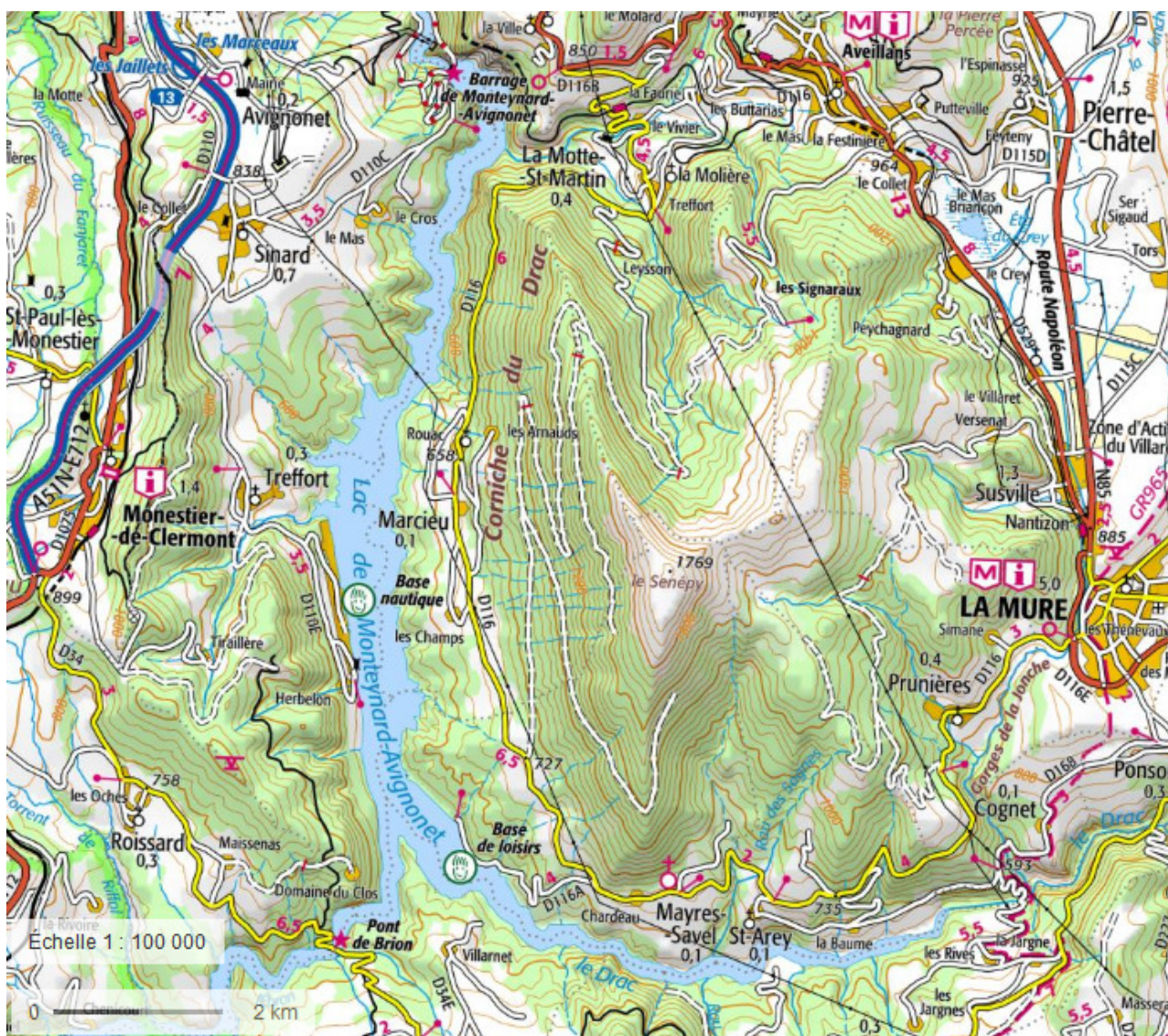


Figure 1 : profil en long du Drac avec ses aménagements hydroélectriques (source : plaquette EDF « Monteynard le géant du Drac », mai 2011)

La retenue de Monteynard-Avignonet s'étend sur plusieurs communes, le plan d'eau est géré par le SIVOM du lac de Monteynard-Avignonet. Des activités nautiques sont pratiquées : ski nautique et motonautisme, essentiellement en période estivale où une convention garantit une cote supérieure à 468 m NGF (mai-septembre). Le site est très prisé pour la pratique de la voile : planche à voile, kitesurf en raison des vents favorables qui s'engouffrent dans la vallée.



Carte 1 : localisation de la retenue de Monteynard (Isère)

(éch. 1/100 000, source cartographique : Géoportail)

Le plan d'eau formé est de taille importante avec 507 ha pour un volume de 270 millions de m<sup>3</sup> en CNE<sup>1</sup> pour une profondeur maximale de 120 m environ.

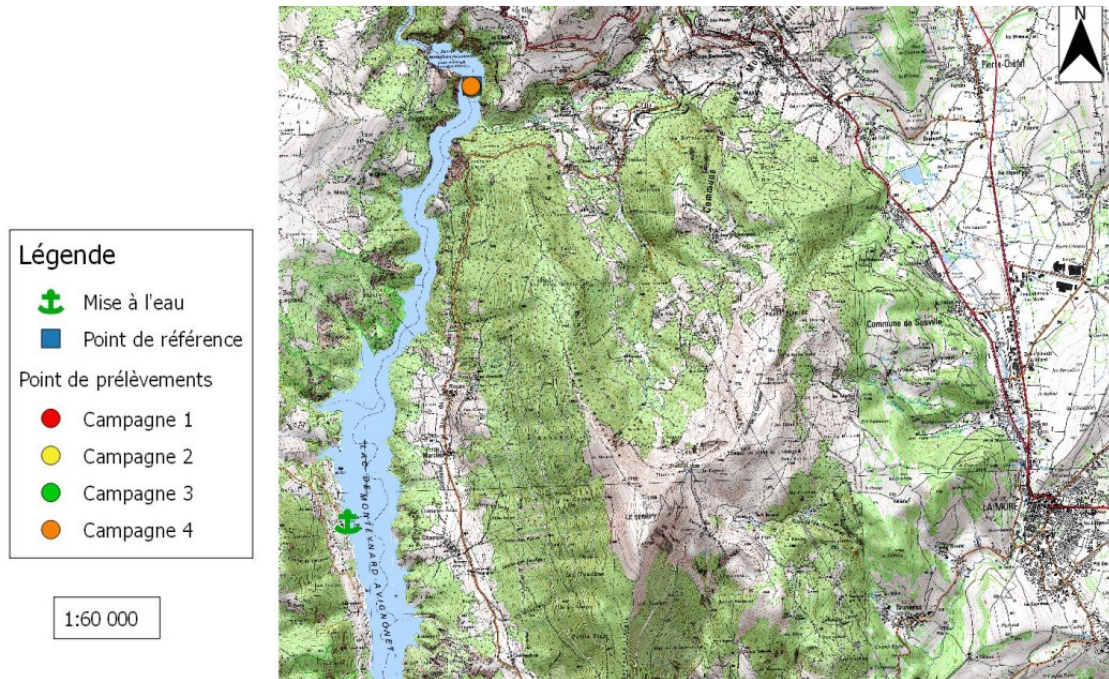
Orienté sud- nord, le plan d'eau s'étend sur 20 km de long et reçoit les eaux du Drac et de l'Ebron. Son temps de séjour théorique est court : 55 jours environ. Le régime du Drac est nival : les hautes eaux ont lieu au printemps lors de la fonte des neiges et les basses eaux en hiver et en fin d'été.

La cote du plan d'eau varie de façon saisonnière entre 450 et 490 m NGF en fonction des besoins énergétiques. Les turbines maximales se font généralement en hiver et au début du printemps, période correspondant à la plus forte demande énergétique : le temps de séjour réel est donc plus complexe à définir. Au printemps, le volume entrant élevé, associé à un volume réduit dans la retenue (cote < 468 m NGF) implique un renouvellement des eaux important, et ce jusqu'en juin. En été, au contraire, les apports des cours d'eau sont réduits et la retenue ayant atteint son volume maximal, le renouvellement des eaux est plus faible de juillet à septembre.

N.B. : EDF n'a encore jamais réalisé de vidange de cette retenue.

<sup>1</sup> CNE : cote normale d'exploitation

La zone de plus grande profondeur se situe à proximité du barrage dans le chenal central. Le point de plus grande profondeur atteint 110 m pour cette année 2018 (Carte 2) comme lors des suivis précédents. Le marnage était de l'ordre de 22 m lors de la 1<sup>ère</sup> campagne début mai 2018, le plan d'eau avait atteint sa cote maximale le 7 août 2018.



**Carte 2 : Présentation du point de prélèvement**

Le lac présente un fonctionnement monomictique, avec une seule phase de stratification annuelle en été.

## 2 CONTENU DU SUIVI 2018

La retenue de Monteynard est suivie au titre des Réseaux de Contrôle de Surveillance (RCS) et du Contrôle Opérationnel (CO).

Le lac de Monteynard présente les pressions suivantes à l'origine du risque de non atteinte des objectifs environnementaux :

- ✓ Hydrologie ;
- ✓ Autre : altération de la continuité piscicole.

### 2.1 PLANNING DE REALISATION

Le tableau ci-dessous indique la répartition des missions aussi bien en phase terrain qu'en phase laboratoire/détermination. S.T.E. a, en outre, eu en charge de coordonner la mission et de collecter l'ensemble des données pour établir les rapports et mener l'exploitation des données.

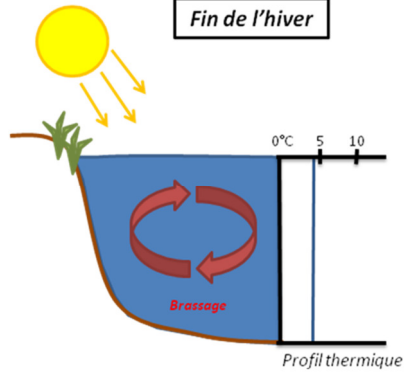
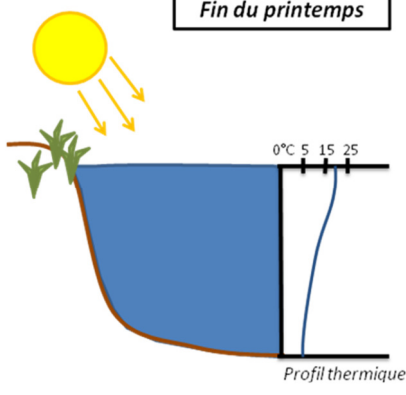
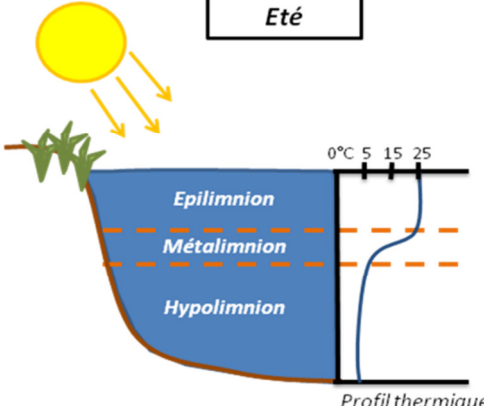
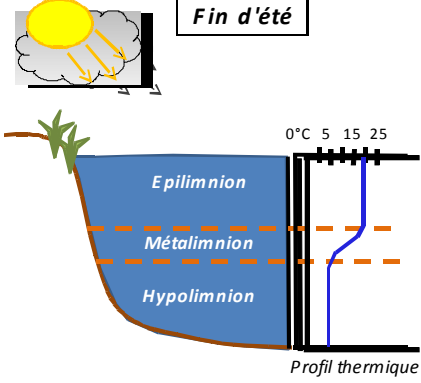
**Tableau 3 : Synoptique des interventions de terrain et de laboratoire sur le plan d'eau**

Retenue de Monteynard	Phase terrain				Laboratoire - détermination
	C1	C2	C3	C4	
Campagne					
Date	<b>02/05/2018</b>	<b>12/06/2018</b>	<b>07/08/2018</b>	<b>09/10/2018</b>	<b>automne/hiver 2018-2019</b>
<b>Physicochimie des eaux</b>	S.T.E.	S.T.E.	S.T.E.	S.T.E.	CARSO
<b>Physicochimie des sédiments</b>				S.T.E.	LDA26
<b>Phytoplancton</b>	S.T.E.	S.T.E.	S.T.E.	S.T.E.	TEREO

La 1<sup>ère</sup> campagne a été un peu tardive en raison d'une cote basse ne permettant pas la navigation (accès mise à l'eau) avant le 1<sup>er</sup> mai.

### 2.2 ETAPES DE LA VIE LACUSTRE

Les investigations physicochimiques ont été réalisées lors de quatre campagnes qui correspondent aux différentes étapes de développement de la vie lacustre.

<p><b>Campagne 1</b></p> <p>La première campagne correspond à la phase d'homothermie du plan d'eau. La masse d'eau est homogène (en température et en oxygène). Sur les lacs monomictiques, cette phase intervient en hiver. La campagne est donc réalisée en fin d'hiver avant que l'activité biologique ne débute (début mars en Rhône-Alpes).</p> <p><sup>1</sup> Plan d'eau qui présente une seule alternance stratification / déstratification annuelle.</p>	<p style="text-align: center;"><b>Fin de l'hiver</b></p>  <p style="text-align: right;">Profil thermique</p>
<p><b>Campagne 2</b></p> <p>La seconde campagne correspond à la période de démarrage et de développement de l'activité biologique des lacs. Il s'agit de la période de mise en place de la stratification thermique conditionnée par le réchauffement. Cette phase intervient au printemps et c'est à cette période que l'activité biologique atteint son maximum. La campagne est donc généralement réalisée durant les mois de mai à juin (exceptionnellement juillet pour les plans d'eau d'altitude).</p>	<p style="text-align: center;"><b>Fin du printemps</b></p>  <p style="text-align: right;">Profil thermique</p>
<p><b>Campagne 3</b></p> <p>La troisième campagne correspond à la période de stratification maximum du plan d'eau avec une thermocline bien installée avec une 2<sup>ème</sup> phase de croissance du phytoplancton. Cette phase intervient en période estivale. La campagne est donc réalisée durant les mois de juillet et août, lorsque l'activité biologique est maximale.</p>	<p style="text-align: center;"><b>Eté</b></p>  <p style="text-align: right;">Profil thermique</p>
<p><b>Campagne 4</b></p> <p>La quatrième campagne correspond à la fin de la stratification estivale du plan d'eau. Elle intervient avant la baisse de la température et la disparition de la thermocline. L'épilimnion présente alors son épaisseur maximale. Cette phase intervient en fin d'été : la campagne est donc réalisée durant le mois de septembre.</p>	<p style="text-align: center;"><b>Fin d'été</b></p>  <p style="text-align: right;">Profil thermique</p>



### 3 BILAN CLIMATIQUE DE L'ANNEE 2018

Les conditions climatiques de l'année 2018 pour le lac de Monteynard sont analysées à partir de la station météorologique de Vizille (280 m NGF), située à 30 kms au nord de la retenue de Monteynard. Les données seront analysées en prenant compte de l'altitude du lac de Monteynard (490 NGF).

L'année 2018 a été globalement chaude : +1°C par rapport aux moyennes de saison à la station de Vizille (Figure 2), ce constat est valable pour toute l'année, avec des températures particulièrement élevées en janvier et avril ( $\approx +3^\circ\text{C}$ ).

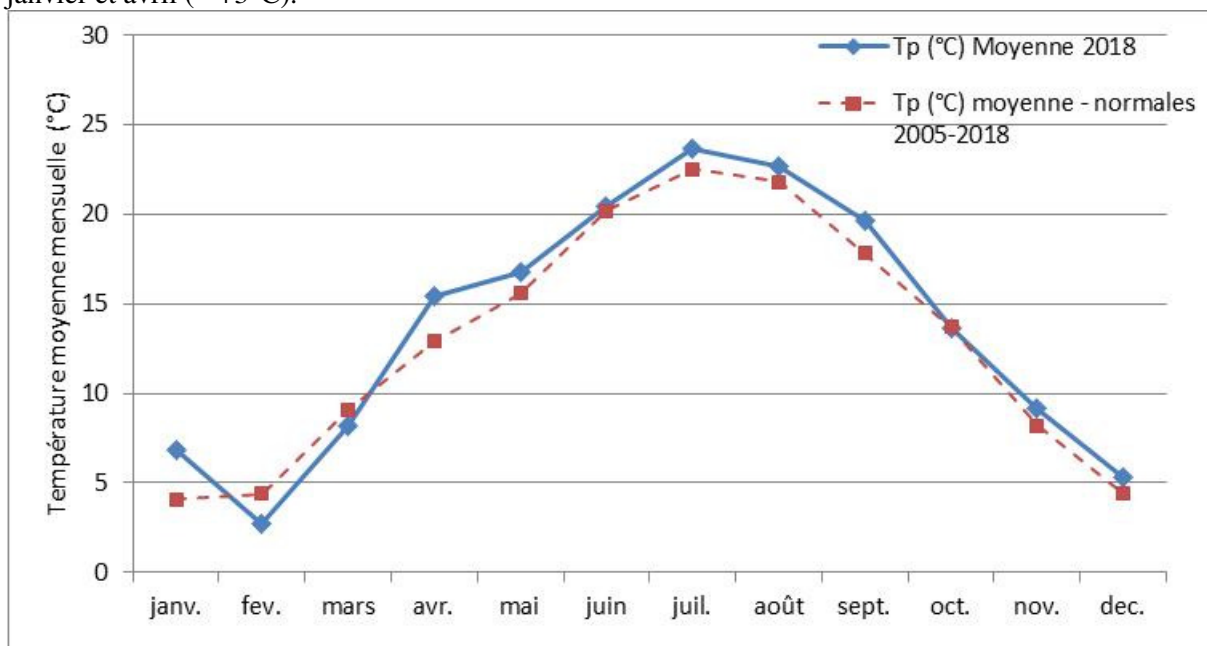


Figure 2 : Moyennes mensuelles de température à la station de Vizille (sur la base des données du site Info-climat)

Le cumul de précipitations en 2018 est supérieur à la normale (912 mm en 2018 contre 844 mm mesuré en moyenne sur la période 2005-2018), **soit +8% de pluviométrie**. Ces données sont présentées sur la Figure 3. Il ressort les éléments suivants :

- ✓ Déficits importants sur les mois de février, avril, juillet et septembre (environ 40 mm mensuel) ;
- ✓ Précipitations abondantes en janvier, mars et mai (cumul > 100 mm) ;
- ✓ Été assez sec et automne pluvieux.

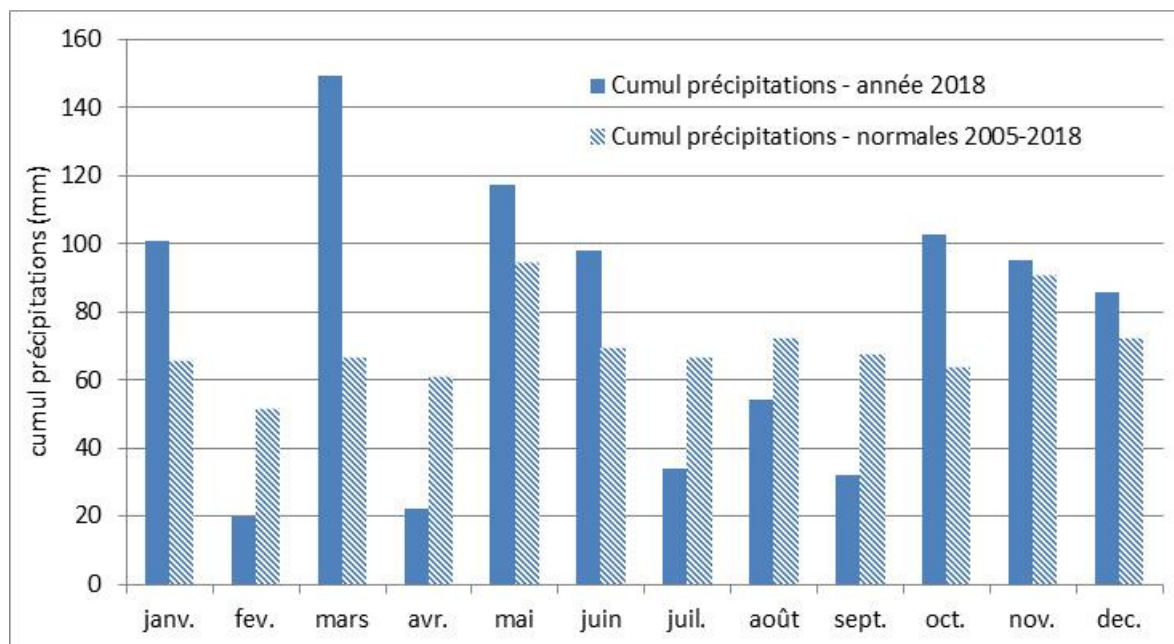


Figure 3 : Cumul de précipitations mensuelles à la station de Vizille (sur la base des données du site Info-climat)

Le début de l'année 2018 est caractérisé par un mois de janvier pluvieux et doux, les précipitations sont tombées essentiellement sous forme de pluie. Le mois de février est froid et sec. Le mois de Mars est, quant à lui, pluvieux et frais, avec des chutes de neige importantes en altitude. Le mois d'avril est peu arrosé et bien ensoleillé. Le mois de mai est assez doux, et très orageux, la pluviométrie est importante jusqu'au 13 juin.

La cote de la retenue de Monteynard est régulée par l'exploitation hydroélectrique du site (EDF). Globalement, la retenue est maintenue basse durant l'hiver, elle est en remplissage sur le printemps, elle atteint sa cote maximale durant l'été, le plan d'eau est déstocké dès le mois de septembre.

L'été est chaud et sec avec plusieurs épisodes caniculaires en juillet/août. Les températures restent élevées sur le début de l'automne (septembre-novembre). Les précipitations sont conformes aux normales de saison sur l'automne.

Au global, l'année 2018 est chaude, en particulier aux mois de janvier et d'avril et pendant l'été, et conforme en pluviométrie. Les importantes chutes de neige pendant l'hiver 2018 sur les massifs montagneux à proximité ont permis un bon remplissage du plan d'eau.

## **CHAPITRE 3 : RAPPEL MÉTHODOLOGIQUE -**

# 1 INVESTIGATIONS PHYSICOCHIMIQUES

---

## 1.1 METHODOLOGIE

---

Le contenu des investigations physicochimiques est similaire sur les quatre campagnes, excepté un point : un échantillon de sédiment est prélevé lors de la dernière campagne.

Le profil vertical et les prélèvements sont réalisés dans le secteur de plus grande profondeur que l'on recherche à partir des données collectées au préalable (bathymétrie, étude, communication avec les gestionnaires). Dans le cas des retenues, cette zone se situe en général à proximité du barrage dans le chenal central. Sur le terrain, la recherche du point de plus grande profondeur est menée à l'aide d'un échosondeur.

Au point de plus grande profondeur, on effectue, dans l'ordre :

- a) **une mesure de transparence** au disque de Secchi, avec lecture côté "ombre" du bateau pour une parfaite acuité visuelle. Chacun des deux opérateurs fait la lecture en aveugle (1<sup>ère</sup> lecture non indiquée au 2<sup>e</sup> lecteur).
- b) **un profil vertical** de température (°C), conductivité ( $\mu\text{S}/\text{cm}$  à 25°C), pH (u. pH) et oxygène dissous (% sat. et mg/l). Il est réalisé à l'aide de 2 sondes multiparamètres OTT MS5 qui peuvent effectuer des mesures jusqu'à 200 m de profondeur :
  - les sondes MS1 et MS2 disposant d'une mémoire interne pouvant être programmée pour enregistrer les données à une fréquence de temps définie préalablement (5 secondes).

Les sondes sont équipées d'un capteur de pression permettant d'enregistrer la profondeur de la mesure. Les deux sondes sont descendues en parallèle sur la colonne d'eau pour le recueil du profil vertical.

Un profil vertical du paramètre matières organiques dissoutes *fdom* est également mené lors de toutes les campagnes à l'aide d'une sonde EXO.

- c) **deux prélèvements pour analyses physicochimiques (uniquement micropolluants minéraux et organiques pour l'échantillon intégré) :**
  - **l'échantillon intégré** est en général constitué de prélèvements ponctuels tous les mètres<sup>2</sup> sur la zone euphotique (soit 2,5 fois la transparence) ; ces prélèvements unitaires, de même volume, sont réalisés à l'aide d'une bouteille Kemmerer 1,2 L (téflon) et disposés dans une bonbonne en verre pyrex de 20 litres graduée et équipée d'un robinet verre/téflon pour conditionner les échantillons. Pour les analyses physicochimiques (uniquement micropolluants minéraux et organiques), 13 litres sont nécessaires. Une fois l'échantillon finalisé, le conditionnement est réalisé sur le bateau, en respectant l'ensemble des prescriptions du laboratoire.
  - **l'échantillon ponctuel de fond** est prélevé à environ 1 m du fond, pour éviter la mise en suspension des sédiments. Les prélèvements sont réalisés à l'aide d'une bouteille Nikin X *General Oceanics*

---

<sup>2</sup> Compte tenu de la transparence *Tr.* de certains plans d'eau, exprimable en plusieurs mètres, la règle du *Tr. x 2,5* a parfois conduit à une valeur calculée supérieure à la profondeur du plan d'eau. Dans ces cas, le prélèvement a été arrêté à 1 m du fond, pour éviter le prélèvement d'eau de contact avec le sédiment, qui peut, selon les cas, présenter des caractéristiques spécifiques. Inversement, lorsque la transparence est très faible, amenant à une épaisseur de zone euphotique d'à peine quelques mètres, les prélèvements peuvent être resserrés à un pas moindre que 1 m (par exemple : tous les 50 cm).

téflonnée (5,4 L) et disposés dans une bonbonne en verre pyrex de 20 litres graduée et équipée d'un robinet verre/téflon pour conditionner les échantillons. Pour les analyses physicochimiques, 18 litres sont nécessaires. Une fois l'échantillon finalisé, le conditionnement est réalisé sur le bateau, en respectant l'ensemble des prescriptions du laboratoire.

Pour chaque échantillon, le laboratoire CARSO fournit une glacière avec les flaconnages préalablement étiquetés adaptés aux analyses demandées par l'Agence de l'Eau RM&C.

Les échantillons sont conservés dans une enceinte isolée au contact de blocs réfrigérants et de glace fondante, puis envoyés par transporteur TNT pour un acheminement au laboratoire CARSO dans un délai de 24h, sauf cas particuliers.

**d) un prélèvement intégré destiné à l'analyse du phytoplancton et de la chlorophylle et aux analyses de physico-chimie classique :**

Les prélèvements doivent être obligatoirement intégrateurs de la colonne d'eau correspondant à la zone euphotique. Pour l'échantillonnage, 7 litres sont nécessaires. Ainsi, selon la profondeur de la zone euphotique, plusieurs matériels peuvent être utilisés, l'objectif étant de limiter les aliquotes, et donc les manipulations afin que l'échantillon soit le plus homogène possible :

- ✓ la cloche Pelletier présente un volume de 1,3 l pour un échantillonnage sur 18 m, elle ne peut échantillonner au-delà de 20 m ;
- ✓ le tuyau intégrateur (système décrit dans le protocole de l'IRSTEA) est adaptable pour toute profondeur, le volume échantillonné dépend du diamètre du tuyau. S.T.E. a mis au point 2 tuyaux :
  - l'un de 5 ou 9 m de diamètre élevé (Ø18 mm) pour les zones euphotiques réduites,
  - l'autre de 30 m (Ø14 mm) pour les transparences élevées.

Le choix du matériel respecte l'objectif de ne pas multiplier les prélèvements élémentaires.

Zeuph < 10 m	10 m < Zeuph < 18 m	Zeuph >18 m
Tuyau intégrateur 10 m	Cloche pelletier	Tuyau intégrateur 30 m

La filtration de la chlorophylle est effectuée sur le terrain par le préleveur S.T.E. à l'aide d'un kit de filtration de terrain Nalgène.

Pour l'analyse du phytoplancton, 2 échantillons sont réalisés dans des flacons blancs opaques en PP de 500 et 250 ml dûment étiquetés (nom du lac, date, préleveur, campagne). On y ajoute un volume connu de lugol (3 à 5 ml) pour fixation. Les échantillons sont conservés au réfrigérateur. Un des deux échantillons est ensuite transmis au bureau d'études TERE0 en charge de la détermination et du comptage du phytoplancton. L'autre échantillon est conservé dans les locaux de S.T.E dans le cadre du contrôle qualité.

Pour les analyses de physico-chimie classique, le laboratoire CARSO fournit une glacière avec les flaconnages préalablement étiquetés adaptés aux analyses demandées par l'Agence de l'Eau RM&C.

Les échantillons sont conservés dans une enceinte isolée au contact de blocs réfrigérants et de glace fondante, puis envoyés par transporteur TNT pour un acheminement au laboratoire CARSO dans un délai de 24h, sauf cas particuliers.

**e) un prélèvement de sédiment :**

Ce type de prélèvement n'est réalisé que lors d'une seule campagne, celle de fin d'été (septembre), susceptible de représenter la phase la plus critique pour ce compartiment. Le prélèvement de sédiments est réalisé impérativement **après** les prélèvements d'eau afin d'éviter tout risque de mise en suspension de particules du sédiment lors de son échantillonnage, et donc de contamination du prélèvement d'eau (surtout celui du fond).

Il est réalisé par une série de prélèvements à la benne Ekman. Au vu de sa taille et de la fraction ramenée par ce type de benne (en forme de secteur angulaire), on réalise de 2 à 5 prélèvements pour ramener une surface de l'ordre de 1/10 m<sup>2</sup>. On observe sur chacun de ces échantillons la structure du sédiment dans le double but de :

- description (couleur, odeur, aspect, granulométrie,..) ;
- sélection de la seule tranche superficielle (environ 2-3 premiers cm) destinée à l'analyse.

Pour chaque échantillon, le laboratoire LDA26 fournit une glacière avec le flaconnage adapté aux analyses demandées par l'Agence de l'Eau RM&C.

Les échantillons sont conservés dans une enceinte isolée au contact de blocs réfrigérants et de glace fondante, puis envoyés par transporteur Chronopost pour un acheminement La Drôme Laboratoires (LDA26) dans un délai de 24h, sauf cas particuliers.

## 1.2 PROGRAMME ANALYTIQUE

Concernant les analyses, les paramètres suivants sont mesurés :

- ✓ sur le prélèvement intégré destiné aux analyses de physico-chimie classique et de la chlorophylle :
  - turbidité, MES, COD, DBO<sub>5</sub>, DCO, PO<sub>4</sub><sup>3-</sup>, Ptot, NH<sub>4</sub><sup>+</sup>, NKJ, NO<sub>3</sub><sup>-</sup>, NO<sub>2</sub><sup>-</sup>, silicates ;
  - chlorophylle *a* et indice phéopigments ;
  - dureté, TAC, HCO<sub>3</sub><sup>-</sup>, Ca<sup>++</sup>, Mg<sup>++</sup>, Na<sup>+</sup>, K<sup>+</sup>, Cl<sup>-</sup>, SO<sub>4</sub><sup>-</sup>, F<sup>-</sup> ;
- ✓ sur le prélèvement intégré destiné aux analyses de micropolluants minéraux et organiques :
  - micropolluants minéraux et organiques : liste des substances fournie en annexe 1.
- ✓ sur le prélèvement de fond :
  - turbidité, MES, COD, DBO<sub>5</sub>, DCO, PO<sub>4</sub><sup>3-</sup>, Ptot, NH<sub>4</sub><sup>+</sup>, NKJ, NO<sub>3</sub><sup>-</sup>, NO<sub>2</sub><sup>-</sup>, silicates ;
  - micropolluants minéraux et organiques : liste des substances fournie en annexe 1.

Les paramètres analysés sur les **sédiments** prélevés lors de la 4<sup>ème</sup> campagne sont les suivants :

- ✓ sur la phase solide (fraction < 2 mm) :
  - granulométrie ;
  - matières sèches minérales, perte au feu, matières sèches totales ;
  - carbone organique ;
  - phosphore total ;
  - azote Kjeldahl ;
  - ammonium ;
  - micropolluants minéraux et organiques : liste des substances fournie en annexe 2.
- ✓ Sur l'eau interstitielle :
  - orthophosphates ;
  - phosphore total ;
  - ammonium.

## 2 INVESTIGATIONS HYDROBIOLOGIQUES

Les investigations hydrobiologiques menées en 2018 sur le lac de Monteynard comprennent uniquement :

- ✓ l'étude des peuplements phytoplanctoniques à partir du protocole standardisé d'échantillonnage, de conservation, d'observation et de dénombrement du phytoplancton en plan d'eau pour la mise en œuvre de la DCE (IRSTEA – INRA ; version 3.3 de mars 2009) ;

Les prélèvements ont été effectués par S.T.E. lors des campagnes de prélèvements pour analyses physico-chimiques. La détermination a été réalisée par Sonia Baillet du bureau d'études TERE0, spécialiste en systématique et écologie des algues d'eau douce.

### 2.1 PRELEVEMENT DES ECHANTILLONS

Les prélèvements ont été réalisés selon la méthodologie présentée au point d) du §1.1 « Méthodologie » du chapitre « Rappel méthodologique ».

### 2.2 DETERMINATION DES TAXONS

La détermination est faite au microscope inversé, à l'espèce dans la mesure du possible.

A noter : la systématique du phytoplancton est en perpétuelle évolution, les références bibliographiques se confortent ou se complètent, mais s'opposent quelques fois. Il est donc important de rappeler qu'il vaut mieux une bonne détermination à un niveau taxonomique moindre qu'une mauvaise à un niveau supérieure (Laplace-Treytoure et al., 2009).

L'analyse quantitative implique l'identification et le dénombrement des taxons observés dans une surface connue de la chambre de comptage. Selon la concentration en algues décroissante, le comptage peut être réalisé de trois manières différentes (Figure 4).

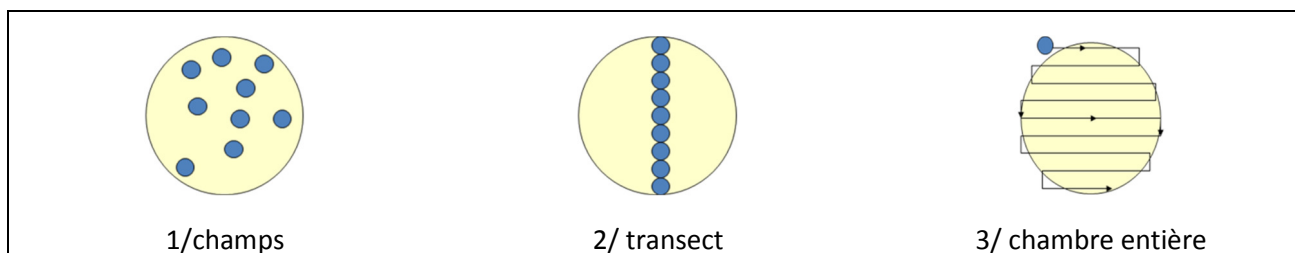


Figure 4 : Représentation schématique des différentes stratégies de comptage

Le comptage est réalisé en balayant des champs strictement aléatoires, ou des transects, ou la chambre entière jusqu'à atteindre 400 individus algaux. La stratégie de comptage utilisée est fonction de la concentration des algues.

Différentes règles de comptage sont appliquées, en respect des échanges inter-opérateur issus des réunions d'harmonisation phytoplancton INRA 2015-2016. Il est entendu que :

- ✓ Tout filament, colonie, ou cœnobe, compte pour un individu algal à X cellules. Le nombre de cellules présentes dans le champ et par individu est dénombré (cellules/individu algaux).
- ✓ Seules les cellules contenant un plaste (exceptés pour les cyanobactéries et chrysophycées à logettes) sont comptées. Les cellules vides des colonies, des cœnobes, des filaments ou des diatomées ne sont pas dénombrées.
- ✓ Les logettes des chrysophycées (ex : *Dinobryon*, *Kephyrion*,...) sont dénombrées même si elles sont vides, les cellules de flagellés isolés ne sont pas dénombrés.

- ✓ Pour les diatomées, en cas de difficulté d'identification et de fortes abondances (supérieur à 20% de l'abondance totale), une préparation entre lame et lamelle selon le mode préparatoire décrit par la norme NF T 90-354 (AFNOR, 2007) est effectuée.

## 2.3 TRAITEMENT DES DONNEES

Les résultats sont exprimés en nombre de cellules par millilitre. Ils sont également exprimés en biovolume ( $\text{mm}^3/\text{l}$ ), ce qui reflète l'occupation des différentes espèces. En effet, les espèces de petite taille n'occupent pas un même volume que les espèces de grandes tailles. Les biovolumes sont obtenus de trois manières :

1. Grâce aux données proposées par le logiciel Phytobs (version 2.3), d'aide au dénombrement,
2. si les données sont absentes, les mesures sur 30 individus lors de l'observation au microscope sont employées pour calculer un biovolume robuste,
3. si l'ensemble des dimensions utiles au calcul n'est pas observé, les données complémentaires issues de la bibliographie sont employées.

Le comptage terminé, la liste bancarisée dans l'outil de comptage PHYTOBS est exporté au format .xls ou .csv. Cet outil permet de présenter des résultats complets.

Le calcul de l'indice Phytoplancton lacustre ou IPLAC est réalisé à l'aide du Système d'Evaluation de l'Etat des Eaux (SEEE). Il s'appuie sur 2 métriques :

- ✓ La Métrique de biomasse algale ou MBA est basée sur la concentration moyenne de la chlorophylle a sur la période de végétation.
- ✓ La Métrique de Composition Spécifique ou MCS exprime une note en fonction de la présence (exprimée en biovolume) de taxons indicateurs, figurant dans une liste de référence de 165 taxons (SEEE 1.0.2). A chaque taxon correspond une cote spécifique et une note de sténoécie, représentant l'amplitude écologique du taxon. La note finale est obtenue en mesurant l'écart avec la valeur prédite en condition de référence.

La note IPLAC résulte de l'agrégation par somme pondérée de ces deux métriques:

Valeurs de limite	Classe
[1 - 0.8]	Très bon
]0.8 - 0.6]	Bon
]0.6 - 0.4]	Moyen
]0.4 - 0.2]	Médiocre
]0.2 - 0]	Mauvais

Figure 5 : Seuils des classes d'état définis pour chaque métrique et pour l'IPLAC

L'interprétation des caractéristiques écologiques du peuplement permet d'établir si une dégradation de la note indiciaire peut être expliquée par la présence de taxons polluo-tolérants ou favorisés par une abondance de nutriments liée à l'eutrophisation du milieu ou être lié au fonctionnement du milieu (stratification, anoxie,...).

L'utilisation de la bibliographie et des groupes morpho-fonctionnels permet d'affiner notre analyse et d'évaluer la robustesse de la note IPLAC obtenue.



**- CHAPITRE 4 : RESULTATS DES**  
**INVESTIGATIONS -**

## 1 INVESTIGATIONS PHYSICOCHIMIQUES

Les comptes rendus des campagnes de prélèvements physicochimiques et phytoplanctoniques sont présentés en annexe 3.

### 1.1 ANALYSES DES EAUX

#### 1.1.1 PROFILS VERTICAUX ET EVOLUTIONS SAISONNIERES

Le suivi prévoit la réalisation de profils verticaux sur la colonne d'eau à chaque campagne. Quatre paramètres sont mesurés : la température, la conductivité, l'oxygène (en concentration et en % saturation) et le pH. Les graphiques regroupant ces résultats pour chaque paramètre lors des 4 campagnes sont affichés dans ce chapitre.

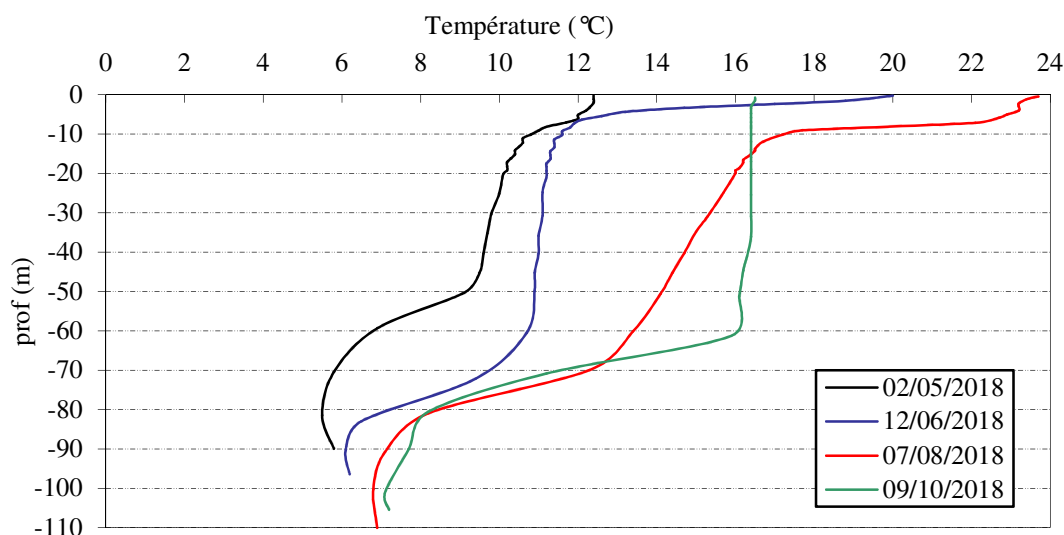
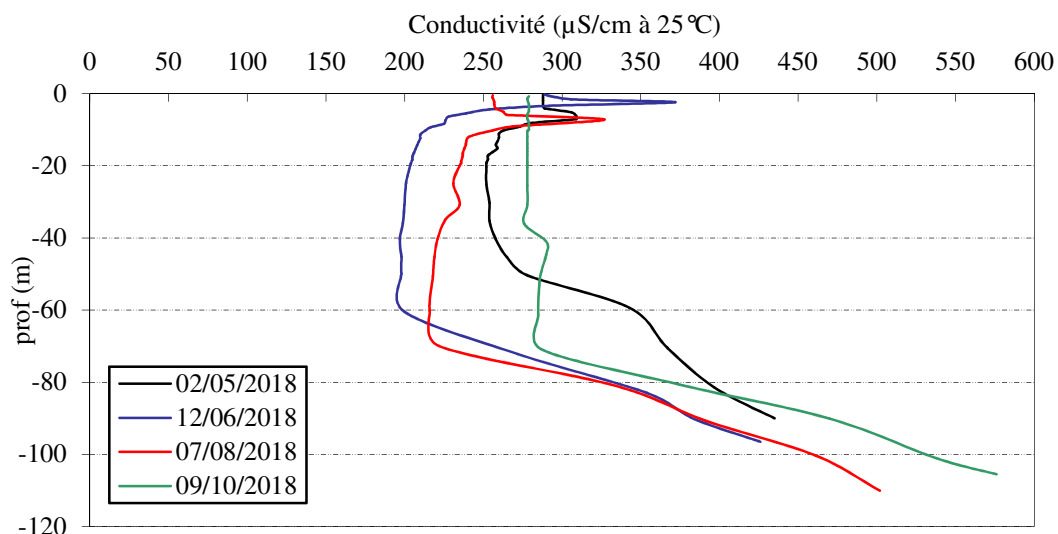


Figure 6 : Profils verticaux de température au point de plus grande profondeur

La 1<sup>ère</sup> campagne étant tardive (2 mai), on constate un réchauffement de la couche de surface (12°C) qui s'amplifie sur les campagnes 2 (20°C) et 3 (23°C) en août. La stratification s'installe progressivement avec une thermocline établie entre 5 et 10 m. L'amplitude thermique est d'environ 8°C entre la couche de surface et la couche 10-60 m. Cette couche intermédiaire est bien distincte et très homogène (11°C en C2 et 14/16°C en C3). Un 2<sup>ème</sup> saut thermique est mesuré entre 60 et 80m (50 m à la 1<sup>ère</sup> campagne). Le culot de la retenue (80-110 m) reste froid toute l'année : 6 à 8°C. On distingue trois masses d'eau dans la retenue du Monteynard :

- ✓ Epilimnion : couche de 0 à 8 m
- ✓ Couche intermédiaire entre 10 et 70 m
- ✓ Culot entre 80 et 110 m.

En fin d'été, le brassage des eaux engendre une homogénéisation thermique (16,3°C) de la couche 0-60 m. Le saut thermique se maintient entre 60 et 80 m, pour une température du culot comprise entre 8,2 et 7,2°C.



**Figure 7 : Profils verticaux de conductivité au point de plus grande profondeur**

Deux couches bien distinctes sont mises en évidence par le profil de conductivité :

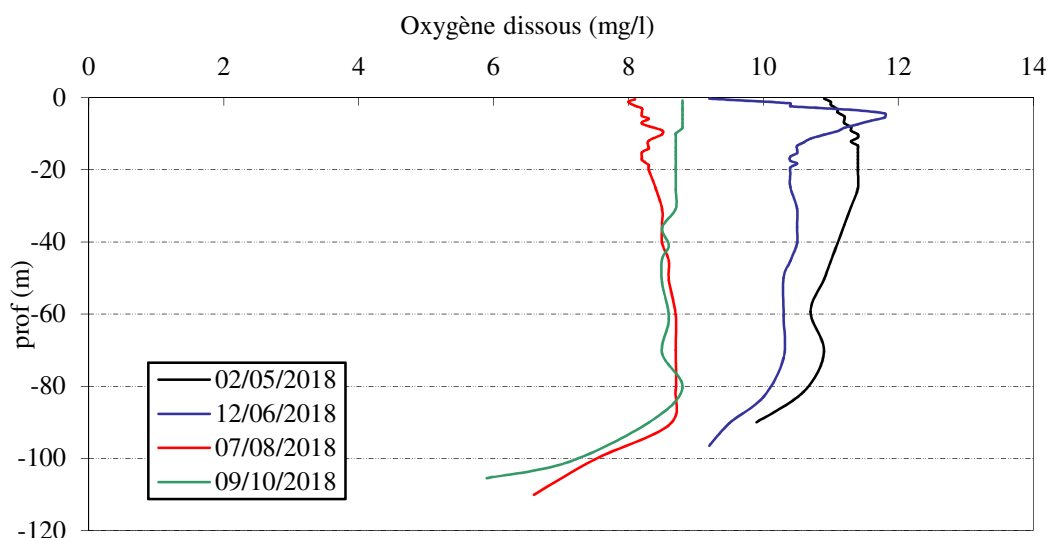
- ✓ une couche entre 0 et 60 m où la conductivité est modérée, comprise entre 200 et 300  $\mu\text{S}/\text{cm}$  à 25°C, correspondant à des eaux qui s'écoulent sur substrats essentiellement calcaires ;
- ✓ dans les couches profondes (80 à 110 m), la conductivité augmente de manière sensible lors des 4 campagnes pour atteindre des valeurs de 426  $\mu\text{S}/\text{cm}$  (en C2), 500  $\mu\text{S}/\text{cm}$  (en C3) et 576  $\mu\text{S}/\text{cm}$  à 25°C (en C4), correspondant à une très forte minéralisation.

On peut expliquer ces deux couches d'eau distinctes aux caractéristiques différentes (température, conductivité, oxygène) par la présence de 4 prises d'eau entre -60 et -65 m. Ainsi, la strate d'eau en dessous de 65 m serait "isolée" du reste de la masse d'eau. Il est possible que le flux des eaux entrantes s'établisse au-dessus de cette couche, engendrant un faible renouvellement des eaux sous-jacentes. Dans le même temps, les eaux sortantes seront issues de la strate (-55, -65 m). Ces observations avaient déjà été faites lors des suivis 2015 et 2009.

Ce "culot" hydraulique formé va recueillir la matière organique autochtone (algues et autres organismes vivants) et allochtone (végétaux, litière), générant un important processus de minéralisation.

Lors de la 2<sup>nde</sup> campagne de prélèvement, un pic de conductivité (374  $\mu\text{S}/\text{cm}$ ) est mesuré à 2,5 m, il s'agit probablement d'une couche d'eaux plus minéralisées issues d'un affluent à proximité en rive droite.

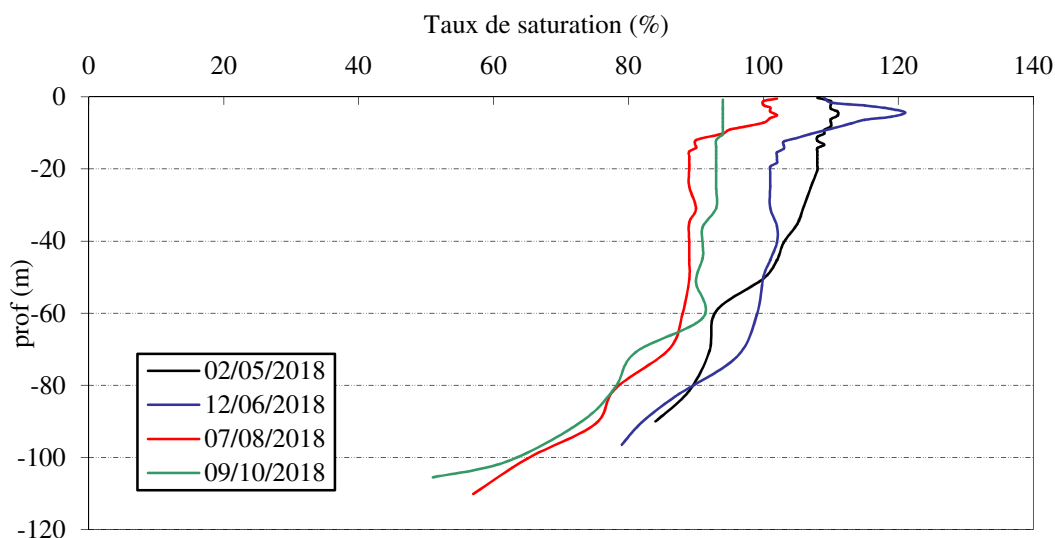
Lors de la campagne estivale, un pic de conductivité (327  $\mu\text{S}/\text{cm}$ ) est mesuré à 7,2 m, sous la zone tropholytique où se développe le phytoplancton.



**Figure 8 : Profils verticaux d'oxygène (mg/l) au point de plus grande profondeur**

L'oxygénation est optimale sur la colonne d'eau jusqu'à -70 m. Le culot est légèrement désoxygéné en lien avec la minéralisation de la matière organique accumulée : 84% en C1, 79% en C2, 57% en C3 et 51 % de saturation en C4.

Dans la zone euphotique, on note une sursaturation en oxygène (120%) sur la campagne 2 liée à l'activité biologique



**Figure 9 : Profils verticaux d'oxygène (% sat.) au point de plus grande profondeur**

Le pH est légèrement basique, il est compris entre 7,1 et 8,6 sur la retenue de Monteynard. Sur toutes les campagnes, les eaux de surface présentent un pH légèrement basique. Il est élevé en plein été (8,5 u pH) en lien avec le développement phytoplanctonique (eaux verdâtres). Il est plus faible dans les couches profondes du lac avec des valeurs voisines de 7,5 lors des campagnes de juin et d'août.

Le pH est homogène à 8,3 en début d'automne dans les eaux brassées entre 0 et 50 m. Il diminue progressivement en profondeur pour atteindre 7,7 au fond

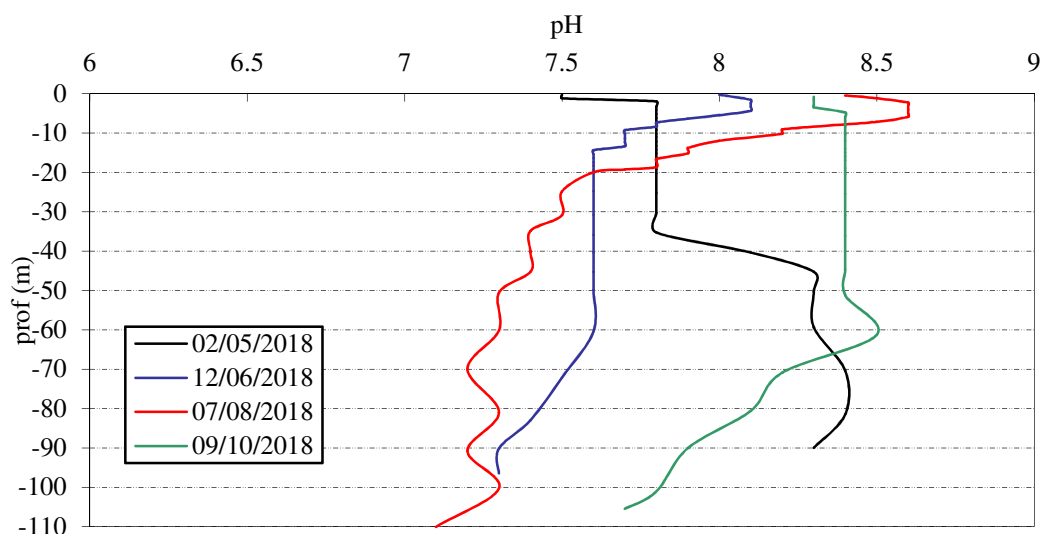


Figure 10 : Profils verticaux de pH au point de plus grande profondeur

### 1.1.2 PROFILS VERTICAUX MATIERES ORGANIQUES DISSOUTES

Les matières organiques dissoutes sont étudiées à l'aide d'une sonde EXO équipée d'un capteur fdom qui mesure les matières organiques dissoutes en ppb QSU sulfate de quinine. Les profils pour les 4 campagnes sont présentés sur la Figure 11.

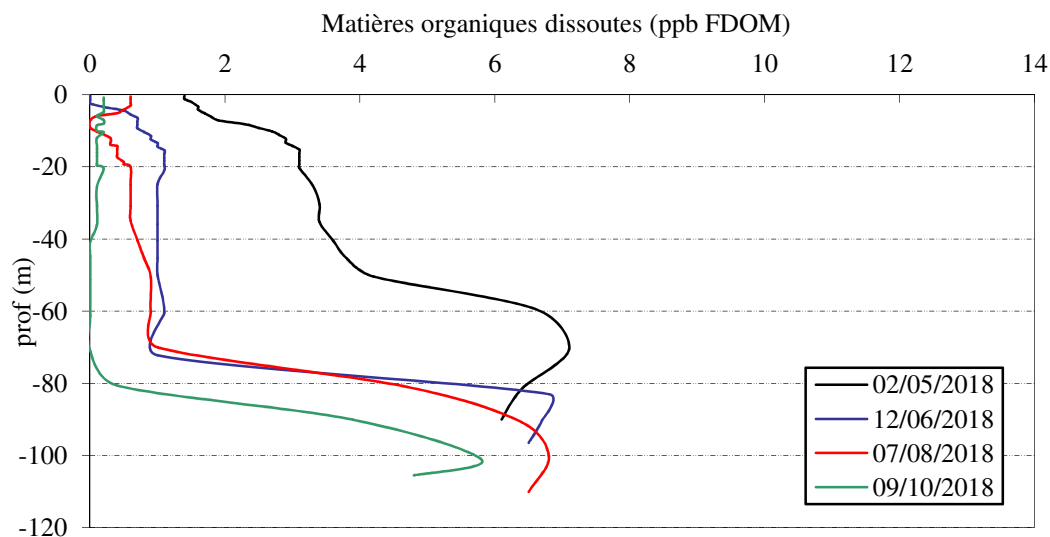


Figure 11 : profils verticaux des matières organiques dissoutes

La teneur en matières organiques dissoutes est faible dans la couche 0- 60 m ( $\leq 1$  ppb QSU). Elle augmente légèrement dans le « culot » sous 80 m : 5 à 7 ppb avec la sédimentation des matières organiques produites dans la masse d'eau.

En fin d'hiver, la concentration en MOD est un peu plus élevée en surface (2 à 3 ppb), elle augmente progressivement sur la colonne d'eau pour atteindre 6 à 7 ppb au fond.

Ce constat semble confirmer l'hypothèse émise sur le "culot" hydraulique riche en matière organique autochtone et allochtone, générant un important processus de minéralisation.

### 1.1.3 PARAMETRES DE CONSTITUTION ET TYPOLOGIE DU LAC

N.B. pour tous les tableaux suivants : LQ = limite de quantification.

Les résultats des paramètres de minéralisation des quatre campagnes sont présentés dans le Tableau 4.

**Tableau 4 : Résultats des paramètres de minéralisation**

Retenue de MONTEYNARD-AVIGNONET		Unité	Code sandre	LQ	02/05/2018		12/06/2018		07/08/2018		09/10/2018	
Code plan d'eau: W2--3003-1					intégré	fond	intégré	fond	intégré	fond	intégré	fond
Minéralisation	Bicarbonates	mg(HCO <sub>3</sub> )/L	1327	6.1	146	175	125	174	114	174	115	169
	Calcium	mg(Ca)/L	1374	0.1	50.2	65.3	45.7	54.3	40.9	66.4	39.8	63.6
	Chlorures	mg(Cl)/L	1337	0.1	3.7	19.2	3.1	19.4	2.5	25.6	2.8	29.2
	Dureté	°F	1345	0.5	15.2	19.9	14.3	16.5	12.6	20.1	12.3	19.5
	Magnésium	mg(Mg)/L	1372	0.05	6.4	8.58	6.94	7.03	5.85	8.54	5.8	8.8
	Potassium	mg(K)/L	1367	0.1	0.7	1	0.6	0.8	0.6	1.1	0.6	1
	Sodium	mg(Na)/L	1375	0.2	3.3	13.5	3	11.2	2.6	16.9	3	19.6
	Sulfates	mg(SO <sub>4</sub> )/L	1338	0.2	33	55	37.6	53	31.3	60	36.8	64
TAC	°F	1347	0	12	14.35	10.45	14.25	9.55	14.25	9.45	13.9	

Les résultats indiquent une eau moyennement carbonatée, de dureté moyenne (12 à 15°F) pour les eaux de surface. Au fond, les eaux sont nettement plus minéralisées (chlorures, sodium et sulfates) et plus dures (19-20°F). La retenue de Monteynard repose essentiellement sur des calcaires et marnes jurassiques sur lesquels se sont déposés des alluvions fluviatiles et lacustres, ce qui explique la bonne minéralisation des eaux. A noter la présence non négligeable de sulfates (≈ 35 mg/l en surface et ≈ 60 mg/l au fond).

### 1.1.4 ANALYSES PHYSICOCHIMIQUES DES EAUX (HORS MICROPOLLUANTS)

**Tableau 5 : Résultats des paramètres de physico-chimie classique sur eau**

Retenue de MONTEYNARD-AVIGNONET		Unité	Code sandre	LQ	02/05/2018		12/06/2018		07/08/2018		09/10/2018	
Code plan d'eau: W2--3003-1					intégré	fond	intégré	fond	intégré	fond	intégré	fond
PC eau	Ammonium	mg(NH <sub>4</sub> )/L	1335	0.01	0.02	0.02	<0.01	<0.01	<0.01	<0.01	<0.01	<0.01
	Azote Kjeldahl	mg(N)/L	1319	0.5	<0.5	<0.5	<0.5	<0.5	<0.5	<0.5	<0.5	<0.5
	Carbone organique	mg(C)/L	1841	0.2	0.7	0.8	0.6	0.9	0.6	0.9	0.5	0.9
	DBO <sub>5</sub>	mg(O <sub>2</sub> )/L	1313	0.5	0.5	<0.5	0.8	0.6	0.7	0.5	1.5	0.9
	DCO	mg(O <sub>2</sub> )/L	1314	20	<20	<20	<20	<20	<20	<20	<20	<20
	MeS	mg/L	1305	1	1.5	5.7	1.1	2.6	2.2	2.4	<1	1.3
	Nitrates	mg(NO <sub>3</sub> )/L	1340	0.5	2.6	3.1	2.2	3.6	1.4	3.3	1.7	3.4
	Nitrites	mg(NO <sub>2</sub> )/L	1339	0.01	0.01	0.08	0.01	<0.01	0.01	<0.01	<0.01	<0.01
	Phosphates	mg(PO <sub>4</sub> )/L	1433	0.01	0.02	0.03	<0.01	0.02	<0.01	0.03	0.01	<0.01
	Phosphore total	mg(P)/L	1350	0.005	<0.005	0.01	0.01	<0.005	<0.005	<0.005	<0.005	<0.005
	Silicates	mg(SiO <sub>2</sub> )/L	1342	0.05	4.6	5.4	4.2	5.3	2	5.6	3.7	5.8
Turbidité	NFU	1295	0.1	1.9	9.7	3.2	4.4	2.5	3.2	1.5	2.6	
indice chlorophylliens	Chlorophylle a	µg/L	1439	1	1		2		1		<1	
	indice phéopigment	µg/L	1436	1	<1		<1		<1		1	

Les analyses des fractions dissoutes ont été réalisées sur eau filtrée (COD, NH<sub>4</sub>, NO<sub>3</sub>, NO<sub>2</sub>, PO<sub>4</sub>, Si).

Les résultats des paramètres phosphates et phosphore total ne sont pas très cohérents pour les échantillons c1 intégré, C2 fond et C3 fond. Les résultats ont été contrôlés par le laboratoire, et validés en l'état compte tenu de l'incertitude de mesures.

Les charges organiques sont faibles dans les eaux du Monteynard : les concentrations en carbone organique dissous sont comprises entre 0,5 à 0,9 mg/l. La DBO<sub>5</sub> reste faible dans le plan d'eau : 0,5 à 0,9 mg/l, elle est plus élevée dans l'échantillon intégré du 9 octobre (1,5 mg/l). La DCO ainsi que l'azote Kjeldahl sont sous le seuil de quantification.

Les matières en suspension sont peu présentes (<3 mg/l). La turbidité reste faible. L'échantillon de fond en C1 est plus riche en MES (5,7 mg/l). Il est probable que le prélèvement ait entraîné un léger brassage du sédiment.

En fin d'hiver, les concentrations en nutriments disponibles sont assez élevées pour l'azote (2,6 mg/l de nitrates) et faibles pour les orthophosphates ( $[PO_4^{3-}] = 0.02$  mg/l) dans l'échantillon intégré. Le rapport N/P<sup>3</sup> est donc élevé (93) lors de la campagne de fin d'hiver. Le phosphore est donc le facteur limitant pour la production végétale par rapport à l'azote.

On observe une diminution des concentrations en nitrates au cours de l'année dans la zone euphotique (2,6 mg/l en C1, 2,2 mg/l en C2, 1,4 mg/l en C3 et 1,7 mg/l en C4). Dans les couches superficielles, les nitrates sont vraisemblablement consommés par le phytoplancton. Dans le fond, la teneur en nitrates est assez élevée (3,1 à 3,6 mg/l) et reste stable sur l'année.

Le phosphore dissous n'est pas disponible dans la zone euphotique du plan d'eau lors des campagnes de juin à octobre. En revanche, il est libéré dans le fond du lac avec des concentrations en phosphates de 10 à 30 µg/l.

La concentration en silicates est moyenne en zone euphotique : 4,6 mg/l en fin d'hiver et un minimum de 2 mg/l en été où le développement des diatomées est maximal. En profondeur, la concentration en silice est plus élevée (5,3 à 5,8 mg/l) et augmente durant la saison avec la sédimentation de la matière algale et des frustules de diatomées riche en silice.

La production chlorophyllienne est faible dans le lac de Monteynard au vu de la teneur en chlorophylle a ( $\leq 2,0$  µg/l).

### 1.1.5 MICROPOLLUANTS MINÉRAUX

**Tableau 6 : Résultats d'analyses de métaux sur eau**

Retenue de MONTEYNARD-AVIGNONET		Unité	Code sandre	LQ	02/05/2018		12/06/2018		07/08/2018		09/10/2018	
Code plan d'eau: W2--3003-1					intégré	fond	intégré	fond	intégré	fond	intégré	fond
Métaux	Aluminium	µg(Al)/L	1370	2	9.3	2.9	6.4	2.6	8.3	2.3	5.8	2.1
	Antimoine	µg(Sb)/L	1376	0.5	<0.5	<0.5	<0.5	<0.5	<0.5	<0.5	<0.5	<0.5
	Argent	µg(Ag)/L	1368	0.01	<0.01	<0.01	<0.01	<0.01	<0.01	<0.01	<0.01	<0.01
	Arsenic	µg(As)/L	1369	0.05	1.23	0.94	1.15	0.96	1.36	1.06	1.29	1.07
	Baryum	µg(Ba)/L	1396	0.5	28.5	35.2	23.2	35	23.6	36.3	27.4	36.3
	Beryllium	µg(Be)/L	1377	0.01	<0.01	<0.01	<0.01	<0.01	<0.01	<0.01	<0.01	<0.01
	Bore	µg(B)/L	1362	10	<10	13	<10	10	<10	12	<10	12
	Cadmium	µg(Cd)/L	1388	0.01	<0.01	<0.01	<0.01	<0.01	<0.01	<0.01	<0.01	<0.01
	Chrome	µg(Cr)/L	1389	0.5	<0.5	<0.5	<0.5	<0.5	<0.5	<0.5	<0.5	<0.5
	Cobalt	µg(Co)/L	1379	0.05	0.13	0.2	<0.05	<0.05	<0.05	<0.05	<0.05	<0.05
	Cuivre	µg(Cu)/L	1392	0.1	0.37	0.42	0.2	0.29	0.22	0.38	0.2	0.35
	Etain	µg(Sn)/L	1380	0.5	<0.5	<0.5	<0.5	<0.5	<0.5	<0.5	<0.5	<0.5
	Fer	µg(Fe)/L	1393	1	1.3	2	1.3	<1	3.2	<1	2	1.7
	Lithium	µg(Li)/L	1364	0.5	3.2	7.5	2.5	5.6	3.4	8.8	3.1	8.9
	Manganèse	µg(Mn)/L	1394	0.5	4.5	26.6	0.8	<0.5	<0.5	1.9	<0.5	0.9
	Mercure	µg(Hg)/L	1387	0.01	<0.01	<0.01	<0.01	<0.01	<0.01	<0.01	<0.01	<0.01
	Molybdène	µg(Mo)/L	1395	1	<1	<1	<1	<1	<1	<1	<1	<1
	Nickel	µg(Ni)/L	1386	0.5	<0.5	0.6	<0.5	<0.5	<0.5	0.6	<0.5	0.6
	Plomb	µg(Pb)/L	1382	0.05	<0.05	<0.05	<0.05	<0.05	<0.05	<0.05	<0.05	<0.05
	Sélénium	µg(Se)/L	1385	0.1	<0.1	0.43	0.13	0.15	0.1	0.19	0.16	0.17
Tellure	µg(Te)/L	2559	0.5	<0.5	<0.5	<0.5	<0.5	<0.5	<0.5	<0.5	<0.5	
Thallium	µg(Tl)/L	2555	0.01	<0.01	<0.01	<0.01	<0.01	<0.01	<0.01	<0.01	<0.01	
Titane	µg(Ti)/L	1373	0.5	<0.5	<0.5	1.5	0.7	<0.5	0.7	<0.5	<0.5	
Uranium	µg(U)/L	1361	0.05	0.92	1.08	0.87	1.07	1	1.09	1.42	1.07	
Vanadium	µg(V)/L	1384	0.1	<0.1	0.1	<0.1	<0.1	0.14	<0.1	0.12	<0.1	
Zinc	µg(Zn)/L	1383	1	3.94	1.73	<1	<1	<1	<1	<1	<1	

Les analyses sur les métaux ont été effectuées sur eau filtrée.

Plusieurs micropolluants minéraux sont présents dans l'eau en quantité importante :

- ✓ l'aluminium est quantifié à toutes les campagnes entre 2 et 10 µg/l ;
- ✓ le baryum est quantifié à toutes les campagnes entre 23 et 36 µg/l ;

<sup>3</sup> le rapport N/P est calculé à partir de  $[N_{\text{minéral}}] / [P-PO_4^{3-}]$  avec  $N_{\text{minéral}} = [N-NO_3^-] + [N-NO_2^-] + [N-NH_4^+]$  sur la campagne de fin d'hiver.

- ✓ le lithium est quantifié à toutes les campagnes à environ 3 µg/l en zone euphotique et 5 à 9 µg/l dans le fond ;
- ✓ le sélénium est mesuré dans les eaux entre 0,1 et 0,2 µg/l ;
- ✓ l'uranium est présent dans les eaux entre 0,9 et 1,4 µg/l.

L'échantillon C1 fond est globalement riche en minéraux notamment en manganèse et Sélénium.

On doit noter que presque tous les éléments dosés présentent en général des teneurs dans le fond significativement supérieures à celles observées dans le prélèvement intégré.

Parmi les métaux lourds, on note la présence :

- ✓ d'Arsenic dans les 8 échantillons : 1 à 1,4 µg/l en zone euphotique et 0,94 à 1,07 µg/l au fond (valeurs supérieures à la norme de qualité environnementale définie pour ce paramètre) ;
- ✓ de cuivre dans les 8 échantillons, à des concentrations faibles (0,2 à 0,4 µg/l) ;
- ✓ de zinc lors de la 1<sup>ère</sup> campagne (3,94 et 1,73 µg/l) uniquement.

Ces résultats montrent une contamination en Arsenic, à relier vraisemblablement au fond géochimique : les substrats du massif des écrins sont naturellement riches en Arsenic.

### 1.1.6 MICROPOLLUANTS ORGANIQUES

Le Tableau 7 indique les micropolluants organiques qui ont été quantifiés lors des campagnes de prélèvements. La liste de l'ensemble des substances analysées est fournie en annexe 1.

**Tableau 7 : Résultats d'analyses de micropolluants organiques présents sur eau**

Retenue de MONTEYNARD-AVIGNONET		Unité	Code sandre	LQ	02/05/2018		12/06/2018		07/08/2018		09/10/2018	
Code plan d'eau: W2-3003-1					intégré	fond	intégré	fond	intégré	fond	intégré	fond
Semi-volatils divers	<b>Bisphénol-A</b>	µg/L	2766	0.02	0.097	0.033	0.629	0.023	<LQ	<LQ	<LQ	<LQ
Semi-volatils divers	<b>DEHP</b>	µg/L	6616	0.4	0.43	<LQ	<LQ	<LQ	0.52	<LQ	<LQ	<LQ
Semi-volatils divers	<b>Formaldéhyde</b>	µg/L	1702	1	<LQ	<LQ	<LQ	<LQ	<LQ	<LQ	<LQ	1
plastifiants	<b>n-Butyl Phthalate</b>	µg/L	1462	0.05	<LQ	<LQ	0.06	<LQ	<LQ	<LQ	<LQ	<LQ
pharmaceutique	<b>EDTA</b>	µg/L	1493	5	<LQ	<LQ	<LQ	<LQ	<LQ	<LQ	10	<LQ
Médicament	<b>Gabapentine</b>	µg/L	7602	0.01	0.01	0.014	0.018	0.01	0.011	<LQ	<LQ	<LQ
Médicament	<b>Metformine</b>	µg/L	6735	0.005	0.069	0.086	0.117	0.101	0.087	0.096	0.049	0.056
stimulants	<b>Caféine</b>	µg/L	6519	0.01	0.026	0.038	<LQ	0.011	0.013	<LQ	<LQ	<LQ
stimulants	<b>Nicotine</b>	µg/L	5657	0.02	<LQ	0.03	<LQ	<LQ	<LQ	<LQ	<LQ	<LQ

Parmi les micropolluants organiques analysés, 9 composés ont été mesurés dans les eaux de la retenue de Monteynard.

Des composés volatils, indicateurs plastiques, sont présents dans les eaux :

- ✓ le Bisphenol-A en C1 et C2 avec 0.022 à 0,629 µg/l mesurés ;
- ✓ le DEHP dans les échantillons en C3 (intégré : 0,52 µg/l),
- ✓ le n-Butylphthalate présent dans l'échantillon intégré en C2

Le formaldéhyde a été repéré sur l'échantillon de fond de la campagne 4. Cette molécule peut être produite naturellement lors du processus de dégradation de la matière organique en conditions de désoxygénation.

Le Metformine est mesuré dans tous les échantillons entre 0.04 et 0,11 µg/l. Il s'agit d'une substance médicamenteuse, analysée dans les eaux depuis 2018. C'est un antidiabétique oral appartenant à la famille des biguanides. Il a été retrouvé dans de nombreux plans d'eau des bassins RMC.

Le Gabapentine (antiépileptique) est quantifié entre 0,01 et 0,018 µg/l dans les échantillons C1, C2 (intégré et fond) et C3 intégré. Il s'agit d'un produit chimique dérivé de l'acide γ-aminobutyrique, médicament commercialisé sous le nom de Neurontin.

Aucun pesticide n'a été mis en évidence.

Enfin, des stimulants ont été quantifiés dans les eaux du lac de Monteynard :

- ✓ la nicotine dans les échantillons C1 fond uniquement (0.03 µg/l) ;
- ✓ la caféine dans les échantillons C1 (0.026 et 0.038 µg/l), C2 fond et C3 intégré (0,011 et 0,013 µg/l).



## 1.2 ANALYSES DES SEDIMENTS

### 1.2.1 ANALYSES PHYSICOCHIMIQUES DES SEDIMENTS (HORS MICROPOLLUANTS)

Le Tableau 8 fournit la synthèse de l'analyse granulométrique menée sur les sédiments prélevés.

**Tableau 8 : Synthèse granulométrique sur le sédiment du point de plus grande profondeur**

<b>Composition granulométrique du sédiment</b>			
<b>Retenue de Monteynard-Avignonet</b>	Unité	Code sandre	09/10/2018 14:00
<b>Code plan d'eau: W2--3003</b>			
fraction < 20 µm	% MS	6228	74,1
fraction de 20 à 63 µm	% MS	3054	18,2
fraction de 63 à 150 µm	% MS	7042	6,4
fraction de 150 à 200 µm	% MS	7043	1,1
fraction > 200 µm	% MS	7044	0,3

Il s'agit de sédiments très fins, de nature limoneuse de 0 à 63 µm à 92,3 % (exempts de débris grossiers).

Les analyses de physico-chimie classique menées sur la fraction solide et sur l'eau interstitielle du sédiment sont rapportées au Tableau 9.

**Tableau 9 : Analyse de sédiments**

<b>Physico-chimie du sédiment</b>				
<b>Retenue de Monteynard-Avignonet</b>	Unité	Code sandre	LQ	09/10/2018 14:00
<b>Code plan d'eau: W2--3003</b>				
Matière sèche à 105°C	%	1307		65.8
Matière Sèche Minérale (M.S.M)	% MS	5539		94.2
Perte au feu à 550°C	% MS	6578		5.8
Carbone organique	mg(C)/kg MS	1841	1000	17200
Azote Kjeldahl	mg(N)/kg MS	1319	1000	1920
Phosphore total	mg(P)/kg MS	1350	2	721
<b>Physico-chimie du sédiment : Eau interstitielle</b>				
Ammonium	mg(NH4)/L	1335	0.5	2.29
Phosphates	mg(PO4)/L	1433	0.015	0.048
Phosphore total	mg(P)/L	1350	0.01	0.17

Dans les sédiments, la teneur en matière organique est réduite avec 5,8 %. La concentration en azote organique est également faible (1,9 g/kg). Le rapport C/N est proche de 9, ce qui indique que le sédiment est constitué de matière algale récemment déposée. La concentration en phosphore est supérieure à 0,7 g/kg MS, ce qui correspond à un stockage moyen de phosphore dans les sédiments. Les résultats sont similaires aux analyses des suivis précédents.

L'eau interstitielle contient les minéraux facilement mobilisables dans les sédiments. Sur Monteynard, l'ammonium et le phosphore total sont en quantité faible. Les eaux du fond du lac sont légèrement désoxygénées mais aucun signe de relargage n'est mesuré.

### 1.2.2 MICROPOLLUANTS MINÉRAUX

Ils ont été dosés sur la fraction solide du sédiment.

**Tableau 10 : Résultats d'analyses de micropolluants minéraux sur sédiment**

<b>Sédiment : micropolluants minéraux</b>				
<b>Retenue de Monteynard-Avignonet</b>	Unité	Code sandre	LQ	09/10/2018 14:00
<b>Code plan d'eau: W2--3003</b>				
Aluminium	mg(Al)/kg MS	1370	5	77300
Antimoine	mg(Sb)/kg MS	1376	0.2	2.4
Argent	mg(Ag)/kg MS	1368	0.1	0.1
Arsenic	mg(As)/kg MS	1369	0.2	20.9
Baryum	mg(Ba)/kg MS	1396	0.4	396
Beryllium	mg(Be)/kg MS	1377	0.2	2.5
Bore	mg(B)/kg MS	1362	1	120
Cadmium	mg(Cd)/kg MS	1388	0.2	0.2
Chrome	mg(Cr)/kg MS	1389	0.2	99.3
Cobalt	mg(Co)/kg MS	1379	0.2	17.6
Cuivre	mg(Cu)/kg MS	1392	0.2	30.7
Etain	mg(Sn)/kg MS	1380	0.2	4
Fer	mg(Fe)/kg MS	1393	5	35100
Lithium	mg(Li)/kg MS	1364	1	86.9
Manganèse	mg(Mn)/kg MS	1394	0.4	1350
Mercure	mg(Hg)/kg MS	1387	0.01	0.1
Molybdène	mg(Mo)/kg MS	1395	0.2	0.9
Nickel	mg(Ni)/kg MS	1386	0.2	57.1
Plomb	mg(Pb)/kg MS	1382	0.2	25.6
Sélénium	mg(Se)/kg MS	1385	0.2	1.2
Tellure	mg(Te)/kg MS	2559	0.2	< LQ
Thallium	mg(Th)/kg MS	2555	0.2	0.8
Titane	mg(Ti)/kg MS	1373	1	2910
Uranium	mg(U)/kg MS	1361	0.2	1.9
Vanadium	mg(V)/kg MS	1384	0.2	137
Zinc	mg(Zn)/kg MS	1383	0.4	119

Les éléments Aluminium, Fer et Manganèse sont à des teneurs assez élevées. Ces éléments sont présents dans les fonds géochimiques de la retenue de Monteynard. On note également des valeurs élevées pour les métaux de constitution : Baryum et Titane.

Parmi les métaux lourds, les éléments Arsenic, Chrome et Nickel sont à des concentrations assez élevées. La concentration en Nickel est même supérieure au seuil S1<sup>4</sup> de contamination des sédiments de curage.

On trouve également du Vanadium en quantité relativement élevée, supérieure aux valeurs moyennes.

<sup>4</sup> Seuil S1 seuils édictés par l'Arrêté du 9 août 2006.

### 1.2.3 MICROPOLLUANTS ORGANIQUES

Le Tableau 11 indique les micropolluants organiques qui ont été quantifiés dans les sédiments lors de la campagne de prélèvements. La liste de l'ensemble des substances analysées est fournie en annexe 2.

**Tableau 11 : Résultats d'analyses de micropolluants organiques présents sur sédiment**

<b>Sédiment : micropolluants organiques mis en évidence</b>				
<b>Retenue de Monteynard-Avignonet</b>	Unité	Code sandre	LQ	09/10/2018 14:00
<b>Code plan d'eau: W2--3003</b>				
Anthracène	µg/(kg MS)	1458	10	15
Anthraquinone	µg/(kg MS)	2013	4	14
Benzo (a) Anthracène	µg/(kg MS)	1082	10	38
Benzo (a) Pyrène	µg/(kg MS)	1115	10	41
Benzo (b) Fluoranthène	µg/(kg MS)	1116	10	74
Benzo (ghi) Pérylène	µg/(kg MS)	1118	10	44
Benzo (k) Fluoranthène	µg/(kg MS)	1117	10	22
Chrysène	µg/(kg MS)	1476	10	40
DEHP	µg/(kg MS)	6616	100	147
Fluoranthène	µg/(kg MS)	1191	10	71
Indéno (123c) Pyrène	µg/(kg MS)	1204	10	28
Méthyl-2-Naphtalène	µg/(kg MS)	1618	10	23
Naphtalène	µg/(kg MS)	1517	25	40
Phénanthrène	µg/(kg MS)	1524	10	69
Pyrène	µg/(kg MS)	1537	10	62
Toluène	µg/(kg MS)	1278	5	10
PCB 101	µg/(kg MS)	1242	1	1
PCB 118	µg/(kg MS)	1243	1	1
PCB 138	µg/(kg MS)	1244	1	2
PCB 149	µg/(kg MS)	1885	1	2
PCB 153	µg/(kg MS)	1245	1	3
PCB 170	µg/(kg MS)	1626	1	1
PCB 180	µg/(kg MS)	1246	1	2
PCB 44	µg/(kg MS)	1628	1	1
PCB 52	µg/(kg MS)	1241	1	1

De nombreux micropolluants organiques ont été détectés dans les sédiments parmi lesquels :

- ✓ 15 substances appartenant aux hydrocarbures Aromatiques Polycycliques, la concentration totale des HAP atteint 674 µg/kg, valeur modérée qui reste très inférieure au seuil d'effets ;
- ✓ 9 PCB dont la somme totale reste relativement faible avec 14 µg/kg MS.
- ✓ le DEHP, témoin de matières plastiques est mesuré à 147 µg/kg MS (valeur faible).

Les résultats sont assez similaires aux analyses de sédiments du suivi 2009. En revanche, en 2015, les sédiments présentaient une contamination nettement plus importante en HAP (résultats douteux).

## 2 PHYTOPLANCTON

### 2.1 PRELEVEMENTS INTEGRES

Les prélèvements intégrés destinés à l'analyse du phytoplancton ont été réalisés en même temps que les prélèvements pour analyses physicochimiques classiques.

Sur la retenue de Monteynard, la zone euphotique et la transparence mesurées sont représentées par le graphique de la Figure 12. La transparence est moyenne : elle varie entre 2,5 et 5,5 m. Elle est minimale au cœur de l'été (2,5 m) et maximale en fin d'été (5,5) avec le brassage des eaux.

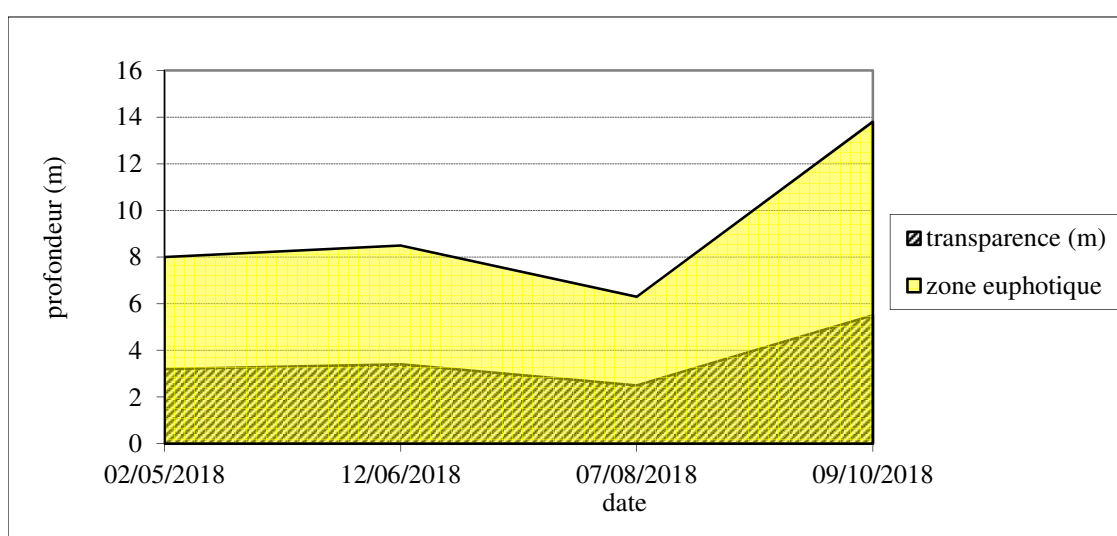


Figure 12 : Evolution de la transparence et de la zone euphotique lors de 4 campagnes

Les échantillons destinés à la détermination du phytoplancton et de la chlorophylle *a* sont constitués d'un prélèvement intégré sur la zone euphotique (équivalant à 2,5 fois la transparence lors de la campagne). Les échantillons 2018 concernent 6,3 à 13,8 m de colonne d'eau.

Les concentrations en chlorophylle *a* et en phéopigments sont présentées dans le tableau suivant.

Tableau 12 : analyses des pigments chlorophylliens

Retenue de MONTEYNARD-AVIGNONET		Unité	Code sandre	LQ	02/05/2018	12/06/2018	07/08/2018	09/10/2018
Code plan d'eau: W2--3003-1					intégré	intégré	intégré	intégré
indice chlorophylliens	Chlorophylle a	µg/L	1439	1	1	2	1	<1
	indice phéopigment	µg/L	1436	1	<1	<1	<1	1

Les concentrations en pigments chlorophylliens sont faibles dans le lac de Monteynard lors de toutes les campagnes. La somme des pigments (chlorophylle *a* + phéopigments) est comprise entre 1,5 et 2,5 µg/l. Cela traduit une faible production primaire dans le plan d'eau.

La moyenne estivale de concentration en chlorophylle *a* est évaluée à 1,16 µg/l. La teneur en chlorophylle *a* est maximale lors de la campagne 2 (2 µg/l). La concentration en phéopigments reste faible toute l'année, elle est ≤1 µg/l.

## 2.2 LISTES FLORISTIQUES

**Tableau 13 : Liste taxonomique du phytoplancton (en nombre de cellules/ml)**

Embranchement	Nom taxon	Code Sandre	02/05/2018	12/06/2018	07/08/2018	09/10/2018
BACILLARIOPHYTA	Achnantheidium	9356	1.2		3.7	0.6
	Achnantheidium catenatum	7074		52.8		
	Asterionella formosa	4860	1.2	1.2	3.7	2.5
	Caloneis lancettula	11981				0.6
	Cyclotella costei	8615		45.4	1397.8	93.3
	Cyclotella distinguenda	9507		6.1		
	Diatomées centriques indét <10 µm	6598	11.0			
	Diatomées centriques indét > 10 µm	6598	2.0			
	Discostella pseudostelligera	8656		87.2		
	Fragilaria crotonensis	6666				1.6
	Fragilaria saxoplanctonica	38467	2.9	27.0		
	Fragilaria sp.<100µm	9533	0.4			
	Nitzschia	9804		8.6		
	Puncticulata radiosa	8731		27.0	59.2	18.4
Stephanodiscus alpinus	8738		6.1			
Ulnaria delicatissima var. angustissima	19116				1.0	
CHAROPHYTA	Elakatothrix gelatinosa	5664			18.5	
CHLOROPHYTA	Chlorella vulgaris	5933		178.0	913.4	23.9
	Chlorococcales indéterminées	4746	0.4			
	Chlorophycées coloniales indét 5-10 µm	24936				0.2
	Chlorophycées unicellulaires indét 2-5 µm	20155			3.7	
	Choricystis minor	10245			40.7	4.3
	Coelastrum astroideum	5608			14.8	
	Didymocystis bicellularis	5654				4.9
	Didymocystis comasii	5652				1.2
	Kirchneriella contorta	5697		35.6	7.4	
	Oocystis	5752			14.8	
	Oocystis lacustris	5757				3.1
	Phacotus lenticularis	6048			3.7	1.2
	Scenedesmus linearis	25905			355.0	
	Schroederia setigera	5867			3.7	
	Sphaerocystis schroeteri	5880			270.0	
	Tetrachlorella incerta	20273			898.6	26.4
	Tetraedron minimum	5888			262.6	8.0
	Tetraedron triangulare	5893				2.5
	Chroomonas coerulea	9625				0.6
CRYPTOPHYTA	Cryptomonas	6269	0.8			
	Cryptomonas marssonii	6273	0.4	3.7		
	Cryptomonas ovata	6274		4.9		1.8
	Plagioselmis nannoplanctica	9634	61.8	83.5	14.8	51.0
	Rhodomonas lens	24459	76.9	14.7		2.5
DINOPHYTA	Ceratium hirundinella	6553			3.7	0.0
	Gymnodinium	4925	1.2			
	Gymnodinium cnecoides	20338	1.2	1.2		1.2
	Gymnodinium helveticum	6558	1.2	3.7		0.1
EUGLENOPHYTA	Peridinales indéterminées < 20 µm	4921	0.4	2.5		
	Euglena	6479	1.2			
HAPTOPHYTA	Trachelomonas	6527				0.6
	Erkenia subaequiciliata	6149		2.5		
HETEROKONTOPHYTA	Chrysooccus rufescens	9571	0.8	9.8		
	Dinobryon bavaricum	6127				0.6
	Dinobryon crenulatum	9577			3.7	
	Dinobryon divergens	6130		2.5	11.1	24.6
	Kephyrion	6150	0.8			
	Kephyrion littorale	6151	1.2	30.7		
	Kephyrion petasatum	20174	0.4			
	Mallomonas	6209		1.2		0.6
	Pseudopedinella elastica	20753				1.8
	Pseudotetraëdiella kamillae	20343		1.2		
<b>Nombre de taxons</b>			<b>20</b>	<b>24</b>	<b>21</b>	<b>29</b>
<b>Nombre de cellules/ml</b>			<b>168</b>	<b>637</b>	<b>4304</b>	<b>279</b>

**Tableau 14 : Liste taxonomique du phytoplancton (en mm<sup>3</sup>/l)**

Embranchement	Nom taxon	Code Sandre	02/05/2018	12/06/2018	07/08/2018	09/10/2018
BACILLARIOPHYTA	Achnanthydium	9356	0.0001		0.0003	0.0001
	Achnanthydium catenatum	7074		0.0070		
	Asterionella formosa	4860	0.0003	0.0003	0.0010	0.0006
	Caloneis lancettula	11981				0.0004
	Cyclotella costei	8615		0.0116	0.3565	0.0238
	Cyclotella distinguenda	9507		0.0039		
	Diatomées centriques indéterminées <10 µm	6598	0.0012			
	Diatomées centriques indéterminées > 10 µm	6598	0.0011			
	Discostella pseudostelligera	8656		0.0076		
	Fragilaria crotonensis	6666				0.0005
	Fragilaria saxoplanctonica	38467	0.0006	0.0061		
	Fragilaria sp.<100µm	9533	0.0001			
	Nitzschia	9804		0.0069		
	Puncticulata radiosa	8731		0.0270	0.0592	0.0184
	Stephanodiscus alpinus	8738		0.0055		
Ulnaria delicatissima var. angustissima	19116				0.0038	
CHAROPHYTA	Elakatothrix gelatinosa	5664			0.0035	
CHLOROPHYTA	Chlorella vulgaris	5933		0.0178	0.0913	0.0024
	Chlorococcales indéterminées	4746	0.0001			
	Chlorophycées coloniales indéterminées 5-10 µm	24936				0.0000
	Chlorophycées unicellulaires indéterminées 2-5 µm	20155			0.0001	
	Choricystis minor	10245			0.0004	0.0000
	Coelastrum astroideum	5608			0.0011	
	Didymocystis bicellularis	5654				0.0002
	Didymocystis comasii	5652				0.0004
	Kirchneriella contorta	5697		0.0028	0.0006	
	Oocystis	5752			0.0036	
	Oocystis lacustris	5757				0.0003
	Phacotus lenticularis	6048			0.0015	0.0005
	Scenedesmus linearis	25905			0.0831	
	Schroederia setigera	5867			0.0010	
	Sphaerocystis schroeteri	5880			0.1031	
	Tetrachlorella incerta	20273			0.0153	0.0004
	Tetraedron minimum	5888			0.0919	0.0028
Tetraedron triangulare	5893				0.0008	
CRYPTOPHYTA	Chroomonas coerulea	9625				0.0001
	Cryptomonas	6269	0.0015			
	Cryptomonas marssonii	6273	0.0005	0.0044		
	Cryptomonas ovata	6274		0.0103		0.0039
	Plagioselmis nannoplanctica	9634	0.0043	0.0058	0.0010	0.0036
	Rhodomonas lens	24459	0.0177	0.0034		0.0006
DINOPHYTA	Ceratium hirundinella	6553			0.1479	0.0016
	Gymnodinium	4925	0.0016			
	Gymnodinium cnecoides	20338	0.0028	0.0028		0.0028
	Gymnodinium helveticum	6558	0.0203	0.0628		0.0014
	Peridinales indéterminées < 20 µm	4921	0.0002	0.0011		
EUGLENOPHYTA	Euglena	6479	0.0069			
HAPTOPHYTA	Trachelomonas	6527				0.0010
	Erkenia subaequiciliata	6149		0.0001		
HETEROKONTOPHYTA	Chrysococcus rufescens	9571	0.0001	0.0015		
	Dinobryon bavaricum	6127				0.0001
	Dinobryon crenulatum	9577			0.0008	
	Dinobryon divergens	6130		0.0005	0.0023	0.0051
	Kephyrion	6150	0.0001			
	Kephyrion littorale	6151	0.0001	0.0029		
	Kephyrion petasatum	20174	0.0000			
	Mallomonas	6209		0.0033		0.0016
	Pseudopedinella elastica	20753				0.0025
	Pseudotetraëdriella kamillae	20343		0.0001		
	<b>Nombre de taxons</b>		<b>20</b>	<b>24</b>	<b>21</b>	<b>29</b>
	<b>Biovolume (mm<sup>3</sup>/l)</b>		<b>0.0596</b>	<b>0.1955</b>	<b>0.9654</b>	<b>0.0798</b>

## 2.3 EVOLUTIONS SAISONNIERES DES GROUPEMENTS PHYTOPLANCTONIQUES

Les graphiques suivants présentent la répartition du phytoplancton (relative) par groupe algal à partir des résultats exprimés en cellules/ml d'une part et à partir des biovolumes ( $\text{mm}^3/\text{l}$ ) d'autre part. Sur chacun des graphiques, la courbe représente l'abondance totale par échantillon (Figure 13), et le biovolume de l'échantillon (Figure 14).

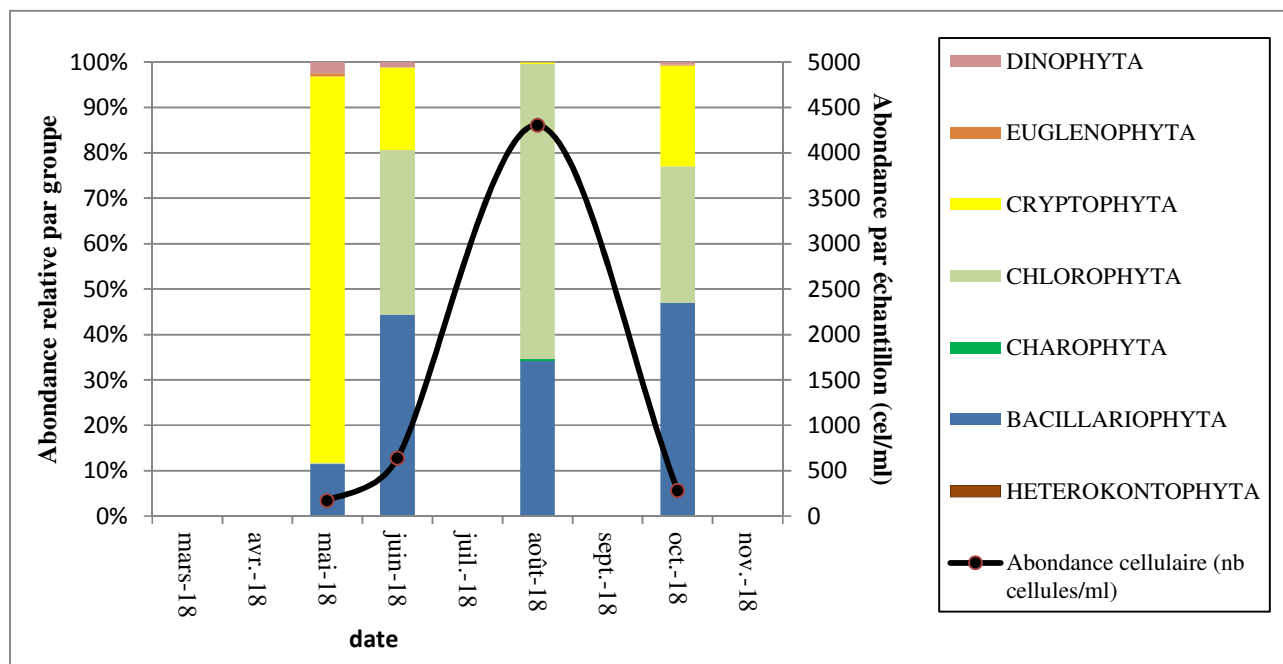


Figure 13 : Répartition du phytoplancton sur le lac de Monteynard à partir des abondances (cellules/ml)

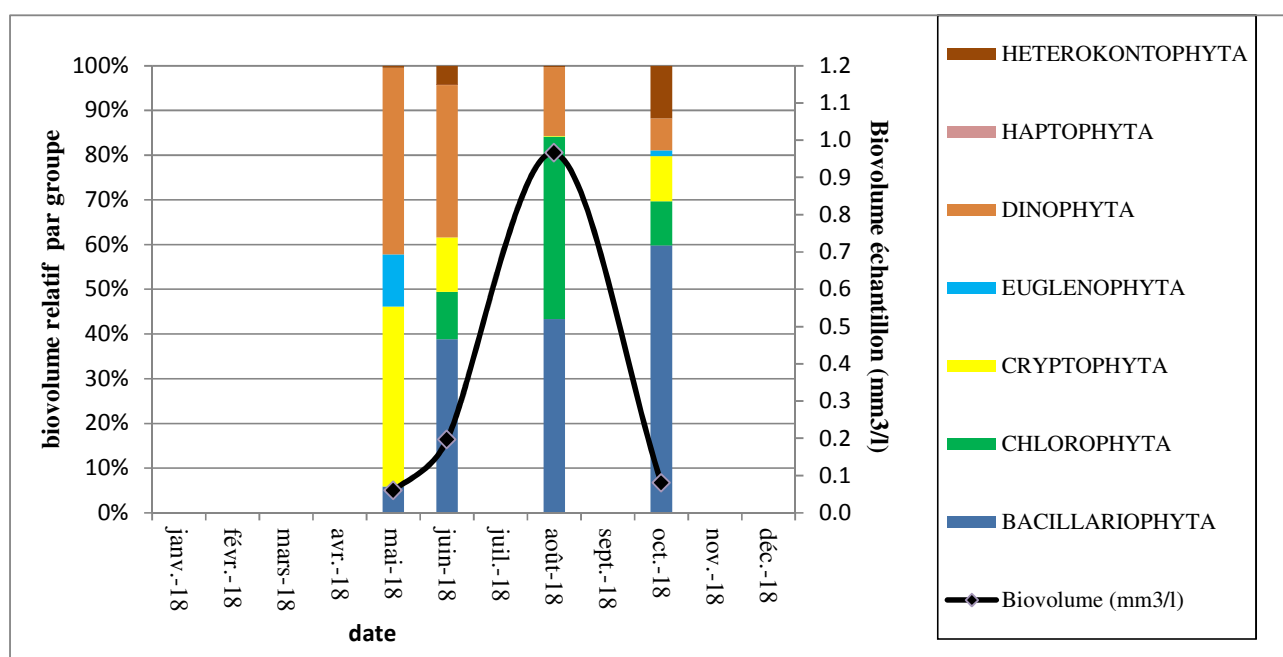


Figure 14 : Evolution saisonnière des biovolumes des principaux groupes algaux de phytoplancton (en  $\text{mm}^3/\text{l}$ )

Le peuplement phytoplanctonique est peu abondant dans la retenue de Monteynard ( $< 4100$  cellules/ml et  $< 1$  mm<sup>3</sup>/l). La diversité taxonomique est faible à moyenne (20 à 29 taxons), elle augmente au fil de la saison. Contrairement à la retenue du Sautet située en amont sur le Drac, la turbidité est limitée dans la retenue Monteynard. Les eaux sont fréquemment renouvelées en période de remplissage printanier.

Début mai, la production algale est très faible (168 cellules/ml 0,06 mm<sup>3</sup>/l.). Ce sont les cryptophytes qui dominent le peuplement algal à plus de 80%. : *Plagioselmis nannoplanctica*. et de *Rhodomonas lens* (comme sur le Sautet). *Plagioselmis nannoplanctica* est un taxon de petite taille, plutôt mésotrophe et cosmopolite. *Rhodomonas lens* est une espèce flagellée qui peut migrer dans la colonne entre la zone trophogène et la couche profonde.

Le peuplement algal évolue en phase de remplissage (le 12 juin). La production algale augmente légèrement (637 cellules/ml et 0,19 mm<sup>3</sup>/l). Les diatomées dominent le phytoplancton avec l'espèce littorale *Achnantheidium catenatum* et la radiale commune *Discostella pseudostelligera*. Elles sont accompagnées par l'algue verte espèce unicellulaire commune dans les plans d'eau *Chlorella vulgaris* et la dinophyte *Gymnodinium helveticum*.

En plein été, la production algale est un peu plus importante (0,96 mm<sup>3</sup>/l). Les chlorophycées dominent le phytoplancton (40% de l'effectif et 60% du biovolume) avec les espèces *Chlorella vulgaris* et *Tetrachlorella incerta*. Elles sont accompagnées par la diatomée *Cyclotella costei*, indicatrice de milieux brassés et relativement pauvres en nutriments (1/3 en biovolume et abondance).

En fin d'été, l'abondance et le biovolume phytoplanctonique chutent significativement avec le brassage des eaux. Les diatomées dominent nettement le peuplement (60 et 42% en abondance et biovolume) avec *C. Costei*. Les chlorophycées complètent le peuplement algal avec plusieurs taxons présents dont *C. vulgaris*. *Plagioselmis nannoplanctica* reste présent dans les eaux toute l'année.

Le peuplement algal est équilibré dans la retenue de Monteynard, les successions phytoplanctoniques recensées en 2018 n'indiquent pas de signes d'eutrophisation du milieu aquatique.



## 2.4 INDICE PHYTOPLANCTONIQUE IPLAC

L'indice phytoplancton lacustre ou IPLAC est calculé à partir du SEEE (v1.0.2 en date du 19/03/2019). Il s'appuie sur la moyenne pondérée de 2 métriques: l'une basée sur les teneurs en chlorophylle a ( $\mu\text{g/l}$ ) (MBA ou métrique de biomasse algale totale), et l'autre sur la présence d'espèces indicatrices quantifiés en biovolume ( $\text{mm}^3/\text{l}$ ) (MCS ou métrique de composition spécifique). Plus la valeur d'une métrique tend vers 1 plus la qualité est proche de la valeur prédite en condition de référence. Les 5 classes d'état sont fournies sur la Figure 5. Les classes d'état affichées pour les deux métriques et l'IPLAC sont données dans le tableau suivant.

Monteynard_2018		
IPLAC	MBA	MCS
0,82	0,89	0,78
TB	TB	B

En conclusion, le milieu ne présente pas de perturbations marquées cependant le potentiel d'eutrophisation du milieu ressentit par le profil écologique des espèces inventoriées mérite d'être souligné (MCS= 0,78). La productivité algale très faible et la teneur en chlorophylle (MBA=0,89) attestent cependant d'un fonctionnement équilibré du milieu aquatique.

⇒ **L'indice IPLAC du lac de Monteynard obtient la valeur de 0,82, ce qui correspond à une très bonne classe d'état pour l'élément de qualité phytoplancton**

## 2.5 COMPARAISON AVEC LES INVENTAIRES ANTERIEURS

En 2018, l'évolution saisonnière des peuplements phytoplanctoniques est similaire au suivi 2015 avec une production algale globalement réduite.

L'étude 2015 affichait des effectifs (1200 à 15000 cellules/ml) et des biovolumes (0,36 à 3,21  $\text{mm}^3/\text{l}$ ) nettement plus importants qu'en 2018. Cependant, les espèces dominantes du phytoplancton étaient les mêmes : *Plagioselmis nannoplanctica* (cryptophyte) et *Cyclotella costei* (diatomée), espèces oligotrophes et assez communes. En revanche, les chrysophycées (*Dinobryon sp.*) bien représentées pendant l'été 2015 se révèlent rares en 2018. A l'inverse, les chlorophycées dominent le peuplement pendant l'été 2018 alors qu'elles étaient peu présentes en 2015.

L'historique des valeurs IPLAC acquises sur le plan d'eau de Monteynard est présenté dans le Tableau 15 (valeurs issues du SEEE V1.0.2 base du 07/01/2019).

**Tableau 15 : évolution des Indices IPLAC depuis 2009**

Nom_Lac	année	IPLAC	Classe IPLAC
Monteynard	2009	0.754	B
Monteynard	2015	0.859	TB
<b>Monteynard</b>	2018	0.817	TB

Au niveau des indices, l'IPLAC est relativement stable depuis 2009 avec une qualité bonne à très bonne et des indices compris entre 0,75 et 0,86. L'indice 2018 se situe entre les indices de 2009 et de 2015 : pas d'évolution significative à signaler sur la qualité des communautés phytoplanctoniques.

⇒ Ces éléments tendent à indiquer que le lac de Monteynard présente un très bon état du compartiment phytoplancton.

### 3 APPRECIATION GLOBALE DE LA QUALITE DU PLAN D'EAU

Le suivi physicochimique et biologique 2018 sur le lac de Monteynard s'est déroulé conformément aux prescriptions de suivi de l'état écologique et l'état chimique des eaux douces de surface. On rappelle que les pressions identifiées à l'origine du risque de non atteinte des objectifs environnementaux sur ce plan d'eau sont l'hydrologie et l'altération de la continuité piscicole.

L'année 2018 a été globalement bien arrosée, avec de bonnes chutes de neige dans les massifs alpins, le remplissage de la retenue a été conforme à la normale. Les résultats obtenus sont proches de ceux de 2015 pour tous les compartiments, ils sont synthétisés dans le tableau suivant.

Compartiment	Synthèse de la qualité du plan d'eau <sup>5</sup>
<b>Profils verticaux</b>	Renouvellement fréquent des eaux – stratification thermique peu durable Trois masses d'eaux distinctes : zone trophogène – hypolimnion et culot (80-110 m) isolé du reste Eaux très minéralisées et riches en matières organiques dans le culot
<b>Qualité physico-chimique des eaux</b>	Absence de pollution organique en zone euphotique Charge faible à moyenne en Nitrates (2,6 à 1,4 mg/l) Présence d'Arsenic dans les eaux (fond géochimique) Présence de quelques COV (plastifiants) et du Metformine (médicament)
<b>Qualité physico-chimique des sédiments</b>	Absence de pollutions organiques, peu de stockage de nutriments Sédiments riches en métaux Al, Fe et Mn Métaux lourds As, Cu et Ni en quantités non négligeables Présence faible à modérée de HAP et PCB
<b>Biologie – chlorophylle <i>a</i></b>	Production chlorophyllienne faible – Moyenne estivale : 1,16 µg/l Très bon état
<b>Biologie - phytoplancton</b>	Peuplement équilibré – production algale faible à modérée IPLAC : très bon état

<sup>5</sup> il s'agit d'une interprétation des valeurs brutes observées (analyses physico-chimiques, peuplements biologiques) mais pas d'une stricte évaluation de l'Etat écologique et chimique selon les arrêtés en vigueur

L'ensemble des suivis physico-chimiques et biologiques 2018 indiquent un milieu aquatique de bonne qualité avec absence de pollutions organiques. Le lac de Monteynard présente un fonctionnement spécifique lié à son utilisation pour l'hydroélectricité. Le renouvellement fréquent des eaux en période printanière (temps de séjour estimé à 55 jours) notamment génère une instabilité des communautés phytoplanctoniques. Cette masse d'eau profonde (>100 m) présente une singularité avec ce « culot » qui ne se mélange pas avec le reste de la masse d'eau et forme un réceptacle aux matières organiques.

L'analyse des micropolluants montre la présence de métaux lourds dans les eaux (Arsenic) et sédiments (Nickel). Le fond géochimique est vraisemblablement à l'origine de la présence de ces métaux. Les micropolluants organiques sont présents en quantités faibles dans les eaux et les sédiments. Les pollutions en HAP et PCB mesurées en 2015 dans les sédiments n'ont pas été retrouvées en 2018.

La production primaire reste faible toute l'année dans la retenue de Monteynard. Les résultats du suivi 2018 montrent un milieu aquatique qui peut être qualifié d'oligotrophe à mésotrophe.

**- ANNEXES -**



**Annexe 1. LISTE DES MICROPOLLUANTS ANALYSES  
SUR EAU**

---

Code SANDRE	Libellé du paramètre	Fraction	LQ	Unité					
6751	1,7-Diméthylxanthine	Eau brute	0.1	µg/L	1104	Amétryne	Eau brute	0.02	µg/L
2934	1-(3-chloro-4-méthylphényl)urée	Eau brute	0.02	µg/L	5385	Androstenedione	Eau brute	0.005	µg/L
7011	1-Hydroxy Ibuprofen	Eau brute	0.01	µg/L	6594	Anilofos	Eau brute	0.005	µg/L
7041	14-Hydroxycyclaristromycine	Eau brute	0.005	µg/L	1458	Anthracène	Eau brute	0.01	µg/L
5399	17alpha-Estradiol	Eau brute	0.005	µg/L	2013	Anthraquinone	Eau brute	0.005	µg/L
1264	2 4 5 T	Eau brute	0.02	µg/L	1376	Antimoine	Eau filtrée	0.5	µg(Sb)/L
1141	2 4 D	Eau brute	0.02	µg/L	1368	Argent	Eau filtrée	0.01	µg(Ag)/L
2872	2 4 D isopropyl ester	Eau brute	0.005	µg/L	1369	Arsenic	Eau filtrée	0.05	µg(As)/L
2873	2 4 D méthyl ester	Eau brute	0.005	µg/L	1965	Asulame	Eau brute	0.02	µg/L
1142	2 4 DB	Eau brute	0.1	µg/L	5361	Atenolol	Eau brute	0.005	µg/L
1212	2 4 MCPA	Eau brute	0.02	µg/L	1107	Atrazine	Eau brute	0.005	µg/L
1213	2 4 MCPB	Eau brute	0.03	µg/L	1832	Atrazine 2 hydroxy	Eau brute	0.02	µg/L
2011	2 6 Dichlorobenzamide	Eau brute	0.005	µg/L	1109	Atrazine désisopropyl	Eau brute	0.01	µg/L
7815	2,6-di-tert-butyl-4-méthylphénol	Eau brute	0.05	µg/L	1108	Atrazine déséthyl	Eau brute	0.01	µg/L
6870	2-(3-trifluorométhylphenoxy)nicotina	Eau brute	0.005	µg/L	1830	Atrazine déséthyl désisopropyl	Eau brute	0.03	µg/L
7012	2-Hydroxy Ibuprofen	Eau brute	0.1	µg/L	2014	Azaconazole	Eau brute	0.005	µg/L
5352	2-Naphthaleneacetic acid, 6-hydroxy-	Eau brute	0.1	µg/L	2015	Azaméthi phos	Eau brute	0.02	µg/L
3159	2-hydroxy-desethyl-Atrazine	Eau brute	0.02	µg/L	2937	Azimsulfuron	Eau brute	0.02	µg/L
2613	2-nitrotoluène	Eau brute	0.02	µg/L	1111	Azinphos méthyl	Eau brute	0.005	µg/L
6022	2,4+2,5-dichloroanilines	Eau brute	0.05	µg/L	1110	Azinphos éthyl	Eau brute	0.02	µg/L
5695	3,4,5-Triméthacarb	Eau brute	0.005	µg/L	7817	Azithromycine	Eau brute	0.5	µg/L
2820	3-Chloro-4 méthylaniline	Eau brute	0.05	µg/L	1951	Azoxystrobine	Eau brute	0.02	µg/L
5367	4-Chlorobenzoic acid	Eau brute	0.1	µg/L	6231	BDE 181	Eau brute	0.0005	µg/L
6536	4-Méthylbenzylidene camphor	Eau brute	0.02	µg/L	5986	BDE 203	Eau brute	0.0015	µg/L
7816	4-méthoxycinnamate de 2-éthylhexyle	Eau brute	0.65	µg/L	5997	BDE 205	Eau brute	0.0015	µg/L
5474	4-n-nonylphénol	Eau brute	0.1	µg/L	2915	BDE100	Eau brute	0.0002	µg/L
1958	4-nonylphénols ramifiés	Eau brute	0.1	µg/L	2913	BDE138	Eau brute	0.0002	µg/L
2610	4-tert-butylphénol	Eau brute	0.02	µg/L	2912	BDE153	Eau brute	0.0002	µg/L
1959	4-tert-octylphénol	Eau brute	0.03	µg/L	2911	BDE154	Eau brute	0.0002	µg/L
1907	AMPA	Eau brute	0.02	µg/L	2921	BDE17	Eau brute	0.0002	µg/L
6456	Acébutolol	Eau brute	0.005	µg/L	2910	BDE183	Eau brute	0.0005	µg/L
5579	Acetamidrid	Eau brute	0.02	µg/L	2909	BDE190	Eau brute	0.0005	µg/L
6856	Acetochlor ESA	Eau brute	0.03	µg/L	1815	BDE209	Eau brute	0.005	µg/L
6862	Acetochlor OXA	Eau brute	0.03	µg/L	2920	BDE28	Eau brute	0.0002	µg/L
5581	Acibenzolar-S-Methyl	Eau brute	0.02	µg/L	2919	BDE47	Eau brute	0.0002	µg/L
6547	Acide Perfluorotetradécanoïque (PFTE	Eau brute	0.02	µg/L	2918	BDE66	Eau brute	0.0002	µg/L
6735	Acide acétylsalicylique	Eau brute	0.05	µg/L	2917	BDE71	Eau brute	0.0002	µg/L
5408	Acide clofibrique	Eau brute	0.005	µg/L	7437	BDE77	Eau brute	0.0002	µg/L
5369	Acide fenofibrique	Eau brute	0.005	µg/L	2914	BDE85	Eau brute	0.0002	µg/L
6538	Acide mefenamique	Eau brute	0.005	µg/L	2916	BDE99	Eau brute	0.0002	µg/L
1465	Acide monochloroacétique	Eau brute	0.2	µg/L	7423	BENALAXYL-M	Eau brute	0.1	µg/L
1521	Acide nitrilotriacétique (NTA)	Eau brute	5	µg/L	1396	Baryum	Eau filtrée	0.5	µg(Ba)/L
6549	Acide pentafluoroheptadécanoïque	Eau brute	0.2	µg/L	7522	Beflubutamide	Eau brute	0.01	µg/L
6509	Acide perfluoro-decanoïque (PFDA)	Eau brute	0.002	µg/L	1329	Bendiocarbe	Eau brute	0.005	µg/L
6507	Acide perfluoro-dodecanoïque (PFDD)	Eau brute	0.02	µg/L	1112	Benfluraline	Eau brute	0.005	µg/L
5980	Acide perfluoro-n-butanoïque	Eau brute	0.2	µg/L	2924	Benfuracarbe	Eau brute	0.05	µg/L
5977	Acide perfluoro-n-heptanoïque (PFHp)	Eau brute	0.002	µg/L	2074	Benoxacor	Eau brute	0.005	µg/L
5978	Acide perfluoro-n-hexanoïque (PFHxA)	Eau brute	0.002	µg/L	5512	Bensulfuron-méthyl	Eau brute	0.02	µg/L
6508	Acide perfluoro-n-nonanoïque (PFNA)	Eau brute	0.02	µg/L	6595	Bensulide	Eau brute	0.005	µg/L
6510	Acide perfluoro-n-undécanoïque (PFU)	Eau brute	0.02	µg/L	1113	Bentazone	Eau brute	0.03	µg/L
5347	Acide perfluoro-octanoïque (PFOA)	Eau brute	0.002	µg/L	7460	Benthiavalicarbe-isopropyl	Eau brute	0.02	µg/L
6550	Acide perfluoroodecane sulfonique (PFOS)	Eau brute	0.005	µg/L	1764	Benthiocarbe	Eau brute	0.005	µg/L
6542	Acide perfluoroheptane sulfonique	Eau brute	0.001	µg/L	1082	Benzo (a) Anthracène	Eau brute	0.001	µg/L
6830	Acide perfluorohexanesulfonique (PFHxS)	Eau brute	0.002	µg/L	1115	Benzo (a) Pyrène	Eau brute	0.01	µg/L
6560	Acide perfluoroctanesulfonique (PFOS)	Eau brute	0.02	µg/L	1116	Benzo (b) Fluoranthène	Eau brute	0.0005	µg/L
5355	Acide salicylique	Eau brute	0.05	µg/L	1118	Benzo (ghi) Pérylène	Eau brute	0.0005	µg/L
1970	Acifluorfen	Eau brute	0.02	µg/L	1117	Benzo (k) Fluoranthène	Eau brute	0.0005	µg/L
1688	Acionifen	Eau brute	0.001	µg/L	1924	Benzyl butyl phthalate	Eau brute	0.05	µg/L
1310	Acrinathrine	Eau brute	0.005	µg/L	1114	Benzène	Eau brute	0.5	µg/L
1622	Acénaphylène	Eau brute	0.01	µg/L	1377	Beryllium	Eau filtrée	0.01	µg(Be)/L
1453	Acénaphthène	Eau brute	0.01	µg/L	3209	Beta cyfluthrine	Eau brute	0.01	µg/L
1100	Acéphate	Eau brute	0.005	µg/L	6457	Betaxolol	Eau brute	0.005	µg/L
1454	Acétaldéhyde	Eau brute	5	µg/L	5366	Bezafibrate	Eau brute	0.005	µg/L
1903	Acétochlor	Eau brute	0.005	µg/L	1120	Bifenthrine	Eau brute	0.005	µg/L
6800	Alachlor ESA	Eau brute	0.03	µg/L	1119	Biénox	Eau brute	0.005	µg/L
6855	Alachlor OXA	Eau brute	0.03	µg/L	1502	Bioresméthrine	Eau brute	0.005	µg/L
1101	Alachlore	Eau brute	0.005	µg/L	1584	Biphényle	Eau brute	0.005	µg/L
6740	Albendazole	Eau brute	0.005	µg/L	6453	Bisoprolol	Eau brute	0.005	µg/L
1102	Aldicarbe	Eau brute	0.02	µg/L	7594	Bisphenol S	Eau brute	0.02	µg/L
1807	Aldicarbe sulfone	Eau brute	0.02	µg/L	2766	Bisphénol-A	Eau brute	0.02	µg/L
1806	Aldicarbe sulfoxyde	Eau brute	0.02	µg/L	1529	Bitertanol	Eau brute	0.005	µg/L
1103	Aldrine	Eau brute	0.001	µg/L	7104	Bithionol	Eau brute	0.1	µg/L
7501	Allylxcarbe	Eau brute	0.005	µg/L	7345	Bixafen	Eau brute	0.02	µg/L
1697	Alléthrine	Eau brute	0.03	µg/L	1362	Bore	Eau filtrée	10	µg(B)/L
1812	Alphaméthrine	Eau brute	0.005	µg/L	5526	Boscalid	Eau brute	0.02	µg/L
5370	Alprazolam	Eau brute	0.01	µg/L	1686	Bromacil	Eau brute	0.005	µg/L
1370	Aluminium	Eau filtrée	2	µg(Al)/L	1859	Bromadiolone	Eau brute	0.05	µg/L
7842	Ametoctradine	Eau brute	0.1	µg/L	5371	Bromazepam	Eau brute	0.01	µg/L
5697	Amidithion	Eau brute	0.005	µg/L	1121	Bromochlorométhane	Eau brute	0.5	µg/L
2012	Amidosulfuron	Eau brute	0.02	µg/L	1122	Bromoforme	Eau brute	0.5	µg/L
5523	Aminocarbe	Eau brute	0.02	µg/L	1124	Bromophos méthyl	Eau brute	0.005	µg/L
2537	Aminochlorophénol-2,4	Eau brute	0.1	µg/L	1123	Bromophos éthyl	Eau brute	0.005	µg/L
7580	Aminopyralid	Eau brute	0.1	µg/L	1685	Bromopropylate	Eau brute	0.005	µg/L
1105	Aminotriazole	Eau brute	0.03	µg/L	1125	Bromoxynil	Eau brute	0.02	µg/L
7516	Amipropofos-méthyl	Eau brute	0.005	µg/L	1941	Bromoxynil octanoate	Eau brute	0.01	µg/L
1308	Amitraze	Eau brute	0.005	µg/L	1860	Bromuconazole	Eau brute	0.02	µg/L
6967	Amitriptyline	Eau brute	0.005	µg/L	1530	Bromure de méthyle	Eau brute	0.05	µg/L
6781	Amlodipine	Eau brute	0.05	µg/L	7502	Bufencarbe	Eau brute	0.02	µg/L
6719	Amoxicilline	Eau brute	0.02	µg/L	6742	Bufomedil	Eau brute	0.05	µg/L
					1861	Bupirimate	Eau brute	0.01	µg/L

Agence de l'Eau Rhône Méditerranée Corse

Étude des plans d'eau du programme de surveillance des bassins Rhône-Méditerranée et Corse – Retenue de Monteynard (38)

6518	Bupivacaïne	Eau brute	0.005	µg/L
1862	Bupropiféline	Eau brute	0.005	µg/L
5710	Butamifos	Eau brute	0.005	µg/L
1126	Butraline	Eau brute	0.005	µg/L
1531	Buturon	Eau brute	0.02	µg/L
7038	Butylate	Eau brute	0.03	µg/L
1855	Butylbenzène n	Eau brute	0.5	µg/L
1610	Butylbenzène sec	Eau brute	0.5	µg/L
1611	Butylbenzène tert	Eau brute	0.5	µg/L
1687	Bénalaxyl	Eau brute	0.005	µg/L
2977	CHLORURE DE CHOLINE	Eau brute	0.1	µg/L
2729	CYCLOXYDIME	Eau brute	0.02	µg/L
1388	Cadmium	Eau filtrée	0.01	µg(Cd)/L
1863	Cadusafos	Eau brute	0.02	µg/L
6519	Caféine	Eau brute	0.01	µg/L
1127	Captafol	Eau brute	0.01	µg/L
1128	Captane	Eau brute	0.01	µg/L
5296	Carbamazépine	Eau brute	0.005	µg/L
6725	Carbamazépine epoxide	Eau brute	0.005	µg/L
1463	Carbaryl	Eau brute	0.02	µg/L
1129	Carbendazime	Eau brute	0.005	µg/L
1130	Carbofuran	Eau brute	0.005	µg/L
1805	Carbofuran 3 hydroxy	Eau brute	0.02	µg/L
1131	Carbophénouthion	Eau brute	0.005	µg/L
1864	Carbosulfan	Eau brute	0.02	µg/L
2975	Carboxine	Eau brute	0.02	µg/L
6842	Carboxyibuprofen	Eau brute	0.1	µg/L
1333	Carbétamide	Eau brute	0.02	µg/L
2976	Carfentrazone-ethyl	Eau brute	0.005	µg/L
1865	Chinométhionate	Eau brute	0.005	µg/L
7500	Chlorantraniliprole	Eau brute	0.02	µg/L
1336	Chlorbufame	Eau brute	0.02	µg/L
7010	Chlordane alpha	Eau brute	0.005	µg/L
1757	Chlordane beta	Eau brute	0.005	µg/L
1758	Chlordane gamma	Eau brute	0.005	µg/L
5553	Chlorefenizon	Eau brute	0.005	µg/L
1464	Chlorfenvinphos	Eau brute	0.02	µg/L
2950	Chlorfluaazuron	Eau brute	0.01	µg/L
1133	Chloridazone	Eau brute	0.005	µg/L
5522	Chlorimuron-ethyl	Eau brute	0.02	µg/L
5405	Chlormadinone	Eau brute	0.01	µg/L
5554	Chlormequat	Eau brute	0.03	µg/L
2097	Chlormequat chlorure	Eau brute	0.038	µg/L
1134	Chlorméphos	Eau brute	0.005	µg/L
1955	Chloroalcanes C10-C13	Eau brute	0.15	µg/L
1593	Chloroaniline-2	Eau brute	0.05	µg/L
1592	Chloroaniline-3	Eau brute	0.05	µg/L
1591	Chloroaniline-4	Eau brute	0.05	µg/L
1467	Chlorobenzène	Eau brute	0.5	µg/L
2016	Chlorobromuron	Eau brute	0.005	µg/L
1135	Chloroforme (Trichlorométhane)	Eau brute	0.5	µg/L
1736	Chlorométhane	Eau brute	0.5	µg/L
2821	Chlorométhylaniline-4,2	Eau brute	0.02	µg/L
1636	Chlorométhylphénol-4,3	Eau brute	0.05	µg/L
1594	Chloronitroaniline-4,2	Eau brute	0.1	µg/L
1469	Chloronitrobenzène-1,2	Eau brute	0.02	µg/L
1468	Chloronitrobenzène-1,3	Eau brute	0.02	µg/L
1470	Chloronitrobenzène-1,4	Eau brute	0.05	µg/L
1341	Chloronèbe	Eau brute	0.005	µg/L
1684	Chlorophacinone	Eau brute	0.02	µg/L
1471	Chlorophénol-2	Eau brute	0.05	µg/L
1651	Chlorophénol-3	Eau brute	0.05	µg/L
1650	Chlorophénol-4	Eau brute	0.05	µg/L
2065	Chloropropène-3	Eau brute	0.5	µg/L
2611	Chloropréne	Eau brute	0.5	µg/L
1473	Chlorothalonil	Eau brute	0.01	µg/L
1602	Chlorotoluène-2	Eau brute	0.5	µg/L
1601	Chlorotoluène-3	Eau brute	0.5	µg/L
1600	Chlorotoluène-4	Eau brute	0.5	µg/L
1683	Chloroxuron	Eau brute	0.005	µg/L
1853	Chloroéthane	Eau brute	0.5	µg/L
1474	Chloropropane	Eau brute	0.005	µg/L
1540	Chlorpyrifos méthyl	Eau brute	0.005	µg/L
1083	Chlorpyrifos éthyl	Eau brute	0.005	µg/L
1353	Chlorsulfuron	Eau brute	0.02	µg/L
6743	Chlortetracycline	Eau brute	0.02	µg/L
2966	Chlorthal dimethyl	Eau brute	0.005	µg/L
1813	Chlorthiamide	Eau brute	0.01	µg/L
5723	Chlorthiophos	Eau brute	0.02	µg/L
1136	Chlortoluron	Eau brute	0.02	µg/L
2715	Chlorure de Benzylidène	Eau brute	0.1	µg/L
1753	Chlorure de vinyle	Eau brute	0.05	µg/L
1389	Chrome	Eau filtrée	0.5	µg(Cr)/L
1476	Chrysène	Eau brute	0.01	µg/L
5481	Cinosulfuron	Eau brute	0.005	µg/L
6540	Ciprofloxacine	Eau brute	0.02	µg/L
6537	Clarithromycine	Eau brute	0.005	µg/L
6968	Clenbuterol	Eau brute	0.005	µg/L
2978	Clethodim	Eau brute	0.02	µg/L
6792	Cindamycine	Eau brute	0.005	µg/L
2095	Clodinafop-propargyl	Eau brute	0.02	µg/L
1868	Clofentézine	Eau brute	0.005	µg/L
2017	Clomazone	Eau brute	0.005	µg/L
1810	Clopyralide	Eau brute	0.02	µg/L
2018	Cloquintocet mexyl	Eau brute	0.005	µg/L
6748	Clorsulone	Eau brute	0.01	µg/L
6389	Clothianidine	Eau brute	0.03	µg/L
5360	Clotrimazole	Eau brute	0.005	µg/L
1379	Cobalt	Eau filtrée	0.05	µg(Co)/L
6520	Cotinine	Eau brute	0.005	µg/L
2972	Coumafène	Eau brute	0.005	µg/L
1682	Coumaphos	Eau brute	0.02	µg/L
2019	Coumatétralyl	Eau brute	0.005	µg/L
5724	Crotoxyphos	Eau brute	0.005	µg/L
5725	Cruformate	Eau brute	0.005	µg/L
1640	Crésol-ortho	Eau brute	0.05	µg/L
1392	Cuivre	Eau filtrée	0.1	µg(Cu)/L
6391	Cumyluron	Eau brute	0.03	µg/L
1137	Cyanazine	Eau brute	0.02	µg/L
5726	Cyanofenphos	Eau brute	0.1	µg/L
1084	Cyanures libres	Eau filtrée	0.2	µg(CN)/L
5567	Cyazofamid	Eau brute	0.05	µg/L
5568	Cycloate	Eau brute	0.02	µg/L
6733	Cyclophosphamide	Eau brute	0.001	µg/L
1696	Cycluron	Eau brute	0.02	µg/L
1681	Cyfluthrine	Eau brute	0.005	µg/L
5569	Cyhalofop-butyl	Eau brute	0.05	µg/L
1138	Cyhalothrine	Eau brute	0.005	µg/L
1139	Cymoxanil	Eau brute	0.02	µg/L
1140	Cyperméthrine	Eau brute	0.005	µg/L
1680	Cyproconazole	Eau brute	0.02	µg/L
1359	Cyprodinil	Eau brute	0.005	µg/L
7801	Cyprosulfamide	Eau brute	0.02	µg/L
2897	Cyromazine	Eau brute	0.02	µg/L
7503	Cythioate	Eau brute	0.02	µg/L
1929	DCPMU (métabolite du Diuron)	Eau brute	0.02	µg/L
1930	DCPU (métabolite Diuron)	Eau brute	0.05	µg/L
1143	DDD-o,p'	Eau brute	0.001	µg/L
1144	DDD-p,p'	Eau brute	0.001	µg/L
1145	DDE-o,p'	Eau brute	0.001	µg/L
1146	DDE-p,p'	Eau brute	0.001	µg/L
1147	DDT-o,p'	Eau brute	0.001	µg/L
1148	DDT-p,p'	Eau brute	0.001	µg/L
6616	DEHP	Eau brute	0.4	µg/L
1490	DNOC	Eau brute	0.02	µg/L
7515	DPU (Diphénylurée)	Eau brute	0.01	µg/L
5930	Daimuron	Eau brute	0.005	µg/L
2094	Dalapon	Eau brute	0.02	µg/L
5597	Daminozide	Eau brute	0.03	µg/L
6677	Danofloxacine	Eau brute	0.1	µg/L
1869	Dazomet	Eau brute	0.1	µg/L
1149	Deltaméthrine	Eau brute	0.001	µg/L
2980	Desmediphame	Eau brute	0.02	µg/L
2738	Desméthylisoproturon	Eau brute	0.02	µg/L
1155	Desmétryne	Eau brute	0.02	µg/L
6574	Dexaméthasone	Eau brute	0.05	µg/L
1156	Diallate	Eau brute	0.02	µg/L
5372	Diazepam	Eau brute	0.005	µg/L
1157	Diazinon	Eau brute	0.005	µg/L
1621	Dibenzo (ah) Anthracène	Eau brute	0.01	µg/L
1479	Dibromo-1,2 chloro-3propanol	Eau brute	0.5	µg/L
1158	Dibromochlorométhane	Eau brute	0.05	µg/L
1513	Dibromométhane	Eau brute	0.5	µg/L
1498	Dibromoéthane-1,2	Eau brute	0.05	µg/L
7074	Dibutylétain cation	Eau brute	0.0025	µg/L
1480	Dicamba	Eau brute	0.03	µg/L
1679	Dichlobénil	Eau brute	0.005	µg/L
1159	Dichlofenthion	Eau brute	0.005	µg/L
1360	Dichlofluaniide	Eau brute	0.005	µg/L
2929	Dichlormide	Eau brute	0.01	µg/L
1586	Dichloroaniline-3,4	Eau brute	0.015	µg/L
1585	Dichloroaniline-3,5	Eau brute	0.02	µg/L
1165	Dichlorobenzène-1,2	Eau brute	0.05	µg/L
1164	Dichlorobenzène-1,3	Eau brute	0.5	µg/L
1166	Dichlorobenzène-1,4	Eau brute	0.05	µg/L
1167	Dichlorobromométhane	Eau brute	0.05	µg/L
1485	Dichlorodifluorométhane	Eau brute	0.5	µg/L
1168	Dichlorométhane	Eau brute	5	µg/L
1617	Dichloronitrobenzène-2,3	Eau brute	0.05	µg/L
1616	Dichloronitrobenzène-2,4	Eau brute	0.05	µg/L
1615	Dichloronitrobenzène-2,5	Eau brute	0.05	µg/L
1614	Dichloronitrobenzène-3,4	Eau brute	0.05	µg/L
1613	Dichloronitrobenzène-3,5	Eau brute	0.05	µg/L
2981	Dichlorophène	Eau brute	0.02	µg/L
1645	Dichlorophénol-2,3	Eau brute	0.05	µg/L
1647	Dichlorophénol-3,4	Eau brute	0.05	µg/L
1655	Dichloropropane-1,2	Eau brute	0.2	µg/L
1654	Dichloropropane-1,3	Eau brute	0.5	µg/L
2081	Dichloropropane-2,2	Eau brute	0.05	µg/L
1834	Dichloropropylène-1,3 Cis	Eau brute	0.05	µg/L
1835	Dichloropropylène-1,3 Trans	Eau brute	0.05	µg/L
1653	Dichloropropylène-2,3	Eau brute	0.5	µg/L
2082	Dichloropropène-1,1	Eau brute	0.5	µg/L



Agence de l'Eau Rhône Méditerranée Corse

Étude des plans d'eau du programme de surveillance des bassins Rhône-Méditerranée et Corse – Retenue de Monteynard (38)

1169	Dichlorprop	Eau brute	0.03	µg/L
2544	Dichlorprop-P	Eau brute	0.03	µg/L
1170	Dichlorvos	Eau brute	0.0003	µg/L
1160	Dichloréthane-1,1	Eau brute	0.5	µg/L
1161	Dichloréthane-1,2	Eau brute	0.5	µg/L
1162	Dichloréthylène-1,1	Eau brute	0.5	µg/L
1456	Dichloréthylène-1,2 cis	Eau brute	0.05	µg/L
1727	Dichloréthylène-1,2 trans	Eau brute	0.5	µg/L
5349	Diclofenac	Eau brute	0.01	µg/L
1171	Diclofop méthyl	Eau brute	0.05	µg/L
1172	Dicofol	Eau brute	0.005	µg/L
5525	Dicrotophos	Eau brute	0.005	µg/L
6696	Dicyclanil	Eau brute	0.01	µg/L
2847	Didéméthylisoproturon	Eau brute	0.02	µg/L
1173	Dieldrine	Eau brute	0.001	µg/L
7507	Dienestrol	Eau brute	0.005	µg/L
2628	Diethylstilbestrol	Eau brute	0.005	µg/L
2982	Difenacoum	Eau brute	0.005	µg/L
5524	Difénoxuron	Eau brute	0.005	µg/L
2983	Diféthialone	Eau brute	0.02	µg/L
1488	Diflubenzuron	Eau brute	0.02	µg/L
1814	Diflufénicanil	Eau brute	0.001	µg/L
1905	Difénoconazole	Eau brute	0.02	µg/L
6647	Dihydrocodéine	Eau brute	0.005	µg/L
5325	Diisobutyl phthalate	Eau brute	0.4	µg/L
6729	Diltiazem	Eau brute	0.005	µg/L
7142	Dimepiperate	Eau brute	0.005	µg/L
5737	Dimethametryn	Eau brute	0.005	µg/L
6865	Dimethenamid ESA	Eau brute	0.01	µg/L
5617	Dimethenamid-P	Eau brute	0.03	µg/L
6972	Diméthylvinphos	Eau brute	0.005	µg/L
1870	Diméfuron	Eau brute	0.02	µg/L
2546	Dimétachlore	Eau brute	0.005	µg/L
1175	Diméthoate	Eau brute	0.01	µg/L
1403	Diméthomorphe	Eau brute	0.02	µg/L
2773	Diméthylamine	Eau brute	10	µg/L
1641	Diméthylphénol-2,4	Eau brute	0.02	µg/L
1678	Diméthénamide	Eau brute	0.005	µg/L
7735	Diméthénamide OXA	Eau brute	0.01	µg/L
1698	Dimétilan	Eau brute	0.02	µg/L
1871	Diniconazole	Eau brute	0.02	µg/L
1578	Dinitrotoluène-2,4	Eau brute	0.5	µg/L
1577	Dinitrotoluène-2,6	Eau brute	0.5	µg/L
5619	Dinocap	Eau brute	0.05	µg/L
1491	Dinosébe	Eau brute	0.02	µg/L
1176	Dinoterbe	Eau brute	0.03	µg/L
7494	Diocytéain cation	Eau brute	0.0025	µg/L
5743	Dioxacarb	Eau brute	0.005	µg/L
7495	Diphenyléain cation	Eau brute	0.0005	µg/L
1699	Diquat	Eau brute	0.03	µg/L
1492	Disulfoton	Eau brute	0.005	µg/L
5745	Ditalimfos	Eau brute	0.05	µg/L
1966	Dithianon	Eau brute	0.1	µg/L
1177	Diuron	Eau brute	0.02	µg/L
1402	Diéthofencarbe	Eau brute	0.02	µg/L
1527	Diéthyl phthalate	Eau brute	0.05	µg/L
2826	Diéthylamine	Eau brute	6	µg/L
2933	Dodine	Eau brute	0.02	µg/L
6969	Doxépine	Eau brute	0.005	µg/L
6791	Doxycycline	Eau brute	0.005	µg/L
6714	Dydrogesterone	Eau brute	0.02	µg/L
1153	Déméton S méthyl	Eau brute	0.005	µg/L
1154	Déméton S méthyl sulfone	Eau brute	0.01	µg/L
1150	Déméton-O	Eau brute	0.01	µg/L
1152	Déméton-S	Eau brute	0.01	µg/L
2051	Déséthyl-terbuméthon	Eau brute	0.02	µg/L
1493	EDTA	Eau brute	5	µg/L
1873	EPN	Eau brute	0.005	µg/L
1182	EPTC	Eau brute	0.1	µg/L
5751	Edifenphos	Eau brute	0.005	µg/L
8102	Emamectine	Eau brute	0.1	µg/L
1178	Endosulfan alpha	Eau brute	0.001	µg/L
1179	Endosulfan beta	Eau brute	0.001	µg/L
1742	Endosulfan sulfate	Eau brute	0.001	µg/L
1181	Endrine	Eau brute	0.001	µg/L
2941	Endrine aldehyde	Eau brute	0.005	µg/L
6768	Enoxacine	Eau brute	0.02	µg/L
6784	Enrofloxacin	Eau brute	0.02	µg/L
1494	Epichlorohydrine	Eau brute	0.1	µg/L
1744	Epoxiconazole	Eau brute	0.02	µg/L
7504	Equilin	Eau brute	0.005	µg/L
6522	Erythromycine	Eau brute	0.005	µg/L
1809	Esténvalérate	Eau brute	0.005	µg/L
5397	Estradiol	Eau brute	0.005	µg/L
6446	Estriol	Eau brute	0.005	µg/L
5396	Estrone	Eau brute	0.01	µg/L
1380	Etain	Eau filtrée	0.5	µg(Sn)/L
5529	Ethametsulfuron-méthyl	Eau brute	0.005	µg/L
2093	Ethephon	Eau brute	0.02	µg/L
1763	Ethidimuron	Eau brute	0.02	µg/L
5528	Ethiofencarbe sulfone	Eau brute	0.005	µg/L
6534	Ethiofencarbe sulfoxyde	Eau brute	0.02	µg/L
1183	Ethion	Eau brute	0.02	µg/L
1874	Ethiophencarbe	Eau brute	0.02	µg/L
1184	Ethofumésate	Eau brute	0.005	µg/L
1495	Ethoprophos	Eau brute	0.02	µg/L
5527	Ethoxysulfuron	Eau brute	0.02	µg/L
2673	Ethyl tert-butyl ether	Eau brute	0.5	µg/L
1497	Ethylbenzène	Eau brute	0.5	µg/L
6644	Ethylparaben	Eau brute	0.01	µg/L
5648	EthylèneThioUrée	Eau brute	0.1	µg/L
6601	EthylèneUrée	Eau brute	0.1	µg/L
2629	Ethynyl estradiol	Eau brute	0.001	µg/L
5625	Etoazole	Eau brute	0.005	µg/L
5760	Etrifos	Eau brute	0.005	µg/L
2020	Famoxadone	Eau brute	0.005	µg/L
5761	Famphur	Eau brute	0.005	µg/L
6482	Fenbendazole	Eau brute	0.005	µg/L
1906	Fenbuconazole	Eau brute	0.02	µg/L
2078	Fenbutatin oxyde	Eau brute	0.0217	µg/L
7513	Fenchlorazole-ethyl	Eau brute	0.1	µg/L
1186	Fenchlorphos	Eau brute	0.005	µg/L
2743	Fenhexamid	Eau brute	0.005	µg/L
5627	Fenizon	Eau brute	0.005	µg/L
5763	Fenobucarb	Eau brute	0.005	µg/L
5368	Fenofibrate	Eau brute	0.01	µg/L
6970	Fenopfen	Eau brute	0.05	µg/L
5970	Fenothiocarbe	Eau brute	0.005	µg/L
1188	Fenpropathrine	Eau brute	0.005	µg/L
1700	Fenpropidine	Eau brute	0.01	µg/L
1189	Fenpropimorphe	Eau brute	0.005	µg/L
1190	Fenthion	Eau brute	0.005	µg/L
1701	Fenvalérate	Eau brute	0.01	µg/L
1393	Fer	Eau filtrée	1	µg(Fe)/L
2021	Ferbam	Eau brute	10000	µg/L
2009	Fipronil	Eau brute	0.005	µg/L
1840	Flamprop-isopropyl	Eau brute	0.005	µg/L
6539	Flamprop-méthyl	Eau brute	0.005	µg/L
1939	Flazasulfuron	Eau brute	0.02	µg/L
6393	Flonicamid	Eau brute	0.005	µg/L
2810	Florasulam	Eau brute	0.02	µg/L
6764	Florfenicol	Eau brute	0.1	µg/L
6545	Fluazifop	Eau brute	0.02	µg/L
1404	Fluazifop-P-butyl	Eau brute	0.1	µg/L
1825	Fluazifop-butyl	Eau brute	0.02	µg/L
2984	Fluazinam	Eau brute	0.1	µg/L
2022	Fludioxonil	Eau brute	0.02	µg/L
6863	Flufenacet oxalate	Eau brute	0.01	µg/L
6864	Flufenacet sulfonic acid	Eau brute	0.01	µg/L
1676	Flufénoxuron	Eau brute	0.02	µg/L
5635	Flumequine	Eau brute	0.02	µg/L
2023	Flumioxazine	Eau brute	0.005	µg/L
1501	Fluométuren	Eau brute	0.02	µg/L
7499	Fluopicolide	Eau brute	0.02	µg/L
7649	Fluopyram	Eau brute	0.02	µg/L
1191	Fluoranthène	Eau brute	0.005	µg/L
1623	Fluorène	Eau brute	0.005	µg/L
5373	Fluoxétine	Eau brute	0.005	µg/L
2565	Flupyrifururon méthyle	Eau brute	0.02	µg/L
2056	Fluquinconazole	Eau brute	0.02	µg/L
1974	Fluridone	Eau brute	0.02	µg/L
1675	Flurochloridone	Eau brute	0.005	µg/L
1765	Fluroxypyr	Eau brute	0.03	µg/L
2547	Fluroxypyr-meptyl	Eau brute	0.02	µg/L
2024	Flurprimidol	Eau brute	0.005	µg/L
2008	Flurtamone	Eau brute	0.02	µg/L
1194	Flusilazole	Eau brute	0.02	µg/L
2985	Flutolanil	Eau brute	0.02	µg/L
1503	Flutriafol	Eau brute	0.02	µg/L
6739	Fluvoxamine	Eau brute	0.01	µg/L
1192	Folpel	Eau brute	0.01	µg/L
2075	Fomesafen	Eau brute	0.05	µg/L
1674	Fonofos	Eau brute	0.005	µg/L
2806	Foramsulfuron	Eau brute	0.03	µg/L
5969	Forchlorfenuron	Eau brute	0.005	µg/L
1702	Formaldéhyde	Eau brute	1	µg/L
1816	Fosetyl	Eau brute	0.0185	µg/L
2744	Fosthiazate	Eau brute	0.02	µg/L
1975	Foséthyl aluminium	Eau brute	0.02	µg/L
1908	Furalaxyl	Eau brute	0.005	µg/L
2567	Furathiocarbe	Eau brute	0.02	µg/L
7441	Furilazole	Eau brute	0.1	µg/L
5364	Furosemide	Eau brute	0.02	µg/L
2057	Fénamidone	Eau brute	0.02	µg/L
1185	Fénarimol	Eau brute	0.005	µg/L
2742	Fénazaquin	Eau brute	0.02	µg/L
1187	Fénitrothion	Eau brute	0.001	µg/L
1973	Fénoxaprop éthyl	Eau brute	0.02	µg/L
1967	Fénoxycarbe	Eau brute	0.005	µg/L

Agence de l'Eau Rhône Méditerranée Corse

Étude des plans d'eau du programme de surveillance des bassins Rhône-Méditerranée et Corse – Retenue de Monteynard (38)

1500	Fénuron	Eau brute	0.02	µg/L	5787	Malathion-o-analog	Eau brute	0.005	µg/L
7602	Gabapentine	Eau brute	0.01	µg/L	1211	Mancozébe	Eau brute	0.03	µg/L
5365	Gemfibrozil	Eau brute	0.02	µg/L	6399	Mandiopropamid	Eau brute	0.02	µg/L
1526	Glufosinate	Eau brute	0.02	µg/L	1394	Manganèse	Eau filtrée	0.5	µg(Mn)/L
1506	Glyphosate	Eau brute	0.03	µg/L	1705	Manèbe	Eau brute	0.03	µg/L
1200	HCH alpha	Eau brute	0.001	µg/L	6700	Marbofloxacine	Eau brute	0.1	µg/L
1201	HCH beta	Eau brute	0.001	µg/L	5789	Mecarbam	Eau brute	0.005	µg/L
1202	HCH delta	Eau brute	0.001	µg/L	2870	Mecoprop-n isobutyl ester	Eau brute	0.005	µg/L
2046	HCH epsilon	Eau brute	0.005	µg/L	2750	Mecoprop-n octyl ester	Eau brute	0.005	µg/L
1203	HCH gamma	Eau brute	0.001	µg/L	2751	Mecoprop-2,4,4-trimethylph	Eau brute	0.005	µg/L
5508	Halosulfuron-methyl	Eau brute	0.02	µg/L	2752	Mecoprop-2-butoxyethyl este	Eau brute	0.005	µg/L
2047	Haloxypop	Eau brute	0.05	µg/L	2753	Mecoprop-2-ethylhexyl ester	Eau brute	0.005	µg/L
1909	Haloxypop-R	Eau brute	0.005	µg/L	2754	Mecoprop-2-octyl ester	Eau brute	0.005	µg/L
1833	Haloxypop-éthoxyéthyl	Eau brute	0.02	µg/L	2755	Mecoprop-methyl ester	Eau brute	0.005	µg/L
1197	Heptachlore	Eau brute	0.005	µg/L	2568	Mefluidide	Eau brute	0.02	µg/L
1748	Heptachlore époxyde cis	Eau brute	0.005	µg/L	5533	Mepanipyrim	Eau brute	0.005	µg/L
1749	Heptachlore époxyde trans	Eau brute	0.005	µg/L	5791	Mephosfolan	Eau brute	0.005	µg/L
1910	Heptenophos	Eau brute	0.005	µg/L	6521	Mepivacaine	Eau brute	0.01	µg/L
1199	Hexachlorobenzène	Eau brute	0.001	µg/L	1677	Meptyldinocap	Eau brute	1	µg/L
1652	Hexachlorobutadiène	Eau brute	0.02	µg/L	1510	Mercaptodiméthur	Eau brute	0.01	µg/L
2612	Hexachloropenta diène	Eau brute	0.1	µg/L	1804	Mercaptodiméthur sulfoxyde	Eau brute	0.02	µg/L
1656	Hexachloroéthane	Eau brute	0.3	µg/L	1387	Mercuré	Eau filtrée	0.01	µg(Hg)/L
1405	Hexaconazole	Eau brute	0.02	µg/L	2578	Mesosulfuron methyle	Eau brute	0.02	µg/L
1875	Hexaflumuron	Eau brute	0.005	µg/L	6894	Metazachlor oxalic acid	Eau brute	0.1	µg/L
1673	Hexazinone	Eau brute	0.02	µg/L	6895	Metazachlor sulfonic acid	Eau brute	0.1	µg/L
1876	Hexythiazox	Eau brute	0.02	µg/L	1879	Metconazole	Eau brute	0.02	µg/L
5645	Hydrazide maleique	Eau brute	0.5	µg/L	6755	Metformine	Eau brute	0.005	µg/L
6746	Hydrochlorothiazide	Eau brute	0.005	µg/L	5792	Methacrifos	Eau brute	0.02	µg/L
6730	Hydroxy-metronidazole	Eau brute	0.01	µg/L	6793	Methotrexate	Eau brute	0.005	µg/L
2860	IMAZAQUINE	Eau brute	0.02	µg/L	5511	Methoxyfenoside	Eau brute	0.1	µg/L
5350	Ibuprofene	Eau brute	0.01	µg/L	6695	Methylparaben	Eau brute	0.01	µg/L
6727	Ifosfamide	Eau brute	0.005	µg/L	2067	Metiram	Eau brute	0.03	µg/L
1704	Imazalil	Eau brute	0.02	µg/L	6854	Metolachlor ESA	Eau brute	0.02	µg/L
2986	Imazamox	Eau brute	0.02	µg/L	6853	Metolachlor OXA	Eau brute	0.02	µg/L
1695	Imazaméthabenz	Eau brute	0.02	µg/L	5796	Metolcarb	Eau brute	0.005	µg/L
1911	Imazaméthabenz méthyl	Eau brute	0.01	µg/L	5362	Metoprolol	Eau brute	0.005	µg/L
2090	Imazapyr	Eau brute	0.02	µg/L	5654	Metrafenone	Eau brute	0.005	µg/L
7510	Imibenconazole	Eau brute	0.005	µg/L	6731	Metronidazole	Eau brute	0.005	µg/L
1877	Imidaclopride	Eau brute	0.02	µg/L	1797	Metsulfuron méthyl	Eau brute	0.02	µg/L
6971	Imipramine	Eau brute	0.005	µg/L	7143	Mexacarbate	Eau brute	0.005	µg/L
6794	Indometacine	Eau brute	0.02	µg/L	1707	Molinate	Eau brute	0.005	µg/L
5483	Indoxacarbe	Eau brute	0.02	µg/L	1395	Molybdène	Eau filtrée	1	µg(Mo)/L
1204	Indéno (123c) Pyrène	Eau brute	0.0005	µg/L	2542	Monobutylétain cation	Eau brute	0.0025	µg/L
6706	Iobitridol	Eau brute	0.1	µg/L	1880	Monocrotophos	Eau brute	0.02	µg/L
2741	Iodocarbe	Eau brute	0.02	µg/L	1227	Monolinuron	Eau brute	0.02	µg/L
2025	Iodofenphos	Eau brute	0.005	µg/L	7496	Monooctylétain cation	Eau brute	0.001	µg/L
2563	Iodosulfuron	Eau brute	0.02	µg/L	7497	Monophenylétain cation	Eau brute	0.001	µg/L
5377	Iopromide	Eau brute	0.1	µg/L	1228	Monuron	Eau brute	0.02	µg/L
1205	Ioxynil	Eau brute	0.02	µg/L	6671	Morphine	Eau brute	0.02	µg/L
2871	Ioxynil methyl ester	Eau brute	0.005	µg/L	7475	Morpholine	Eau brute	2	µg/L
1942	Ioxynil octanoate	Eau brute	0.01	µg/L	6342	Musc xylène	Eau brute	0.1	µg/L
7508	Ipoconazole	Eau brute	0.02	µg/L	1881	Myclobutanil	Eau brute	0.02	µg/L
5777	Iprobenfos	Eau brute	0.005	µg/L	1214	Mécoprop	Eau brute	0.02	µg/L
1206	Iprodione	Eau brute	0.005	µg/L	2084	Mécoprop-P	Eau brute	0.1	µg/L
2951	Iprovalicarbe	Eau brute	0.02	µg/L	1968	Méfénacét	Eau brute	0.005	µg/L
6535	Irbesartan	Eau brute	0.005	µg/L	2930	Méfénpyr diethyl	Eau brute	0.005	µg/L
1935	Irgarol (Cybutryne)	Eau brute	0.0025	µg/L	2987	Méfénoxam	Eau brute	0.02	µg/L
1976	Isazofos	Eau brute	0.02	µg/L	1969	Mépiquat	Eau brute	0.03	µg/L
1836	Isobutylbenzène	Eau brute	0.5	µg/L	2089	Mépiquat chlorure	Eau brute	0.04	µg/L
1207	Isodrine	Eau brute	0.001	µg/L	1878	Mépronil	Eau brute	0.005	µg/L
1829	Isofenphos	Eau brute	0.005	µg/L	2076	Mésotrione	Eau brute	0.03	µg/L
5781	Isoprocarb	Eau brute	0.005	µg/L	1706	Métalaxyl	Eau brute	0.02	µg/L
1633	Isopropylbenzène	Eau brute	0.5	µg/L	1796	Métaldéhyde	Eau brute	0.02	µg/L
2681	Isopropyltoluène o	Eau brute	0.5	µg/L	1215	Métamitron	Eau brute	0.02	µg/L
1856	Isopropyltoluène p	Eau brute	0.5	µg/L	1670	Métazachlore	Eau brute	0.005	µg/L
1208	Isoproturon	Eau brute	0.02	µg/L	1216	Méthabenzthiazuron	Eau brute	0.005	µg/L
6643	Isoquinoline	Eau brute	0.01	µg/L	1671	Méthamidophos	Eau brute	0.02	µg/L
2722	Isothiocyanate de méthyle	Eau brute	1	µg/L	1217	Méthidathion	Eau brute	0.02	µg/L
1672	Isoxaben	Eau brute	0.02	µg/L	1218	Méthomyl	Eau brute	0.02	µg/L
2807	Isoxadifen-éthyle	Eau brute	0.005	µg/L	1511	Méthoxychloré	Eau brute	0.005	µg/L
1945	Isoxafutol	Eau brute	0.02	µg/L	1619	Méthyl-2-Fluoranthène	Eau brute	0.001	µg/L
5784	Isoxathion	Eau brute	0.005	µg/L	1618	Méthyl-2-Naphtalène	Eau brute	0.005	µg/L
7505	Karbutilate	Eau brute	0.005	µg/L	1515	Métobromuron	Eau brute	0.02	µg/L
5353	Ketoprofene	Eau brute	0.01	µg/L	1221	Métolachlore	Eau brute	0.005	µg/L
7669	Ketorolac	Eau brute	0.01	µg/L	1912	Métosulame	Eau brute	0.005	µg/L
1950	Kresoxim méthyl	Eau brute	0.02	µg/L	1222	Métoxuron	Eau brute	0.02	µg/L
1094	Lambda Cyhalothrine	Eau brute	6E-05	µg/L	1225	Métribuzine	Eau brute	0.02	µg/L
6711	Levamisole	Eau brute	0.005	µg/L	1226	Mévinphos	Eau brute	0.005	µg/L
6770	Levonorgestrel	Eau brute	0.02	µg/L	6380	N-(2,6-dimethylphenyl)-N-(2-	Eau brute	0.01	µg/L
7843	Lincomycine	Eau brute	0.005	µg/L	6443	Nadolol	Eau brute	0.005	µg/L
1209	Linuron	Eau brute	0.02	µg/L	1516	Naled	Eau brute	0.005	µg/L
1364	Lithium	Eau filtrée	0.5	µg(Li)/L	1517	Naphtalène	Eau brute	0.005	µg/L
5374	Lorazepam	Eau brute	0.005	µg/L	1519	Napropamide	Eau brute	0.005	µg/L
1406	Lénacile	Eau brute	0.005	µg/L	5351	Naproxene	Eau brute	0.05	µg/L
2745	MCPA-1-butyl ester	Eau brute	0.005	µg/L	1937	Naptalame	Eau brute	0.05	µg/L
2746	MCPA-2-ethylhexyl ester	Eau brute	0.005	µg/L	1386	Nickel	Eau filtrée	0.5	µg(Ni)/L
2747	MCPA-butoxyethyl ester	Eau brute	0.005	µg/L	1882	Nicosulfuron	Eau brute	0.01	µg/L
2748	MCPA-ethyl-ester	Eau brute	0.01	µg/L	5657	Nicotine	Eau brute	0.02	µg/L
2749	MCPA-méthyl-ester	Eau brute	0.005	µg/L	2614	Nitrobenzène	Eau brute	0.1	µg/L
1512	MTBE	Eau brute	0.5	µg/L	1229	Nitroféne	Eau brute	0.005	µg/L
1210	Malathion	Eau brute	0.005	µg/L	1637	Nitrophénol-2	Eau brute	0.05	µg/L

Agence de l'Eau Rhône Méditerranée Corse

Étude des plans d'eau du programme de surveillance des bassins Rhône-Méditerranée et Corse – Retenue de Monteynard (38)

5400	Norethindrone	Eau brute	0.001	µg/L
6761	Norfloxacin	Eau brute	0.1	µg/L
6772	Norflouxetine	Eau brute	0.005	µg/L
1669	Norflurazon	Eau brute	0.005	µg/L
2737	Norflurazon desméthyl	Eau brute	0.005	µg/L
1883	Nuarimol	Eau brute	0.005	µg/L
1520	Néburon	Eau brute	0.02	µg/L
6767	O-Demethyltramadol	Eau brute	0.005	µg/L
6533	Ofloxacin	Eau brute	0.02	µg/L
2027	Ofurace	Eau brute	0.005	µg/L
1230	Ométhoate	Eau brute	0.0005	µg/L
1668	Oryzalin	Eau brute	0.1	µg/L
2068	Oxadiargyl	Eau brute	0.005	µg/L
1667	Oxadiazon	Eau brute	0.005	µg/L
1666	Oxadixyl	Eau brute	0.005	µg/L
1850	Oxamyl	Eau brute	0.02	µg/L
5510	Oxasulfuron	Eau brute	0.005	µg/L
5375	Oxazepam	Eau brute	0.005	µg/L
7107	Oxyclozanide	Eau brute	0.005	µg/L
6682	Oxycodone	Eau brute	0.01	µg/L
1231	Oxydéméton méthyl	Eau brute	0.02	µg/L
1952	Oxyfluorène	Eau brute	0.002	µg/L
6532	Oxytetracycline	Eau brute	0.005	µg/L
1242	PCB 101	Eau brute	0.0012	µg/L
1627	PCB 105	Eau brute	0.0003	µg/L
5433	PCB 114	Eau brute	3E-05	µg/L
1243	PCB 118	Eau brute	0.0012	µg/L
5434	PCB 123	Eau brute	3E-05	µg/L
2943	PCB 125	Eau brute	0.005	µg/L
1089	PCB 126	Eau brute	6E-06	µg/L
1884	PCB 128	Eau brute	0.0012	µg/L
1244	PCB 138	Eau brute	0.0012	µg/L
1885	PCB 149	Eau brute	0.0012	µg/L
1245	PCB 153	Eau brute	0.0012	µg/L
2032	PCB 156	Eau brute	0.0001	µg/L
5435	PCB 157	Eau brute	2E-05	µg/L
5436	PCB 167	Eau brute	3E-05	µg/L
1090	PCB 169	Eau brute	6E-06	µg/L
1626	PCB 170	Eau brute	0.0012	µg/L
1246	PCB 180	Eau brute	0.0012	µg/L
5437	PCB 189	Eau brute	1E-05	µg/L
1625	PCB 194	Eau brute	0.0012	µg/L
1624	PCB 209	Eau brute	0.005	µg/L
1239	PCB 28	Eau brute	0.0012	µg/L
1886	PCB 31	Eau brute	0.005	µg/L
1240	PCB 35	Eau brute	0.005	µg/L
2031	PCB 37	Eau brute	0.005	µg/L
1628	PCB 44	Eau brute	0.0012	µg/L
1241	PCB 52	Eau brute	0.0012	µg/L
2048	PCB 54	Eau brute	0.0012	µg/L
5803	PCB 66	Eau brute	0.005	µg/L
1091	PCB 77	Eau brute	6E-05	µg/L
5432	PCB 81	Eau brute	6E-06	µg/L
2545	Pacloubutazole	Eau brute	0.02	µg/L
5354	Paracetamol	Eau brute	0.025	µg/L
5806	Paraoxon	Eau brute	0.005	µg/L
1233	Parathion méthyl	Eau brute	0.005	µg/L
1232	Parathion éthyl	Eau brute	0.01	µg/L
6753	Parconazole	Eau brute	0.1	µg/L
1762	Penconazole	Eau brute	0.02	µg/L
1887	Pencycuron	Eau brute	0.02	µg/L
1234	Pendiméthaline	Eau brute	0.005	µg/L
6394	Penoxsulam	Eau brute	0.02	µg/L
1888	Pentachlorobenzène	Eau brute	0.001	µg/L
1235	Pentachlorophénol	Eau brute	0.03	µg/L
7670	Pentoxifylline	Eau brute	0.005	µg/L
6219	Perchlorate	Eau filtrée	0.1	µg/L
6548	Perfluorooctanesulfonamide (PFOSA)	Eau brute	0.02	µg/L
1523	Perméthrine	Eau brute	0.01	µg/L
7519	Pethoxamide	Eau brute	0.02	µg/L
1236	Phenméthipame	Eau brute	0.02	µg/L
5813	Phenthoate	Eau brute	0.005	µg/L
7708	Phenytol	Eau brute	0.05	µg/L
1525	Phorate	Eau brute	0.005	µg/L
1237	Phosalone	Eau brute	0.005	µg/L
1971	Phosmet	Eau brute	0.02	µg/L
1238	Phosphamidon	Eau brute	0.005	µg/L
1665	Phoxime	Eau brute	0.0003	µg/L
1489	Phtalate de diméthyle	Eau brute	0.4	µg/L
1499	Phénamiphos	Eau brute	0.005	µg/L
1524	Phénanthène	Eau brute	0.005	µg/L
5420	Phénazone	Eau brute	0.005	µg/L
1708	Piclorame	Eau brute	0.03	µg/L
5665	Picolinafen	Eau brute	0.005	µg/L
2669	Picoxystrobine	Eau brute	0.02	µg/L
7057	Pinoxaden	Eau brute	0.05	µg/L
1709	Piperonil butoxide	Eau brute	0.005	µg/L
5819	Piperophos	Eau brute	0.005	µg/L
1528	Pirimicarbe	Eau brute	0.02	µg/L
5531	Pirimicarbe Desmethyl	Eau brute	0.02	µg/L
5532	Pirimicarbe Formamido Desmethyl	Eau brute	0.005	µg/L
7668	Piroxicam	Eau brute	0.02	µg/L
1382	Plomb	Eau filtrée	0.05	µg(Pb)/L
6771	Pravastatine	Eau brute	0.02	µg/L
6734	Prednisolone	Eau brute	0.02	µg/L
1949	Pretilachlore	Eau brute	0.005	µg/L
6531	Prilocaine	Eau brute	0.005	µg/L
6847	Pristinamycine IIA	Eau brute	0.02	µg/L
1253	Prochloraze	Eau brute	0.001	µg/L
1664	Procymidone	Eau brute	0.005	µg/L
1889	Profénofos	Eau brute	0.005	µg/L
5402	Progesterone	Eau brute	0.02	µg/L
1710	Promécarbe	Eau brute	0.005	µg/L
1711	Prométon	Eau brute	0.005	µg/L
1254	Prométryne	Eau brute	0.02	µg/L
1712	Propachlore	Eau brute	0.01	µg/L
6398	Propamocarb	Eau brute	0.02	µg/L
1532	Propanil	Eau brute	0.005	µg/L
6964	Propaphos	Eau brute	0.005	µg/L
1972	Propaquizafop	Eau brute	0.02	µg/L
1255	Propargite	Eau brute	0.005	µg/L
1256	Propazine	Eau brute	0.02	µg/L
5968	Propazine 2-hydroxy	Eau brute	0.02	µg/L
1534	Prophame	Eau brute	0.02	µg/L
1257	Propiconazole	Eau brute	0.005	µg/L
1535	Propoxur	Eau brute	0.02	µg/L
5602	Propoxy-carbazone-sodium	Eau brute	0.02	µg/L
5363	Propranolol	Eau brute	0.005	µg/L
1837	Propylbenzène	Eau brute	0.5	µg/L
6214	Propylene thiouree	Eau brute	0.5	µg/L
6693	Propylparaben	Eau brute	0.01	µg/L
5421	Propylphénazone	Eau brute	0.005	µg/L
1414	Propyzamide	Eau brute	0.005	µg/L
1533	Propéamphos	Eau brute	0.005	µg/L
7422	Proquinazid	Eau brute	0.02	µg/L
1092	Prosulfocarbe	Eau brute	0.03	µg/L
2534	Prosulfuron	Eau brute	0.02	µg/L
5603	Prothioconazole	Eau brute	0.05	µg/L
7442	Proximpham	Eau brute	0.005	µg/L
5416	Pymétrozine	Eau brute	0.02	µg/L
6611	Pyraclifos	Eau brute	0.005	µg/L
2576	Pyraclostrobin	Eau brute	0.02	µg/L
5509	Pyraflufen-ethyl	Eau brute	0.1	µg/L
1258	Pyrazophos	Eau brute	0.02	µg/L
6386	Pyrazosulfuron-ethyl	Eau brute	0.005	µg/L
6530	Pyrazoxyfen	Eau brute	0.005	µg/L
5826	Pyributicarb	Eau brute	0.005	µg/L
1890	Pyridabène	Eau brute	0.005	µg/L
5606	Pyridaphenthion	Eau brute	0.005	µg/L
1259	Pyridate	Eau brute	0.01	µg/L
1663	Pyrifénox	Eau brute	0.01	µg/L
1261	Pyrimiphos méthyl	Eau brute	0.005	µg/L
1260	Pyrimiphos éthyl	Eau brute	0.02	µg/L
1432	Pyriméthaniol	Eau brute	0.005	µg/L
5499	Pyriproxifène	Eau brute	0.005	µg/L
7340	Pyroxsulam	Eau brute	0.05	µg/L
1537	Pyrène	Eau brute	0.005	µg/L
1891	Quinalphos	Eau brute	0.02	µg/L
2087	Quinmerac	Eau brute	0.02	µg/L
2028	Quinoxifen	Eau brute	0.005	µg/L
1538	Quintozène	Eau brute	0.01	µg/L
2069	Quizalofop	Eau brute	0.02	µg/L
2070	Quizalofop éthyl	Eau brute	0.1	µg/L
7049	RS-Iopamidol	Eau brute	0.1	µg/L
6529	Ranitidine	Eau brute	0.005	µg/L
1892	Rimsulfuron	Eau brute	0.005	µg/L
2029	Roténone	Eau brute	0.005	µg/L
5423	Roxythromycine	Eau brute	0.05	µg/L
2974	S Métolachlore	Eau brute	0.1	µg/L
6527	Salbutamol	Eau brute	0.005	µg/L
6101	Sebutylazine 2-hydroxy	Eau brute	0.005	µg/L
5981	Sebutylazine desethyl	Eau brute	0.005	µg/L
1262	Secbumeton	Eau brute	0.02	µg/L
7724	Sedaxane	Eau brute	0.02	µg/L
6769	Sertraline	Eau brute	0.005	µg/L
1893	Siduron	Eau brute	0.005	µg/L
5609	Silthiopham	Eau brute	0.02	µg/L
1539	Silvex	Eau brute	0.02	µg/L
1263	Simazine	Eau brute	0.005	µg/L
1831	Simazine hydroxy	Eau brute	0.02	µg/L
5477	Simétryne	Eau brute	0.005	µg/L
5855	Somme de Méthylphénol-3 et de Méthylphénol-4	Eau brute	0.05	µg/L
6326	Somme du 1,2,3,5 tetrachlorobenzene	Eau brute	0.02	µg/L
3336	Somme du Dichlorophenol-2,4 et du DCP	Eau brute	0.02	µg/L
5424	Sotalol	Eau brute	0.005	µg/L
5610	Spinosad	Eau brute	0.01	µg/L
7506	Spirotetramat	Eau brute	0.02	µg/L
2664	Spiroxamine	Eau brute	0.02	µg/L
1541	Styrène	Eau brute	0.5	µg/L
1662	Sulcotrione	Eau brute	0.03	µg/L
6525	Sulfaméthazine	Eau brute	0.005	µg/L

6795	Sulfaméthizole	Eau brute	0.005	µg/L
5356	Sulfaméthoxazole	Eau brute	0.005	µg/L
6575	Sulfaquinoxaline	Eau brute	0.05	µg/L
6572	Sulfathiazole	Eau brute	0.005	µg/L
5507	Sulfométhuron-méthyl	Eau brute	0.005	µg/L
6561	Sulfonate de perfluorooctane	Eau brute	0.02	µg/L
2085	Sulfosufuron	Eau brute	0.02	µg/L
1894	Sulfotep	Eau brute	0.005	µg/L
5831	Sulprofos	Eau brute	0.02	µg/L
1923	Sébuthylazine	Eau brute	0.02	µg/L
1385	Sélénium	Eau filtrée	0.1	µg(Se)/L
1808	Séthoxydime	Eau brute	0.02	µg/L
1193	Taufluvinate	Eau brute	0.005	µg/L
5413	Tecnazène	Eau brute	0.01	µg/L
2559	Tellure	Eau filtrée	0.5	µg(Te)/L
7086	Tembotrione	Eau brute	0.05	µg/L
1659	Terbacile	Eau brute	0.005	µg/L
1266	Terbuméton	Eau brute	0.02	µg/L
1267	Terbuphos	Eau brute	0.005	µg/L
6963	Terbutaline	Eau brute	0.02	µg/L
1268	Terbuthylazine	Eau brute	0.02	µg/L
7150	Terbuthylazine desethyl-2-hydroxy	Eau brute	0.02	µg/L
2045	Terbuthylazine déséthyl	Eau brute	0.005	µg/L
1954	Terbuthylazine hydroxy	Eau brute	0.02	µg/L
1269	Terbutryne	Eau brute	0.02	µg/L
5384	Testosterone	Eau brute	0.005	µg/L
1936	Tetrabutyletain	Eau brute	0.0006	µg/L
6750	Tetracycline	Eau brute	0.1	µg/L
5837	Tertrasul	Eau brute	0.01	µg/L
2555	Thallium	Eau filtrée	0.01	µg(Tl)/L
1713	Thiabendazole	Eau brute	0.02	µg/L
5671	Thiaclopid	Eau brute	0.05	µg/L
1940	Thiaflumide	Eau brute	0.02	µg/L
6390	Thiaméthoxam	Eau brute	0.02	µg/L
1714	Thiazasulfuron	Eau brute	0.05	µg/L
5934	Thidiazuron	Eau brute	0.02	µg/L
7517	Thiencazone-méthyl	Eau brute	0.03	µg/L
1913	Thifensulfuron méthyl	Eau brute	0.02	µg/L
7512	Thiocyclam hydrogen oxalate	Eau brute	0.01	µg/L
1093	Thiodicarbe	Eau brute	0.02	µg/L
1715	Thiofanox	Eau brute	0.05	µg/L
5476	Thiofanox sulfone	Eau brute	0.02	µg/L
5475	Thiofanox sulfoxyde	Eau brute	0.02	µg/L
2071	Thiométon	Eau brute	0.005	µg/L
5838	Thionazin	Eau brute	0.05	µg/L
7514	Thiophanate-ethyl	Eau brute	0.05	µg/L
1717	Thiophanate-méthyl	Eau brute	0.05	µg/L
1718	Thirame	Eau brute	0.1	µg/L
6524	Ticlopidine	Eau brute	0.01	µg/L
7965	Timolol	Eau brute	0.005	µg/L
5922	Tiocarbazil	Eau brute	0.005	µg/L
1373	Titane	Eau filtrée	0.5	µg(Ti)/L
5675	Tolclofos-méthyl	Eau brute	0.005	µg/L
1278	Toluène	Eau brute	0.5	µg/L
1719	Tolylfluamide	Eau brute	0.005	µg/L
6720	Tramadol	Eau brute	0.005	µg/L
1544	Triadiméfon	Eau brute	0.005	µg/L
1280	Triadiménol	Eau brute	0.02	µg/L
1281	Triallate	Eau brute	0.02	µg/L
1914	Triasulfuron	Eau brute	0.02	µg/L
1901	Triazamate	Eau brute	0.005	µg/L
1657	Triazophos	Eau brute	0.005	µg/L
2064	Tribenuron-Méthyle	Eau brute	0.02	µg/L
5840	Tributyl phosphorotriothioite	Eau brute	0.02	µg/L
2879	Tributyletain cation	Eau brute	0.0002	µg/L
1847	Tributylphosphate	Eau brute	0.005	µg/L
1288	Trichlopyr	Eau brute	0.02	µg/L
1630	Trichlorobenzène-1,2,3	Eau brute	0.05	µg/L
1283	Trichlorobenzène-1,2,4	Eau brute	0.05	µg/L
1629	Trichlorobenzène-1,3,5	Eau brute	0.05	µg/L

1195	Trichlorofluorométhane	Eau brute	0.05	µg/L
1548	Trichlorophénol-2,4,5	Eau brute	0.05	µg/L
1549	Trichlorophénol-2,4,6	Eau brute	0.05	µg/L
1854	Trichloropropane-1,2,3	Eau brute	0.5	µg/L
1196	Trichlorotrifluoroéthane-1,1,2	Eau brute	0.5	µg/L
1284	Trichloréthane-1,1,1	Eau brute	0.05	µg/L
1285	Trichloréthane-1,1,2	Eau brute	0.25	µg/L
1286	Trichloréthylène	Eau brute	0.5	µg/L
6989	Triclocarban	Eau brute	0.005	µg/L
5430	Triclosan	Eau brute	0.05	µg/L
2898	Tricyclazole	Eau brute	0.02	µg/L
2885	Tricyclohexyletain cation	Eau brute	0.0005	µg/L
5842	Trietazine	Eau brute	0.005	µg/L
6102	Trietazine 2-hydroxy	Eau brute	0.005	µg/L
5971	Trietazine desethyl	Eau brute	0.005	µg/L
2678	Trifloxystrobine	Eau brute	0.02	µg/L
1902	Triflumuron	Eau brute	0.02	µg/L
1289	Trifluraline	Eau brute	0.005	µg/L
2991	Triflusulfuron-méthyl	Eau brute	0.005	µg/L
1802	Triforine	Eau brute	0.005	µg/L
6732	Trimetazidine	Eau brute	0.005	µg/L
5357	Triméthoprim	Eau brute	0.005	µg/L
1857	Triméthylbenzène-1,2,3	Eau brute	1	µg/L
1609	Triméthylbenzène-1,2,4	Eau brute	1	µg/L
1509	Triméthylbenzène-1,3,5	Eau brute	1	µg/L
2096	Trinexapac-ethyl	Eau brute	0.02	µg/L
2886	Triocyletain cation	Eau brute	0.0005	µg/L
6372	Triphenyletain cation	Eau brute	0.0006	µg/L
2992	Triticonazole	Eau brute	0.02	µg/L
1694	Tébuconazole	Eau brute	0.02	µg/L
1896	Tébufenpyrad	Eau brute	0.005	µg/L
1895	Tébufénozide	Eau brute	0.02	µg/L
7511	Tébutirimfos	Eau brute	0.02	µg/L
1661	Tébutame	Eau brute	0.005	µg/L
1542	Tébuthiuron	Eau brute	0.005	µg/L
1897	Téflubenzuron	Eau brute	0.005	µg/L
1953	Téfluthrine	Eau brute	0.005	µg/L
1898	Téméphos	Eau brute	0.02	µg/L
2735	Tétrachlorobenzène	Eau brute	0.02	µg/L
2010	Tétrachlorobenzène-1,2,3,4	Eau brute	0.02	µg/L
1276	Tétrachlorure de C	Eau brute	0.5	µg/L
1277	Tétrachlorvinphos	Eau brute	0.005	µg/L
1270	Tétrachloréthane-1,1,1,2	Eau brute	0.5	µg/L
1271	Tétrachloréthane-1,1,2,2	Eau brute	0.02	µg/L
1272	Tétrachloréthylène	Eau brute	0.5	µg/L
1660	Tétraconazole	Eau brute	0.02	µg/L
1900	Tétradifon	Eau brute	0.005	µg/L
5249	Tétraphénylétaïn	Eau brute	0.005	µg/L
7482	Uniconazole	Eau brute	0.005	µg/L
1361	Uranium	Eau filtrée	0.05	µg(U)/L
1290	Vamidothion	Eau brute	0.005	µg/L
1384	Vanadium	Eau filtrée	0.1	µg(V)/L
1291	Vinclozoline	Eau brute	0.005	µg/L
1293	Xylène-meta	Eau brute	0.5	µg/L
1292	Xylène-ortho	Eau brute	0.5	µg/L
1294	Xylène-para	Eau brute	1	µg/L
1383	Zinc	Eau filtrée	1	µg(Zn)/L
1722	Zirame	Eau brute	100	µg/L
5376	Zolpidem	Eau brute	0.005	µg/L
2858	Zoxamide	Eau brute	0.02	µg/L
6651	alpha-Hexabromocyclododecane	Eau brute	0.05	µg/L
6652	beta-Hexabromocyclododecane	Eau brute	0.05	µg/L
7748	cyflufénamide	Eau brute	0.05	µg/L
5748	dimoxystrobine	Eau brute	0.02	µg/L
7342	fluxapyroxade	Eau brute	0.01	µg/L
6653	gamma-Hexabromocyclododecane	Eau brute	0.05	µg/L
1462	n-Butyl Phtalate	Eau brute	0.05	µg/L
1920	p-(n-octyl)phénol	Eau brute	0.03	µg/L
5821	p-Nitrotoluene	Eau brute	0.15	µg/L
3160	s-Triazin-2-ol, 4-amino-6-(éthylamino)	Eau brute	0.05	µg/L



## **Annexe 2. LISTE DES MICROPOLLUANTS ANALYSES SUR SEDIMENT**

---

Code SANDRE	Libellé du paramètre	LQ	Unité				
6536	4-Methylbenzylidene camphor	10	µg/(kg MS)	1389	Chrome	0.2	mg/(kg MS)
5474	4-n-nonylphénol	40	µg/(kg MS)	1476	Chrysène	10	µg/(kg MS)
6369	4-nonylphenol diethoxylate (mélange d'is	15	µg/(kg MS)	2017	Clomazone	4	µg/(kg MS)
1958	4-nonylphénols ramifiés	40	µg/(kg MS)	5360	Clotrimazole	100	µg/(kg MS)
7101	4-sec-Butyl-2,6-di-tert-butylphenol	20	µg/(kg MS)	1379	Cobalt	0.2	mg/(kg MS)
2610	4-tert-butylphénol	40	µg/(kg MS)	1639	Crésol-méta	50	µg/(kg MS)
1959	4-tert-octylphénol	40	µg/(kg MS)	1640	Crésol-ortho	50	µg/(kg MS)
6509	Acide perfluoro-decanoïque (PFDA)	50	µg/(kg MS)	1638	Crésol-para	50	µg/(kg MS)
5978	Acide perfluoro-n-hexanoïque (PFHxA)	50	µg/(kg MS)	1392	Cuivre	0.2	mg/(kg MS)
5347	Acide perfluoro-octanoïque (PFOA)	50	µg/(kg MS)	1140	Cyperméthrine	20	µg/(kg MS)
6830	Acide perfluorohexanesulfonique (PFHS)	50	µg/(kg MS)	1680	Cyproconazole	10	µg/(kg MS)
6560	Acide perfluorooctanesulfonique (PFOS)	5	µg/(kg MS)	1359	Cyprodinil	2	µg/(kg MS)
1688	Aclonifen	20	µg/(kg MS)	1143	DDD-o,p'	5	µg/(kg MS)
1622	Acénaphthylène	10	µg/(kg MS)	1144	DDD-p,p'	5	µg/(kg MS)
1453	Acénaphthène	10	µg/(kg MS)	1145	DDE-o,p'	5	µg/(kg MS)
1903	Acétochlore	4	µg/(kg MS)	1146	DDE-p,p'	5	µg/(kg MS)
1103	Aldrine	20	µg/(kg MS)	1147	DDT-o,p'	5	µg/(kg MS)
1812	Alphaméthrine	4	µg/(kg MS)	1148	DDT-p,p'	5	µg/(kg MS)
1370	Aluminium	5	mg/(kg MS)	6616	DEHP	100	µg/(kg MS)
7102	Anthanthrene	10	µg/(kg MS)	1149	Deltaméthrine	2	µg/(kg MS)
1458	Anthracène	10	µg/(kg MS)	1157	Diazinon	25	µg/(kg MS)
2013	Anthraquinone	4	µg/(kg MS)	1621	Dibenzo (ah) Anthracène	10	µg/(kg MS)
1376	Antimoine	0.2	mg/(kg MS)	1158	Dibromochlorométhane	5	µg/(kg MS)
1368	Argent	0.1	mg/(kg MS)	1498	Dibromoéthane-1,2	5	µg/(kg MS)
1369	Arsenic	0.2	mg/(kg MS)	7074	Dibutyletain cation	10	µg/(kg MS)
1951	Azoxystrobine	10	µg/(kg MS)	1589	Dichloroaniline-2,4	50	µg/(kg MS)
5989	BDE 196	10	µg/(kg MS)	1588	Dichloroaniline-2,5	50	µg/(kg MS)
5990	BDE 197	10	µg/(kg MS)	1165	Dichlorobenzène-1,2	10	µg/(kg MS)
5991	BDE 198	10	µg/(kg MS)	1164	Dichlorobenzène-1,3	10	µg/(kg MS)
5986	BDE 203	10	µg/(kg MS)	1166	Dichlorobenzène-1,4	10	µg/(kg MS)
5996	BDE 204	10	µg/(kg MS)	1167	Dichlorobromométhane	5	µg/(kg MS)
5997	BDE 205	10	µg/(kg MS)	1168	Dichlorométhane	10	µg/(kg MS)
2915	BDE100	10	µg/(kg MS)	1617	Dichloronitrobenzène-2,3	50	µg/(kg MS)
2913	BDE138	10	µg/(kg MS)	1616	Dichloronitrobenzène-2,4	50	µg/(kg MS)
2912	BDE153	10	µg/(kg MS)	1615	Dichloronitrobenzène-2,5	50	µg/(kg MS)
2911	BDE154	10	µg/(kg MS)	1614	Dichloronitrobenzène-3,4	50	µg/(kg MS)
2910	BDE183	10	µg/(kg MS)	1613	Dichloronitrobenzène-3,5	50	µg/(kg MS)
1815	BDE209	5	µg/(kg MS)	1645	Dichlorophénol-2,3	50	µg/(kg MS)
2920	BDE28	10	µg/(kg MS)	1486	Dichlorophénol-2,4	50	µg/(kg MS)
2919	BDE47	10	µg/(kg MS)	1649	Dichlorophénol-2,5	50	µg/(kg MS)
7437	BDE77	10	µg/(kg MS)	1648	Dichlorophénol-2,6	50	µg/(kg MS)
2916	BDE99	10	µg/(kg MS)	1647	Dichlorophénol-3,4	50	µg/(kg MS)
1396	Baryum	0.4	mg/(kg MS)	1646	Dichlorophénol-3,5	50	µg/(kg MS)
1607	Benzidine	100	µg/(kg MS)	1655	Dichloropropane-1,2	10	µg/(kg MS)
1082	Benzo (a) Anthracène	10	µg/(kg MS)	1654	Dichloropropane-1,3	10	µg/(kg MS)
1115	Benzo (a) Pyrène	10	µg/(kg MS)	2081	Dichloropropane-2,2	10	µg/(kg MS)
1116	Benzo (b) Fluoranthène	10	µg/(kg MS)	1834	Dichloropropylène-1,3 Cis	10	µg/(kg MS)
1118	Benzo (ghi) Pérylène	10	µg/(kg MS)	1835	Dichloropropylène-1,3 Trans	10	µg/(kg MS)
1117	Benzo (k) Fluoranthène	10	µg/(kg MS)	1653	Dichloropropylène-2,3	10	µg/(kg MS)
1924	Benzyl butyl phtalate	100	µg/(kg MS)	2082	Dichloropropène-1,1	10	µg/(kg MS)
1114	Benzène	5	µg/(kg MS)	1170	Dichlorvos	30	µg/(kg MS)
1377	Beryllium	0.2	mg/(kg MS)	1160	Dichloréthane-1,1	10	µg/(kg MS)
1119	Bifénox	50	µg/(kg MS)	1161	Dichloréthane-1,2	10	µg/(kg MS)
1584	Biphényle	20	µg/(kg MS)	1162	Dichloréthylène-1,1	10	µg/(kg MS)
1362	Bore	1	mg/(kg MS)	1456	Dichloréthylène-1,2 cis	10	µg/(kg MS)
1122	Bromoforme	5	µg/(kg MS)	1727	Dichloréthylène-1,2 trans	10	µg/(kg MS)
1388	Cadmium	0.2	mg/(kg MS)	5349	Diclofenac	20	µg/(kg MS)
1464	Chlorfenvinphos	20	µg/(kg MS)	1172	Dicofol	20	µg/(kg MS)
1134	Chlorméphas	10	µg/(kg MS)	1173	Dieldrine	20	µg/(kg MS)
1955	Chloroalcanes C10-C13	2000	µg/(kg MS)	1814	Di-fluénicanil	10	µg/(kg MS)
1593	Chloroaniline-2	50	µg/(kg MS)	5325	Diisobutyl phtalate	100	µg/(kg MS)
1467	Chlorobenzène	10	µg/(kg MS)	6658	Diisodecyl phtalate	10000	µg/(kg MS)
1135	Chloroforme (Trichlorométhane)	5	µg/(kg MS)	6215	Diisononyl phtalate	5000	µg/(kg MS)
1635	Chlorométhylphénol-2,5	50	µg/(kg MS)	1403	Diméthomorphe	10	µg/(kg MS)
1636	Chlorométhylphénol-4,3	50	µg/(kg MS)	1641	Diméthylphénol-2,4	50	µg/(kg MS)
1469	Chloronitrobenzène-1,2	20	µg/(kg MS)	1578	Dinitrotoluène-2,4	50	µg/(kg MS)
1468	Chloronitrobenzène-1,3	20	µg/(kg MS)	1577	Dinitrotoluène-2,6	50	µg/(kg MS)
1470	Chloronitrobenzène-1,4	20	µg/(kg MS)	7494	Diocyletain cation	102	µg/(kg MS)
1471	Chlorophénol-2	50	µg/(kg MS)	7495	Diphenyletain cation	11.5	µg/(kg MS)
1651	Chlorophénol-3	50	µg/(kg MS)	1178	Endosulfan alpha	20	µg/(kg MS)
1650	Chlorophénol-4	50	µg/(kg MS)	1179	Endosulfan beta	20	µg/(kg MS)
2065	Chloropropène-3	5	µg/(kg MS)	1742	Endosulfan sulfate	20	µg/(kg MS)
2611	Chloroprène	20	µg/(kg MS)	1181	Endrine	20	µg/(kg MS)
1602	Chlorotoluène-2	5	µg/(kg MS)	1744	Epoxiconazole	10	µg/(kg MS)
1601	Chlorotoluène-3	5	µg/(kg MS)	5397	Estradiol	20	µg/(kg MS)
1600	Chlorotoluène-4	5	µg/(kg MS)	1380	Etain	0.2	mg/(kg MS)
1474	Chloroprophame	4	µg/(kg MS)	1497	Ethylbenzène	5	µg/(kg MS)
1540	Chlorpyriphos méthyl	20	µg/(kg MS)	2629	Ethynyl estradiol	20	µg/(kg MS)
1083	Chlorpyriphos éthyl	10	µg/(kg MS)	1393	Fer	5	mg/(kg MS)
				2022	Fludioxonil	4	µg/(kg MS)

1191	Fluoranthène	10	µg/(kg MS)
1623	Fluorène	10	µg/(kg MS)
2547	Fluroxypr-meptyl	20	µg/(kg MS)
1194	Flusilazole	20	µg/(kg MS)
1187	Fénitrothion	10	µg/(kg MS)
6618	Galaxolide	100	µg/(kg MS)
1200	HCH alpha	10	µg/(kg MS)
1201	HCH beta	10	µg/(kg MS)
1202	HCH delta	10	µg/(kg MS)
2046	HCH epsilon	10	µg/(kg MS)
1203	HCH gamma	10	µg/(kg MS)
1197	Heptachlore	10	µg/(kg MS)
1748	Heptachlore époxyde cis	10	µg/(kg MS)
1749	Heptachlore époxyde trans	10	µg/(kg MS)
1199	Hexachlorobenzène	10	µg/(kg MS)
1652	Hexachlorobutadiène	10	µg/(kg MS)
1656	Hexachloroéthane	1	µg/(kg MS)
1405	Hexaconazole	10	µg/(kg MS)
1204	Indéno (123c) Pyrène	10	µg/(kg MS)
1206	Iprodione	10	µg/(kg MS)
7129	Irganox 1076	20	µg/(kg MS)
1935	Irgarol (Cybutryne)	10	µg/(kg MS)
1207	Isodrine	4	µg/(kg MS)
1633	Isopropylbenzène	5	µg/(kg MS)
1950	Kresoxim méthyl	10	µg/(kg MS)
1094	Lambda Cyhalothrine	10	µg/(kg MS)
1364	Lithium	1	mg/(kg MS)
1394	Manganèse	0.4	mg/(kg MS)
1387	Mercuré	0.01	mg/(kg MS)
6664	Methyl triclosan	20	µg/(kg MS)
1395	Molybdène	0.2	mg/(kg MS)
2542	Monobutyletain cation	75	µg/(kg MS)
7496	Monocytyletain cation	40	µg/(kg MS)
7497	Monophenyletain cation	41.5	µg/(kg MS)
1619	Méthyl-2-Fluoranthène	10	µg/(kg MS)
1618	Méthyl-2-Naphtalène	10	µg/(kg MS)
1517	Naphtalène	25	µg/(kg MS)
1519	Napropamide	10	µg/(kg MS)
1386	Nickel	0.2	mg/(kg MS)
1637	Nitrophénol-2	50	µg/(kg MS)
6598	Nonylphénols linéaire ou ramifiés	40	µg/(kg MS)
1669	Norflurazon	4	µg/(kg MS)
2609	Octabromodiphénylether	10	µg/(kg MS)
6686	Octocrylene	100	µg/(kg MS)
1667	Oxadiazon	10	µg/(kg MS)
1952	Oxyfluorène	10	µg/(kg MS)
1242	PCB 101	1	µg/(kg MS)
1627	PCB 105	1	µg/(kg MS)
5433	PCB 114	1	µg/(kg MS)
1243	PCB 118	1	µg/(kg MS)
5434	PCB 123	1	µg/(kg MS)
1089	PCB 126	1	µg/(kg MS)
1244	PCB 138	1	µg/(kg MS)
1885	PCB 149	1	µg/(kg MS)
1245	PCB 153	1	µg/(kg MS)
2032	PCB 156	1	µg/(kg MS)
5435	PCB 157	1	µg/(kg MS)
5436	PCB 167	1	µg/(kg MS)
1090	PCB 169	1	µg/(kg MS)
1626	PCB 170	1	µg/(kg MS)
1246	PCB 180	1	µg/(kg MS)
5437	PCB 189	1	µg/(kg MS)
1625	PCB 194	1	µg/(kg MS)
1624	PCB 209	1	µg/(kg MS)
1239	PCB 28	1	µg/(kg MS)
1886	PCB 31	1	µg/(kg MS)
1240	PCB 35	1	µg/(kg MS)
1628	PCB 44	1	µg/(kg MS)
1241	PCB 52	1	µg/(kg MS)
1091	PCB 77	1	µg/(kg MS)
5432	PCB 81	1	µg/(kg MS)
1232	Parathion éthyl	20	µg/(kg MS)
1234	Pendiméthaline	10	µg/(kg MS)
1888	Pentachlorobenzène	5	µg/(kg MS)
1235	Pentachlorophénol	50	µg/(kg MS)
1523	Perméthrine	5	µg/(kg MS)
1524	Phénanthrène	10	µg/(kg MS)
1382	Plomb	0.2	mg/(kg MS)
1664	Procyimidone	10	µg/(kg MS)
1414	Propylamide	10	µg/(kg MS)

1537	Pyrène	10	µg/(kg MS)
2028	Quinoxifène	10	µg/(kg MS)
7128	Somme de 3 Hexabromocyclododecanes	10	µg/(kg MS)
1662	Sulcotrione	10	µg/(kg MS)
6561	Sulfonate de perfluorooctane	5	µg/(kg MS)
1385	Sélénium	0.2	mg/(kg MS)
2559	Tellure	0.2	mg/(kg MS)
1268	Terbutylazine	10	µg/(kg MS)
1269	Terbutryne	4	µg/(kg MS)
1936	Tetrabutyletain	15	µg/(kg MS)
5921	Tetramethrin	10	µg/(kg MS)
2555	Thallium	0.2	mg/(kg MS)
1373	Titane	1	mg/(kg MS)
1278	Toluène	5	µg/(kg MS)
2879	Tributyletain cation	25	µg/(kg MS)
1847	Tributylphosphate	4	µg/(kg MS)
1288	Trichlopyr	10	µg/(kg MS)
2732	Trichloroaniline-2,4,5	50	µg/(kg MS)
1595	Trichloroaniline-2,4,6	50	µg/(kg MS)
1630	Trichlorobenzène-1,2,3	10	µg/(kg MS)
1283	Trichlorobenzène-1,2,4	10	µg/(kg MS)
1629	Trichlorobenzène-1,3,5	10	µg/(kg MS)
1195	Trichlorofluorométhane	1	µg/(kg MS)
1644	Trichlorophénol-2,3,4	50	µg/(kg MS)
1643	Trichlorophénol-2,3,5	50	µg/(kg MS)
1642	Trichlorophénol-2,3,6	50	µg/(kg MS)
1548	Trichlorophénol-2,4,5	50	µg/(kg MS)
1549	Trichlorophénol-2,4,6	50	µg/(kg MS)
1723	Trichlorophénol-3,4,5	50	µg/(kg MS)
6506	Trichlorotrifluoroéthane	5	µg/(kg MS)
1284	Trichloréthane-1,1,1	5	µg/(kg MS)
1285	Trichloréthane-1,1,2	5	µg/(kg MS)
1286	Trichloréthylène	5	µg/(kg MS)
6989	Triclocarban	20	µg/(kg MS)
2885	Tricyclohexyletain cation	15	µg/(kg MS)
1289	Trifluraline	10	µg/(kg MS)
2736	Trinitrotoluène	20	µg/(kg MS)
2886	Triocytyletain cation	100	µg/(kg MS)
6372	Triphenyletain cation	15	µg/(kg MS)
1694	Tébuconazole	10	µg/(kg MS)
1661	Tébutame	4	µg/(kg MS)
2010	Tétrachlorobenzène-1,2,3,4	10	µg/(kg MS)
2536	Tétrachlorobenzène-1,2,3,5	10	µg/(kg MS)
1631	Tétrachlorobenzène-1,2,4,5	10	µg/(kg MS)
1273	Tétrachlorophénol-2,3,4,5	50	µg/(kg MS)
1274	Tétrachlorophénol-2,3,4,6	50	µg/(kg MS)
1275	Tétrachlorophénol-2,3,5,6	50	µg/(kg MS)
1276	Tétrachlorure de C	5	µg/(kg MS)
1270	Tétrachloréthane-1,1,1,2	5	µg/(kg MS)
1271	Tétrachloréthane-1,1,2,2	10	µg/(kg MS)
1272	Tétrachloréthylène	5	µg/(kg MS)
1660	Tétraconazole	10	µg/(kg MS)
1361	Uranium	0.2	mg/(kg MS)
1384	Vanadium	0.2	mg/(kg MS)
1293	Xylène-meta	2	µg/(kg MS)
1292	Xylène-ortho	2	µg/(kg MS)
1294	Xylène-para	2	µg/(kg MS)
1383	Zinc	0.4	mg/(kg MS)
6651	alpha-Hexabromocyclododecane	10	µg/(kg MS)
6652	beta-Hexabromocyclododecane	10	µg/(kg MS)
6653	gamma-Hexabromocyclododecane	10	µg/(kg MS)
1462	n-Butyl Phtalate	100	µg/(kg MS)
1920	p-(n-octyl)phénol	40	µg/(kg MS)





**Annexe 3.      COMPTES RENDUS DES CAMPAGNES  
PHYSICO-CHIMIQUES ET PHYTOPLANCTONIQUES**

## Relevé phytoplanctonique et physico-chimique en plan d'eau

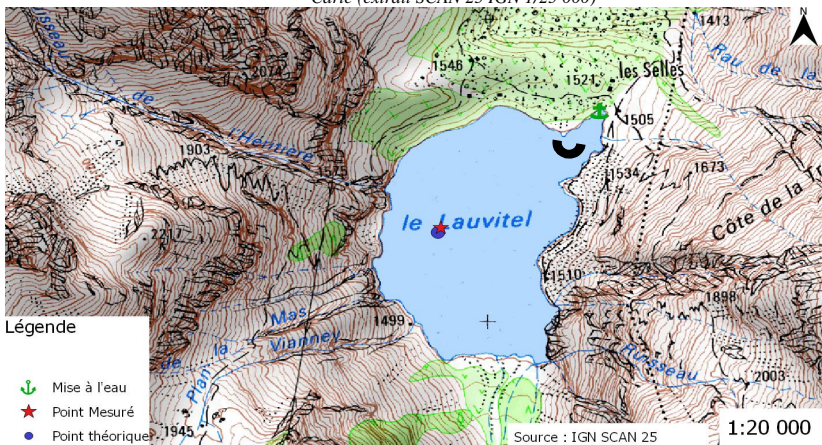
### DONNEES GENERALES PLAN D'EAU

Plan d'eau : **Lauvitel** Date : 24/05/2018  
 Types (naturel, artificiel ...) : Naturel Code lac : W2735023  
 Organisme / opérateur : STE : Audrey Péricat & Pierrick Farastier Campagne : 1  
 Organisme demandeur : Agence de l'Eau RMC Marché n° : 160000036

### LOCALISATION PLAN D'EAU

Commune : Le Bourg-d'Oisans (38) Type : N2  
 Lac marnant : oui lacs naturels de haute montagne à berges dénudés  
 Temps de séjourn : > 30 jours  
 Superficie du plan d'eau : 37 ha  
 Profondeur maximale : 68 m

Carte (extraît SCAN 25 IGN 1/25 000)



Légende  
 ↓ Mise à l'eau  
 ★ Point Mesuré  
 ● Point théorique

★ Localisation du point de prélèvements

☺ Angle de la prise de vue de la photographie

### STATION

Photo du site :



## Relevé phytoplanctonique et physico-chimique en plan d'eau

### DONNEES GENERALES PLAN D'EAU

Plan d'eau : **Lauvitel** Date : 24/05/18  
 Types (naturel, artificiel ...) : Naturel Code lac : W2735023  
 Organisme / opérateur : STE : Audrey Péricat & Pierrick Farastier Campagne : 1  
 Organisme demandeur : Agence de l'Eau RMC Marché n° : 160000036

### STATION

Coordonnée de la station :  Système de Géolocalisation Portable  Carte IGN

Lambert 93 : X : 941419 Y : 6434759 alt. : 1495 m

WGS 84 (systinternatinal GPS) : 6°03'46.2 E 44°58'11.7 N

Côte échelle : 1494 m

Profondeur : 53 m

Météo :  
 1- temps sec ensoleillé  5- orage-pluie forte  
 2- faiblement nuageux  6- neige  
 3- temps humide  7- gel  
 4- pluie fine  8- fortement nuageux

P atm. : 852 hPa

Conditions d'observation :  
 Vent :  0- nul  2- moyen  4- brise  
 1- faible  3- fort  5- brise modéré

Surface de l'eau :  1- lisse  3- agitée  
 2- faiblement agitée  4- très agitée

Hauteur de vagues : 0.02 m Bloom algal : NON

Marnage :  oui  non Hauteur de bande : 1 m

Campagne	1	campagne de fin d'hiver : homothermie du plan d'eau avant démarrage de l'activité biologique
----------	---	--

### REMARQUES ET OBSERVATIONS

Contact préalable :  
 Parc National des Ecrins - secteur Oisans  
 Autorisation de travail en Parc National

Remarques et observation :  
 Marche d'approche 1h30 depuis le hameau de la Danchère sur Venosc  
 Utilisation de la barque du PN sur place  
 La dernière plaque de glace sur le lac a fondu en début de semaine 21.  
 Le lac atteint presque à sa cote normale

## Relevé phytoplanctonique et physico-chimique en plan d'eau

### DONNEES GENERALES PLAN D'EAU

**Plan d'eau :** Lauvítel **Date :** 24/05/18  
**Types (naturel, artificiel ...) :** Naturel **Code lac :** W2735023  
**Organisme / opérateur :** STE : Audrey Péricat & Pierrick Farastier **Campagne :** 1  
**Organisme demandeur :** Agence de l'Eau RMC **Marché n° :** 160000036

### PRELEVEMENTS ZONE EUPHOTIQUE

Heure début de relevé : 13:30      Heure fin de relevé :

#### Prélèvement pour analyses physico-chimiques et phytoplancton

**Heure début de relevé :** 13:30  
**Profondeur :** 0 à 18.3 m  
**Volume prélevé :** 10 L      Nbre de prélèvement : 6  
**Matériel employé :** 20 m tuyau intégrateur

**Chlorophylle**      OUI      Volume filtré sur place : 1000 ml

**Phytoplancton**      OUI      Ajout de lugol : 5 ml

#### Prélèvement pour analyses micropolluants

OUI

**Heure début de relevé :** 14:30  
**Profondeur :** 18.3m  
**Espacement plvt :** 1.5m  
**Volume prélevé :** 13.1      Nbre de prélèvement : 13  
**Matériel employé :** Bouteille téflon 1L

### PRELEVEMENTS DE FOND

Heure début de relevé : 13:00      Heure fin de relevé :

#### Prélèvement pour analyses physico-chimiques

OUI

**Heure début de relevé :** 13:00  
**Profondeur :** 52 m  
**Volume prélevé :** 18 L      Nbre de prélèvement : 18  
**Matériel employé :** Bouteille téflon 1 L

#### Prélèvement pour analyses micropolluants

NON

### REMISE DES ECHANTILLONS

**Code prélèvement zone euphotique :** 398846      **Bon de transport :** 6931011003421371  
**Code prélèvement de fond :** 398878      **Bon de transport :** 6931011003421360

**TNT**       **Chrono**       **CARSO**       **Ville :** Chambéry  
**Dépôt :**      **Date :** 24/05/18      **Heure :** 19:00  
**Réception au laboratoire le :** 25/05/18

## Relevé phytoplanctonique et physico-chimique en plan d'eau

### DONNEES PHYSICO-CHIMIQUES

**Plan d'eau :** Lauvítel **Date :** 24/05/18  
**Types (naturel, artificiel ...) :** Naturel **Code lac :** W2735023  
**Organisme / opérateur :** STE : Audrey Péricat & Pierrick Farastier **Campagne :** 1  
**Organisme demandeur :** Agence de l'Eau RMC **Marché n° :** 160000036

### TRANSPARENCE

**Disque de Secchi =** 7.3 m      **Zone euphotique (x 2,5 secchi) =** 18.3 m

### PROFIL VERTICAL

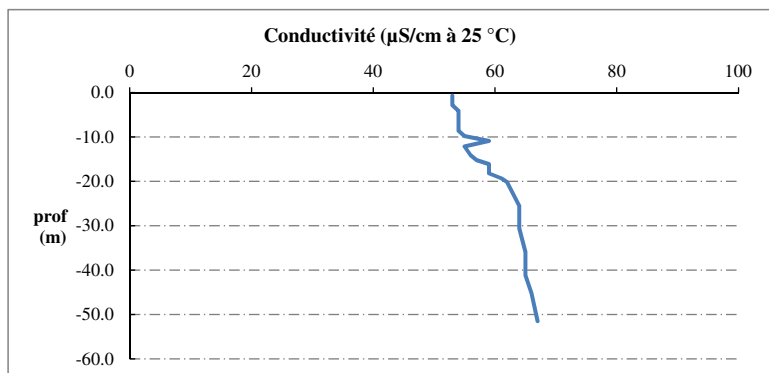
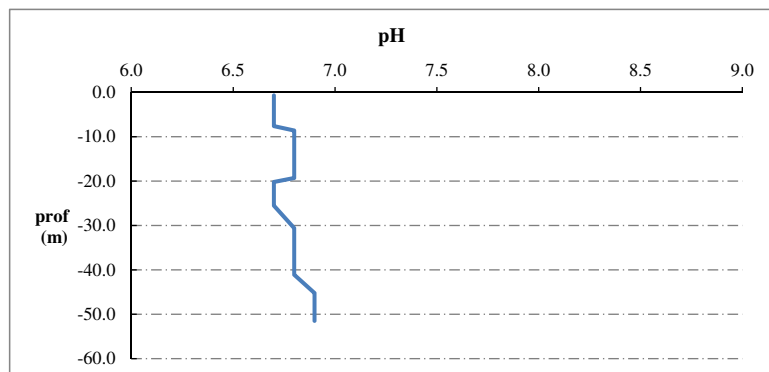
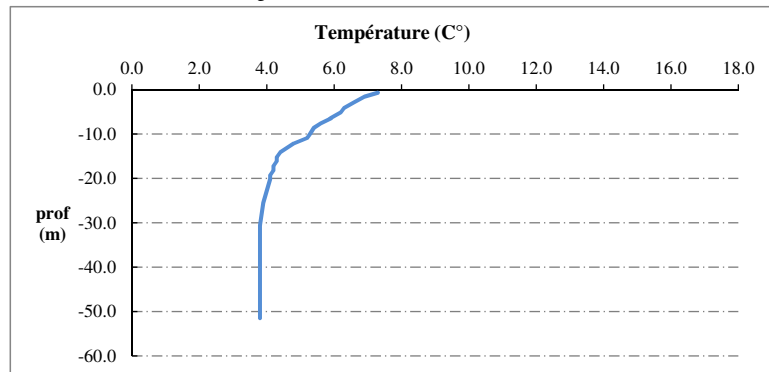
Moyen de mesure utilisé :  in situ à chaque profondeur       en surface dans un récipient

Prof. plvt Phy-chi	Prof. (m)	Temp (°C)	pH	Cond. (µS/cm 25°)	O2 (%)	O2 (mg/l)	Matières organiques dissoutes ppb	Heure
Pvlt zone euphotique	-0.7	7.3	6.7	53	95	9.5	0.5	13:30
	-1.6	6.9	6.7	53	94	9.6	0.7	
	-2.8	6.6	6.7	53	93	9.6	0.8	
	-4.1	6.3	6.7	54	93	9.6	0.8	
	-5.1	6.2	6.7	54	93	9.6	0.9	
	-6.4	5.9	6.7	54	92	9.6	1.0	
	-6.5	5.9	6.7	54	92	9.6	1.0	
	-7.6	5.6	6.7	54	91	9.6	1.1	
	-8.6	5.4	6.8	54	91	9.6	1.1	
	-9.8	5.3	6.8	55	90	9.5	1.2	
	-10.9	5.2	6.8	59	90	9.6	1.2	
	-12.1	4.8	6.8	55	89	9.6	1.2	
	-14.1	4.4	6.8	56	88	9.6	1.2	
	-15.2	4.3	6.8	57	87	9.5	1.3	
	-16.1	4.3	6.8	59	86	9.4	1.3	
	-17.2	4.2	6.8	59	85	9.3	1.3	
	-18.2	4.2	6.8	59	85	9.3	1.3	
	Pvlt fond	-19.3	4.1	6.8	61	84	9.2	1.3
-20.2		4.1	6.7	62	81	8.9	1.3	
-25.5		3.9	6.7	64	80	8.8	1.4	
-30.6		3.8	6.8	64	77	8.5	1.4	
-35.9		3.8	6.8	65	77	8.4	1.4	
-41.1		3.8	6.8	65	76	8.3	1.4	
-45.2		3.8	6.9	66	75	8.3	1.4	
-51.5		3.8	6.9	67	74	8.2	1.4	13:00

## Relevé phytoplanctonique et physico-chimique en plan d'eau

### DONNEES PHYSICO-CHIMIQUES / GRAPHIQUE

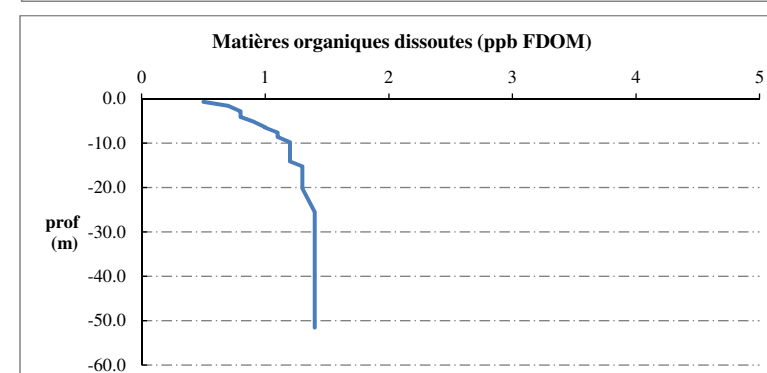
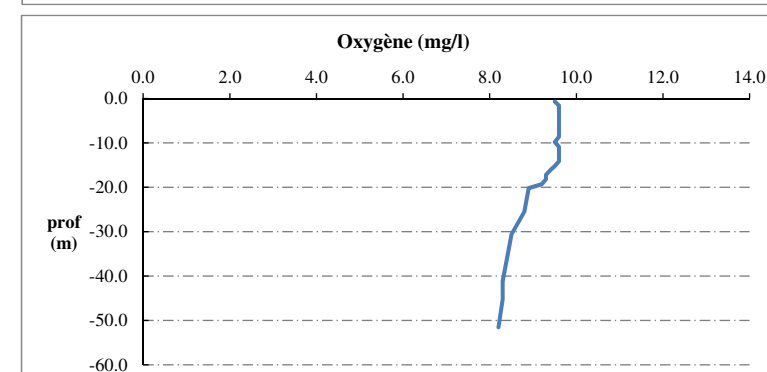
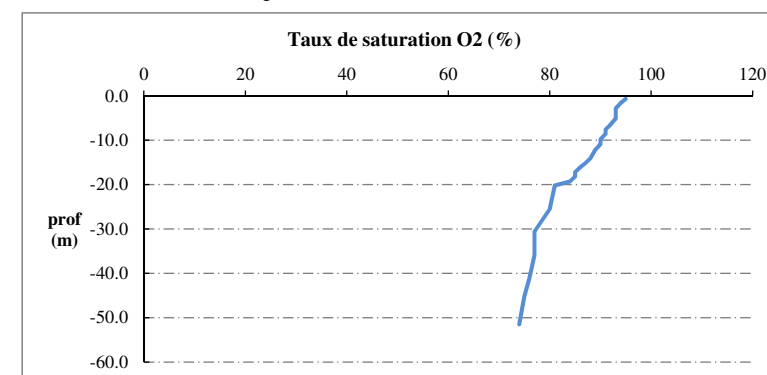
Plan d'eau : **Lauvitel** Date : 24/05/18  
 Types (naturel, artificiel ...) : Naturel Code lac : W2735023  
 Organisme / opérateur : STE : Audrey Péricat & Pierrick Farastier Campagne : 1  
 Organisme demandeur : Agence de l'Eau RMC Marché n° : 160000036



## Relevé phytoplanctonique et physico-chimique en plan d'eau

### DONNEES PHYSICO-CHIMIQUES / GRAPHIQUE

Plan d'eau : **Lauvitel** Date : 24/05/18  
 Types (naturel, artificiel ...) : Naturel Code lac : W2735023  
 Organisme / opérateur : STE : Audrey Péricat & Pierrick Farastier Campagne : 1  
 Organisme demandeur : Agence de l'Eau RMC Marché n° : 160000036



## Relevé phytoplanctonique et physico-chimique en plan d'eau

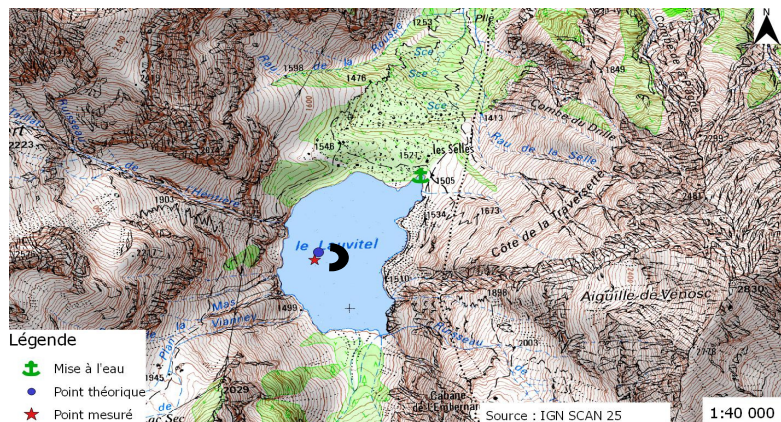
### DONNEES GENERALES PLAN D'EAU

Plan d'eau : **Lauvitel** Date : 28/06/2018  
 Types (naturel, artificiel ...) : Naturel Code lac : W2735023  
 Organisme / opérateur : STE : Audrey Pericat & Adrien Bonnefoy Campagne : 2  
 Organisme demandeur : Agence de l'Eau RMC Marché n° : 160000036

### LOCALISATION PLAN D'EAU

Commune : Le Bourg-d'Oisans (38) Type : N2  
 Lac marnant : oui lacs naturels de haute montagne à berges dénudés  
 Temps de séjour : >30 jours  
 Superficie du plan d'eau : 37 ha  
 Profondeur maximale : 68 m

Carte (extraît SCAN 25 IGN 1/25 000)



★ Localisation du point de prélèvements

☺ Angle de la prise de vue de la photographie

### STATION

Photo du site :



## Relevé phytoplanctonique et physico-chimique en plan d'eau

### DONNEES GENERALES PLAN D'EAU

Plan d'eau : **Lauvitel** Date : 28/06/18  
 Types (naturel, artificiel ...) : Naturel Code lac : W2735023  
 Organisme / opérateur : STE : Audrey Pericat & Adrien Bonnefoy Campagne : 2  
 Organisme demandeur : Agence de l'Eau RMC Marché n° : 160000036

### STATION

Coordonnée de la station :  Système de Géolocalisation Portable  Carte IGN

Lambert 93 : X : 941393 Y : 6434702 alt. : 1495 m

WGS 84 (systinternat GPS) : 6°03'45.0 E 44°58'09.8 N

Côte échelle : 1504 m

Profondeur : 63 m

Météo :  1- temps sec ensoleillé  2- faiblement nuageux  3- temps humide  4- pluie fine  5- orage-pluie forte  6- neige  7- gel  8- fortement nuageux

P atm. : 852 hPa

Vent :  0- nul  1- faible  2- moyen  3- fort  4- brise  5- brise modéré

Conditions d'observation :

Surface de l'eau :  1- lisse  2- faiblement agitée  3- agitée  4- très agitée

Hauteur de vagues : 0 m

Bloom algal : NON

Marnage : positif  oui  non

Hauteur de bande : 9 m

Campagne	2	campagne printanière de croissance du phytoplancton : mise en place de la thermocline
----------	---	---

### REMARQUES ET OBSERVATIONS

#### Contact préalable :

Parc National des Ecrins - secteur Oisans  
 Autorisation de travail en Parc National

#### Remarques et observation :

Marche d'approche 1h30 depuis le hameau de la Danchère sur Venosc  
 Utilisation de la barque du PN sur place

Le lac est très haut, la plage côté les Selles est inondée. Le lac est à plus 9 m par rapport à sa cote normale  
 Période très chaude depuis 1 semaine entrainant le réchauffement de la couche de surface

## Relevé phytoplanctonique et physico-chimique en plan d'eau

### DONNEES GENERALES PLAN D'EAU

Plan d'eau : **Lauvitel** Date : 28/06/18  
 Types (naturel, artificiel ...) : Naturel Code lac : W2735023  
 Organisme / opérateur : STE : Audrey Pericat & Adrien Bonnefoy Campagne : 2  
 Organisme demandeur : Agence de l'Eau RMC Marché n° : 160000036

### PRELEVEMENTS ZONE EUPHOTIQUE

Heure début de relevé : 13:30 Heure fin de relevé :

#### Prélèvement pour analyses physico-chimiques et phytoplancton

Heure début de relevé : 13:30  
 Profondeur : 0 à 23 m  
 Volume prélevé : 8 L Nbre de prélèvement : 3  
 Matériel employé : 30 m tuyau integrateur

Chlorophylle : OUI Volume filtré sur place : 1000 ml

Phytoplancton : OUI Ajout de lugol : 5 ml

#### Prélèvement pour analyses micropolluants

OUI

Heure début de relevé : 13:30  
 Profondeur : 0 à 23 m  
 Espacement pvt : 1 prélèvement tous les 2 mètres  
 Volume prélevé : 13 L Nbre de prélèvement : 12  
 Matériel employé : Bouteille téflon 1L

### PRELEVEMENTS DE FOND

Heure début de relevé : 13:00 Heure fin de relevé :

#### Prélèvement pour analyses physico-chimiques

OUI

Heure début de relevé : 13:00  
 Profondeur : 60 m  
 Volume prélevé : 4 L Nbre de prélèvement : 4  
 Matériel employé : Bouteille téflon 1 L

#### Prélèvement pour analyses micropolluants

NON

### REMISE DES ECHANTILLONS

Code prélèvement zone euphotique : 398847 Bon de transport : 693101003427221  
 Code prélèvement de fond : 398879 Bon de transport : 6931011003586810

TNT  Chrono  CARSO  Ville : La Motte Servolex  
 Dépôt : Date : 28/06/18 Heure : 18h30  
 Réception au laboratoire le : 29/06/18

## Relevé phytoplanctonique et physico-chimique en plan d'eau

### DONNEES PHYSICO-CHIMIQUES

Plan d'eau : **Lauvitel** Date : 28/06/18  
 Types (naturel, artificiel ...) : Naturel Code lac : W2735023  
 Organisme / opérateur : STE : Audrey Pericat & Adrien Bonnefoy Campagne : 2  
 Organisme demandeur : Agence de l'Eau RMC Marché n° : 160000036

### TRANSPARENCE

Disque de Secchi = 9.2 m Zone euphotique (x 2,5 secchi) = 23 m

### PROFIL VERTICAL

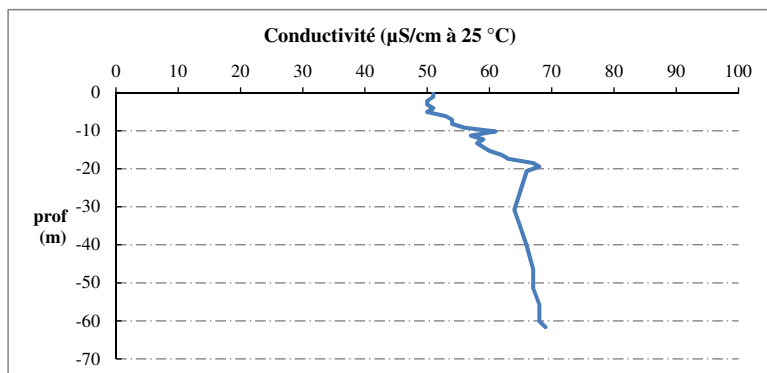
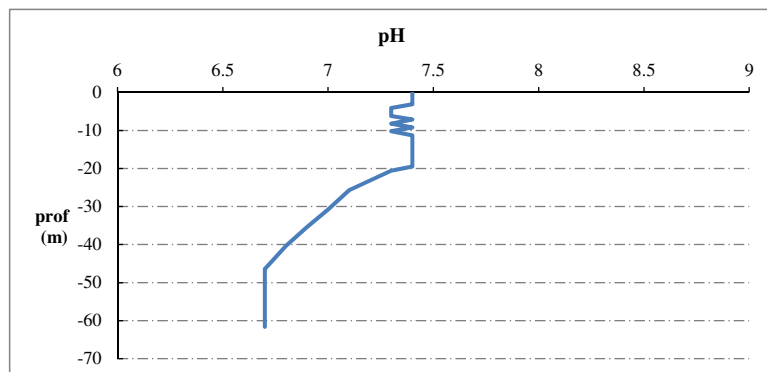
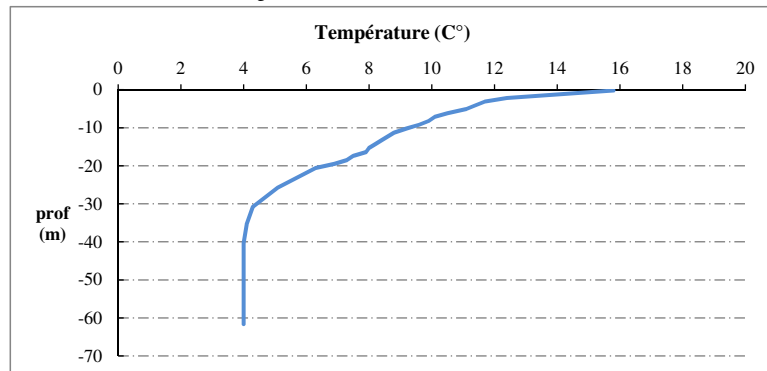
Moyen de mesure utilisé :  in situ à chaque profondeur  en surface dans un récipient

Prof. pvt Phy-chi	Prof. (m)	Temp (°C)	pH	Cond. (µS/cm 25°)	O2 (%)	O2 (mg/l)	Matières organiques dissoutes ppb	Heure
prélèvement zone euphotique	-0.2	15.8	7.4	51	107	8.8	0.7	13:00
	-1.1	14.3	7.4	51	108	9.2	0.8	
	-2.2	12.4	7.4	50	111	9.9	0.8	
	-3.1	11.7	7.4	50	112	10.2	1.0	
	-4.1	11.4	7.3	51	112	10.2	1.1	
	-5.1	11.1	7.3	50	112	10.3	1.1	
	-6.2	10.5	7.3	53	112	10.4	1.2	
	-7.1	10.1	7.4	54	112	10.5	1.1	
	-8.2	9.9	7.3	54	113	10.6	1.2	
	-9.2	9.6	7.4	56	113	10.7	1.2	
	-10.2	9.2	7.3	61	111	10.7	1.4	
	-11.3	8.8	7.4	57	111	10.7	1.1	
	-12.3	8.6	7.4	59	112	10.9	1.2	
	-13.3	8.4	7.4	58	111	10.9	1.2	
	-14.3	8.2	7.4	59	112	11.0	1.2	
	-15.3	8.0	7.4	60	111	10.9	1.2	
	-16.4	7.9	7.4	62	111	10.9	1.3	
	-17.4	7.5	7.4	63	110	11.0	1.3	
	-18.5	7.3	7.4	67	110	11.0	1.3	
	-19.5	6.9	7.4	68	108	11.0	1.3	
-20.6	6.3	7.3	66	106	10.9	1.3		
-25.7	5.1	7.1	65	97	10.3	1.3		
-30.8	4.3	7.0	64	92	10.0	1.4		
-35.4	4.1	6.9	65	85	9.3	1.4		
-40.3	4.0	6.8	66	83	9.1	1.5		
-46.4	4.0	6.7	67	81	8.8	1.5		
-51.4	4.0	6.7	67	80	8.8	1.5		
-55.7	4.0	6.7	68	80	8.7	1.5		
Pvlt fond	-60.1	4.0	6.7	68	78	8.5	1.5	
	-61.6	4.0	6.7	69	75	8.2	1.5	

## Relevé phytoplanktonique et physico-chimique en plan d'eau

### DONNEES PHYSICO-CHIMIQUES / GRAPHIQUE

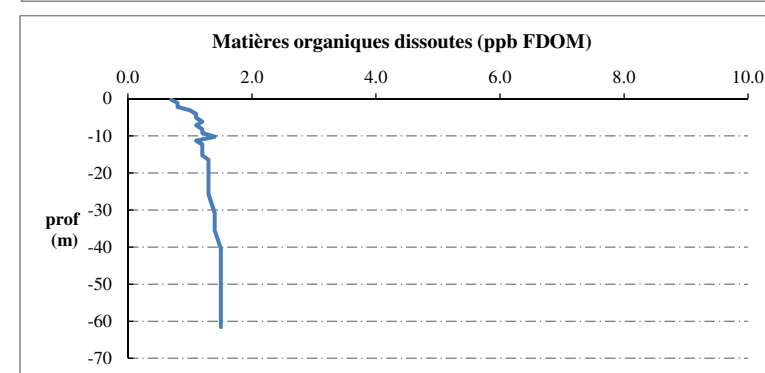
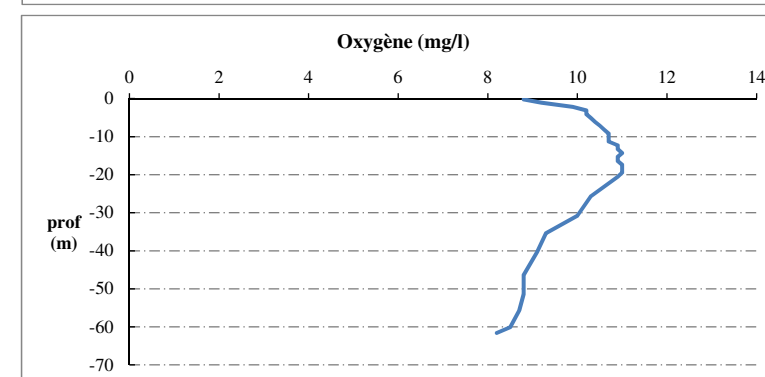
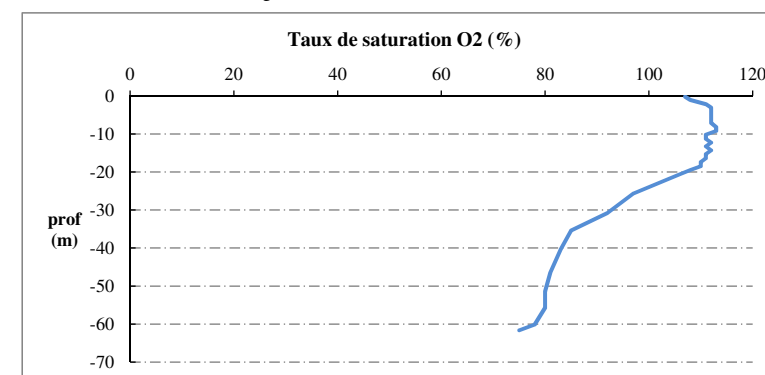
**Plan d'eau :** Lauvitel  
**Types (naturel, artificiel ...) :** Naturel  
**Organisme / opérateur :** STE : Audrey Pericat & Adrien Bonnefoy  
**Organisme demandeur :** Agence de l'Eau RMC  
**Date :** 28/06/18  
**Code lac :** W2735023  
**Campagne :** 2  
**Marché n° :** 160000036



## Relevé phytoplanktonique et physico-chimique en plan d'eau

### DONNEES PHYSICO-CHIMIQUES / GRAPHIQUE

**Plan d'eau :** Lauvitel  
**Types (naturel, artificiel ...) :** Naturel  
**Organisme / opérateur :** STE : Audrey Pericat & Adrien Bonnefoy  
**Organisme demandeur :** Agence de l'Eau RMC  
**Date :** 28/06/18  
**Code lac :** W2735023  
**Campagne :** 2  
**Marché n° :** 160000036





## Relevé phytoplanctonique et physico-chimique en plan d'eau

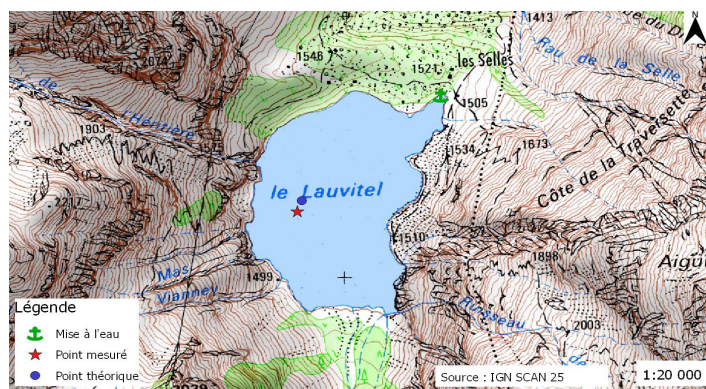
### DONNEES GENERALES PLAN D'EAU

Plan d'eau : **Lauvitel** Date : 16/08/2018  
 Types (naturel, artificiel ...) : Naturel Code lac : W2735023  
 Organisme / opérateur : STE : Lionel Bochu & Pierrick Farastier Campagne : 3  
 Organisme demandeur : Agence de l'Eau RMC Marché n° : 160000036

### LOCALISATION PLAN D'EAU

Commune : Le Bourg-d'Oisans (38) Type : N2  
 Lac marnant : oui lacs naturels de haute montagne à berges dénudés  
 Temps de séjour : >30  
 Superficie du plan d'eau : 37 ha  
 Profondeur maximale : 68 m

Carte (extraît SCAN 25 IGN 1/25 000)



★ Localisation du point de prélèvements

☺ Angle de la prise de vue de la photographie

### STATION

Photo du site :



## Relevé phytoplanctonique et physico-chimique en plan d'eau

### DONNEES GENERALES PLAN D'EAU

Plan d'eau : **Lauvitel** Date : 16/08/18  
 Types (naturel, artificiel ...) : Naturel Code lac : W2735023  
 Organisme / opérateur : STE : Lionel Bochu & Pierrick Farastier Campagne : 3  
 Organisme demandeur : Agence de l'Eau RMC Marché n° : 160000036

### STATION

Coordonnée de la station :  Système de Géolocalisation Portable  Carte IGN  
 Lambert 93 : X : 941396 Y : 6434700 alt. : 1495 m  
 WGS 84 (systinternationnal GPS) : 006°03'45.1"E 44°58'09.8"N  
 Côte échelle : 1492 m  
 Profondeur : 54 m  
 Météo :  1- temps sec ensoleillé  5- orage-pluie forte  
 2- faiblement nuageux  6- neige  
 3- temps humide  7- gel  
 4- pluie fine  8- fortement nuageux  
 P atm. : 851 hPa  
 Conditions d'observation : Vent :  0- nul  2- moyen  4- brise  
 1- faible  3- fort  5- brise modéré  
 Surface de l'eau :  1- lisse  3- agitée  
 2- faiblement agitée  4- très agitée  
 Hauteur de vagues : 0.05 m Bloom algal : NON  
 Marnage :  oui  non Hauteur de bande : 3 m

Campagne	3	campagne estivale : thermocline bien installée, deuxième phase de croissance des phytoplancton
----------	---	--

### REMARQUES ET OBSERVATIONS

#### Contact préalable :

Parc National des Ecrins - secteur Oisans  
 Autorisation de travail en Parc National

#### Remarques et observation :

Profils réalisés à l'aide d'une sonde MS5 et d'une sonde Exo pour les matières organiques.  
 Utilisation d'une embarcation du parc.

## Relevé phytoplanctonique et physico-chimique en plan d'eau

### DONNEES GENERALES PLAN D'EAU

Plan d'eau : **Lauvittel** Date : 16/08/18  
 Types (naturel, artificiel ...) : Naturel Code lac : W2735023  
 Organisme / opérateur : STE : Lionel Bochu & Pierrick Farastier **Campagne : 3**  
 Organisme demandeur : Agence de l'Eau RMC **Marché n° : 160000036**

### PRELEVEMENTS ZONE EUPHOTIQUE

Heure début de relevé : 14:00 Heure fin de relevé : 15:20

#### Prélèvement pour analyses physico-chimiques et phytoplancton

Heure début de relevé : 14:00  
 Profondeur : **0 à 19 m**  
 Volume prélevé : 9 L Nbre de prélèvement : 4  
 Matériel employé : 20 m tuyau integrateur

Chlorophylle **OUI** Volume filtré sur place : **1000 ml**

Phytoplancton Ajout de lugol : **5 ml**

#### Prélèvement pour analyses micropolluants

**OUI**

Heure début de relevé : 14:30  
 Profondeur : **0 à 19 m**  
 Espacement pvt : 1 pvt tous les 2 mètres  
 Volume prélevé : 11 L Nbre de prélèvement : 10  
 Matériel employé : Bouteille téflon 1L

### PRELEVEMENTS DE FOND

Heure début de relevé : 14:10 Heure fin de relevé : 14:30

#### Prélèvement pour analyses physico-chimiques

**OUI**

Heure début de relevé : 14:10  
 Profondeur : **52 m**  
 Volume prélevé : 4 L Nbre de prélèvement : 4  
 Matériel employé : Bouteille téflon 1 L

#### Prélèvement pour analyses micropolluants

**NON**

### REMISE DES ECHANTILLONS

Code prélèvement zone euphotique : **398848** Bon de transport :   
 Code prélèvement de fond : **398880** Bon de transport :

TNT  Chrono  CARSO  Ville : **Vénissieux**  
 Dépôt : Date : **17/08/18** Heure : **10:00**  
 Réception au laboratoire le : **17/08/18**

## Relevé phytoplanctonique et physico-chimique en plan d'eau

### DONNEES PHYSICO-CHIMIQUES

Plan d'eau : **Lauvittel** Date : 16/08/18  
 Types (naturel, artificiel ...) : Naturel Code lac : W2735023  
 Organisme / opérateur : STE : Lionel Bochu & Pierrick Farastier **Campagne : 3**  
 Organisme demandeur : Agence de l'Eau RMC **Marché n° : 160000036**

### TRANSPARENCE

Disque de Secchi = 7.5 m Zone euphotique (x 2,5 secchi) = 18.8 m

### PROFIL VERTICAL

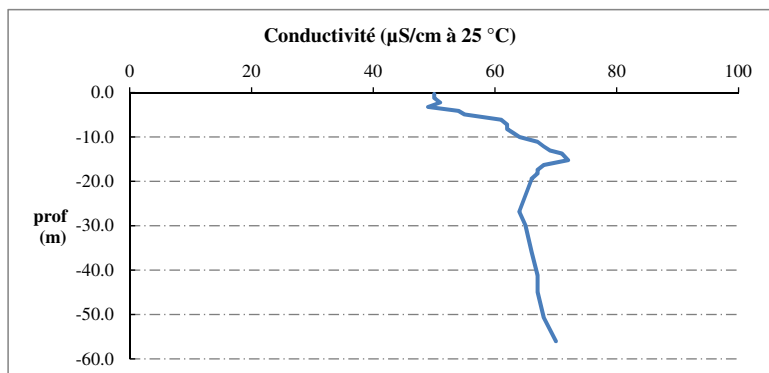
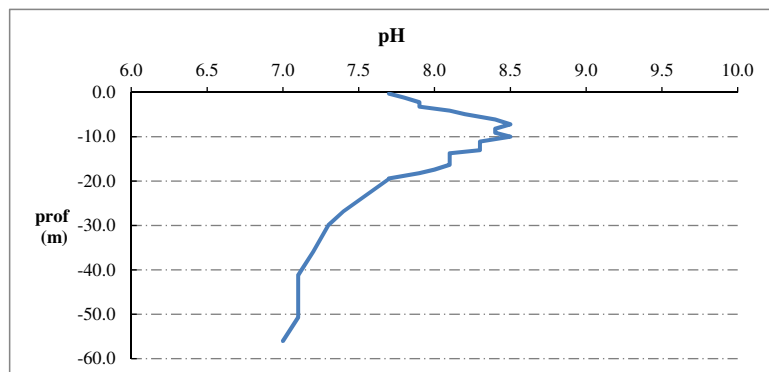
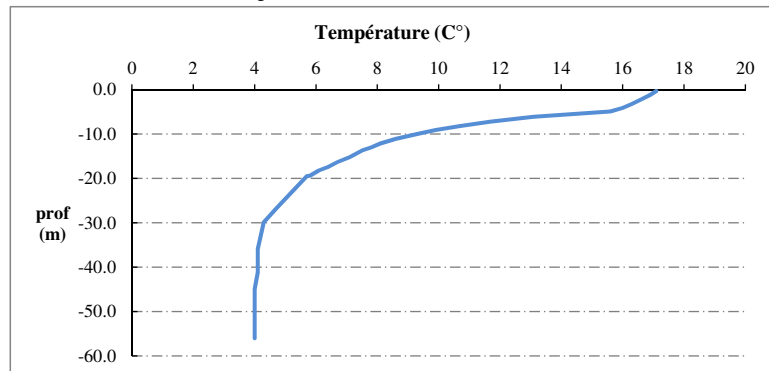
Moyen de mesure utilisé :  in situ à chaque profondeur  en surface dans un récipient

Prof. pvt Phy-chi	Prof. (m)	Temp (°C)	pH	Cond. (µS/cm 25°)	O2 (%)	O2 (mg/l)	Matières organiques dissoutes ppb	Heure
Pvlt de la zone euphotique	-0.3	17.1	7.7	50	101	8.2	0.0	14:00
	-1.2	16.9	7.8	50	100	8.1	0.1	
	-2.2	16.6	7.9	51	102	8.4	0.2	
	-3.2	16.3	7.9	49	103	8.4	0.1	
	-4.1	16.0	8.1	54	108	8.9	0.2	
	-4.9	15.6	8.2	55	108	9.1	0.1	
	-6.1	13.1	8.4	61	117	10.3	0.2	
	-7.2	11.7	8.5	62	118	10.7	0.3	
	-8.2	10.7	8.4	62	116	10.8	0.2	
	-9.1	9.9	8.4	63	114	10.8	0.3	
	-10.0	9.3	8.5	64	114	10.9	0.3	
	-11.1	8.6	8.3	67	111	10.9	0.3	
	-12.1	8.1	8.3	68	109	10.8	0.4	
	-13.0	7.8	8.3	69	108	10.8	0.5	
	-13.7	7.5	8.1	71	107	10.7	0.6	
	-15.2	7.1	8.1	72	106	10.7	0.6	
	-16.3	6.7	8.1	68	104	10.7	0.7	
	-17.4	6.4	8.0	67	103	10.7	0.7	
	-18.2	6.1	7.9	67	101	10.5	0.7	
	-19.4	5.8	7.7	66	100	10.5	0.7	
-19.5	5.7	7.7	66	96	10.1	0.8		
-26.8	4.7	7.4	64	87	9.4	0.8		
-29.9	4.3	7.3	65	80	8.8	0.9		
-35.9	4.1	7.2	66	76	8.4	0.9		
-41.2	4.1	7.1	67	75	8.2	0.9		
-44.9	4.0	7.1	67	74	8.1	1.0		
Pvlt fond	-50.7	4.0	7.1	68	70	7.7	1.1	14:10
	-56.0	4.0	7.0	70	61	6.7	1.1	

## Relevé phytoplanctonique et physico-chimique en plan d'eau

### DONNEES PHYSICO-CHIMIQUES / GRAPHIQUE

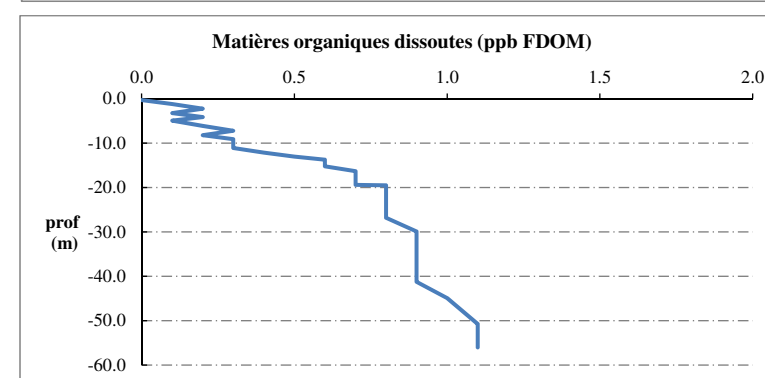
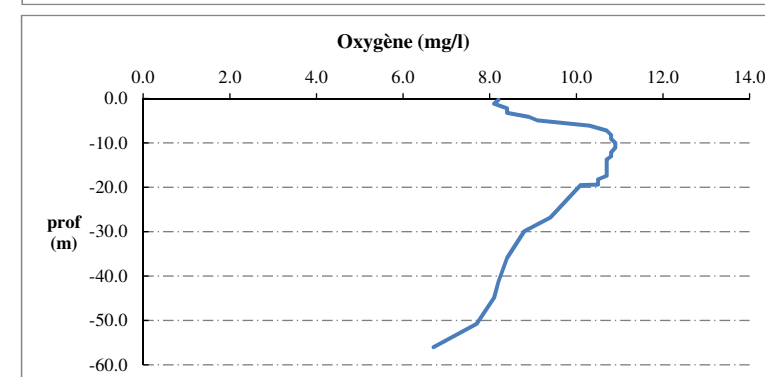
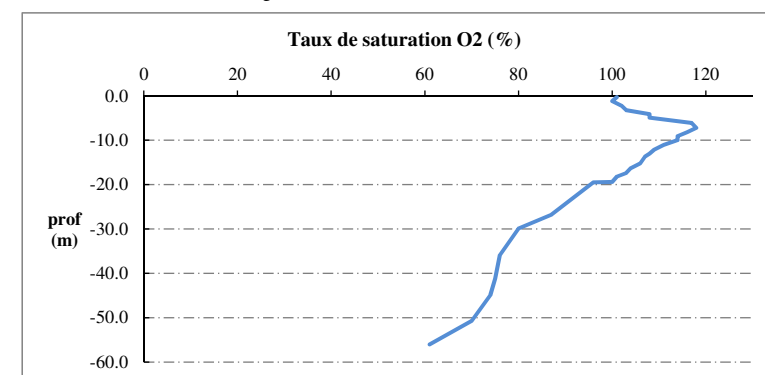
Plan d'eau : **Lauvitel** Date : 16/08/18  
Types (naturel, artificiel ...) : Naturel Code lac : W2735023  
Organisme / opérateur : STE : Lionel Bochu & Pierrick Farastier Campagne : 3  
Organisme demandeur : Agence de l'Eau RMC Marché n° : 160000036



## Relevé phytoplanctonique et physico-chimique en plan d'eau

### DONNEES PHYSICO-CHIMIQUES / GRAPHIQUE

Plan d'eau : **Lauvitel** Date : 16/08/18  
Types (naturel, artificiel ...) : Naturel Code lac : W2735023  
Organisme / opérateur : STE : Lionel Bochu & Pierrick Farastier Campagne : 3  
Organisme demandeur : Agence de l'Eau RMC Marché n° : 160000036



## Relevé phytoplanctonique et physico-chimique en plan d'eau

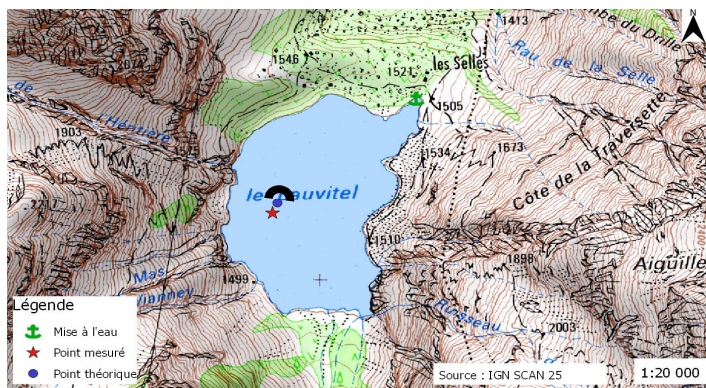
### DONNEES GENERALES PLAN D'EAU

Plan d'eau : **Lauvitel** Date : 04/10/2018  
 Types (naturel, artificiel ...) : Naturel Code lac : W2735023  
 Organisme / opérateur : STE : Lionel Bochu & Aurélien Morin Campagne : 4  
 Organisme demandeur : Agence de l'Eau RMC Marché n° : 160000036

### LOCALISATION PLAN D'EAU

Commune : Le Bourg-d'Oisans (38) Type : N2  
 Lac marnant : oui lacs naturels de haute montagne à berges dénudés  
 Temps de séjour : >30  
 Superficie du plan d'eau : 37 ha  
 Profondeur maximale : 68 m

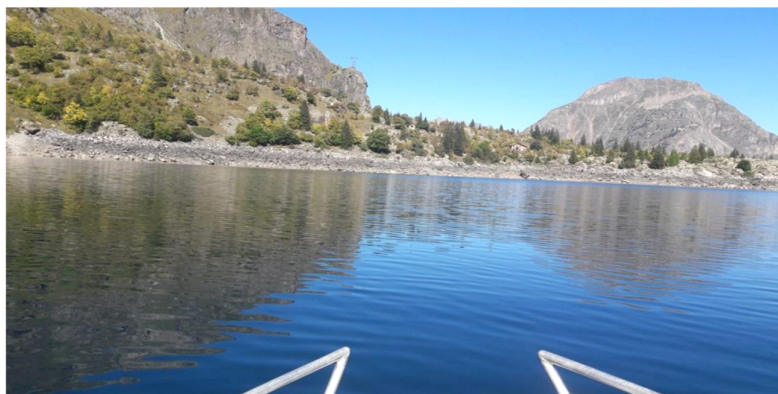
Carte (extrait SCAN 25 IGN 1/25 000)



★ Localisation du point de prélèvements      ◐ Angle de la prise de vue de la photographie

### STATION

Photo du site :



## Relevé phytoplanctonique et physico-chimique en plan d'eau

### DONNEES GENERALES PLAN D'EAU

Plan d'eau : **Lauvitel** Date : 04/10/18  
 Types (naturel, artificiel ...) : Naturel Code lac : W2735023  
 Organisme / opérateur : STE : Lionel Bochu & Aurélien Morin Campagne : 4  
 Organisme demandeur : Agence de l'Eau RMC Marché n° : 160000036

### STATION

Coordonnée de la station :  Système de Géolocalisation Portable  Carte IGN  
 Lambert 93 : X : 941394 Y : 6434704 alt : 1495 m  
 WGS 84 (systinternationnal GPS) : 006°03'45.0"E 44°58'09.9"N  
 Côte échelle : 1489.5 m  
 Profondeur : 51 m  
 Météo :  1- temps sec ensoleillé  5- orage-pluie forte  
 2- faiblement nuageux  6- neige  
 3- temps humide  7- gel  
 4- pluie fine  8- fortement nuageux  
 P atm. : 856 hPa  
 Conditions d'observation : Vent :  nul  2- moyen  4- brise  
 - faible  3- fort  5- brise modéré  
 Surface de l'eau :  1- lisse  3- agitée  
 2- faiblement agitée  4- très agitée  
 Hauteur de vagues : 0 m Bloom algal : NON  
 Marnage :  oui  non Hauteur de bande : 5.5 m

Campagne	4	campagne de fin d'été : fin de stratification avant baisse de la température
----------	---	--

### REMARQUES ET OBSERVATIONS

**Contact préalable :**  
 Parc National des Ecrins - secteur Oisans  
 Autorisation de travail en Parc National

**Remarques et observation :**  
 Très forte transparence : 18 m - la zone euphotique concerne quasiment toute la colonne d'eau : 45 m  
 Adaptation pour le prélèvement intégré : Tuyau intégrateur entre 0 m et 20 m + prélèvements à la bouteille 1L entre 20 et 45 m tous les 5 m.

Pic d'oxygène entre 7 et 15 m

## Relevé phytoplanctonique et physico-chimique en plan d'eau

### DONNEES GENERALES PLAN D'EAU

Plan d'eau : **Lauvitel** Date : 04/10/18  
 Types (naturel, artificiel ...) : Naturel Code lac : W2735023  
 Organisme / opérateur : STE : Lionel Bochu & Aurélien Morin Campagne : 4  
 Organisme demandeur : Agence de l'Eau RMC Marché n° : 160000036

### PRELEVEMENTS ZONE EUPHOTIQUE

Heure début de relevé : 12:50 Heure fin de relevé : 14:30

#### Prélèvement pour analyses physico-chimiques et phytoplancton

Heure début de relevé : 12:50  
 Profondeur : 0 à 45 m  
 Volume prélevé : 8 L Nbre de prélèvement : 2  
 Matériel employé : 20 m tuyau integrateur et bouteille entre 20 et 45 m

Chlorophylle :  OUI Volume filtré sur place :

Phytoplancton :  OUI Ajout de lugol :

#### Prélèvement pour analyses micropolluants

OUI

Heure début de relevé : 13:30  
 Profondeur : 0 à 45 m  
 Espacement plvt : 1 prélèvement tous les 3,5 m  
 Volume prélevé : 12 L Nbre de prélèvement : 12  
 Matériel employé : Bouteille téflon 1L

### PRELEVEMENTS DE FOND

Heure début de relevé : 12:50 Heure fin de relevé : 13:30

#### Prélèvement pour analyses physico-chimiques

OUI

Heure début de relevé : 12:50  
 Profondeur : 48 m  
 Volume prélevé : 5 L Nbre de prélèvement : 5  
 Matériel employé : Bouteille téflon 1 L

#### Prélèvement pour analyses micropolluants

NON

### REMISE DES ECHANTILLONS

Code prélèvement zone euphotique :  Bon de transport :

Code prélèvement de fond :  Bon de transport :

TNT  Chrono  CARSO  Ville :   
 Dépôt : Date :  Heure :   
 Réception au laboratoire le :

## Relevé phytoplanctonique et physico-chimique en plan d'eau

### DONNEES PHYSICO-CHIMIQUES

Plan d'eau : **Lauvitel** Date : 04/10/18  
 Types (naturel, artificiel ...) : Naturel Code lac : W2735023  
 Organisme / opérateur : STE : Lionel Bochu & Aurélien Morin Campagne : 4  
 Organisme demandeur : Agence de l'Eau RMC Marché n° : 160000036

### TRANSPARENCE

Disque de Secchi =  Zone euphotique (x 2,5 secchi) =

### PROFIL VERTICAL

Moyen de mesure utilisé :  in situ à chaque profondeur  en surface dans un récipient

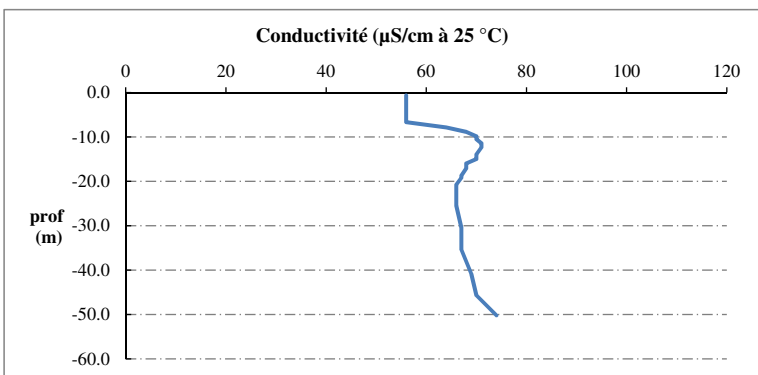
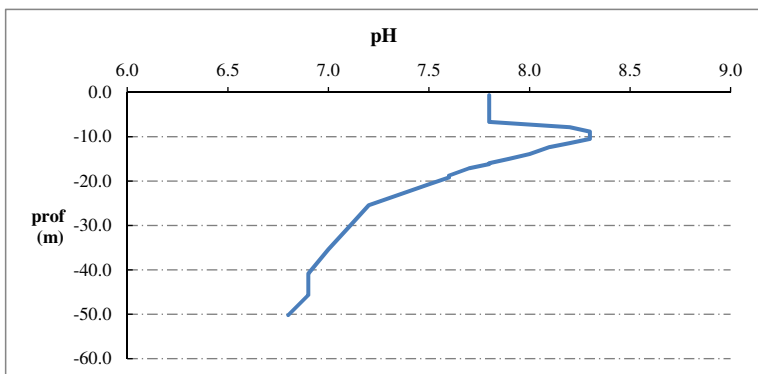
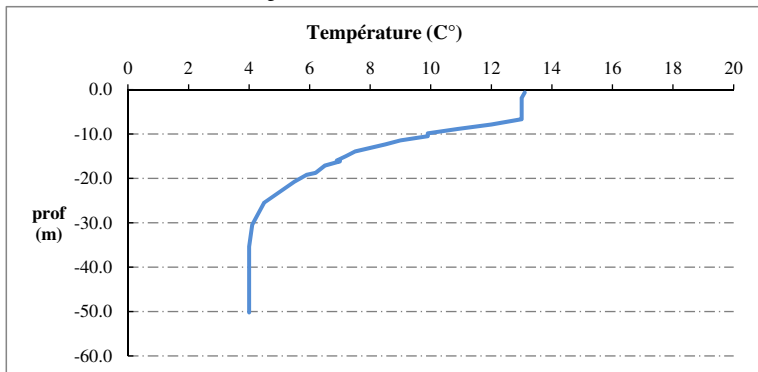
Prof. plvt Phy-chi	Prof. (m)	Temp (°C)	pH	Cond. (µS/cm 25°)	O2 (%)	O2 (mg/l)	Matières organiques dissoutes (ppb)	Heure
Pvlt de la zone euphotique	-0.6	13.1	7.8	56	98	8.7	0.2	12:30
	-1.9	13.0	7.8	56	98	8.7	0.2	
	-3.0	13.0	7.8	56	98	8.7	0.2	
	-4.2	13.0	7.8	56	98	8.7	0.2	
	-5.6	13.0	7.8	56	98	8.7	0.2	
	-6.7	13.0	7.8	56	98	8.7	0.2	
	-7.8	12.0	8.2	64	109	9.9	0.3	
	-8.9	10.9	8.3	68	117	10.9	0.2	
	-9.8	9.9	8.3	70	117	11.1	0.1	
	-10.5	9.9	8.3	70	117	11.1	0.0	
	-11.4	9.0	8.2	71	114	11.1	0.0	
	-12.3	8.5	8.1	71	112	11.0	0.0	
	-13.9	7.5	8.0	70	108	10.9	0.0	
	-15.0	7.2	7.9	70	107	10.9	0.1	
	-16.0	6.9	7.8	68	106	10.9	0.0	
	-16.1	7.0	7.8	68	104	10.6	0.0	
	-17.1	6.5	7.7	68	103	10.7	0.0	
	-18.7	6.2	7.6	67	100	10.4	0.0	
	-19.2	5.9	7.6	67	98	10.3	0.0	
	-20.8	5.5	7.5	66	95	10.1	0.0	
	-25.4	4.5	7.2	66	82	9.0	0.0	
	-30.4	4.1	7.1	67	76	8.4	0.1	
	-35.4	4.0	7.0	67	74	8.1	0.2	
	-40.9	4.0	6.9	69	70	7.8	0.3	
-45.7	4.0	6.9	70	61	6.8	0.3		
Pvlt fond	50.2	4.0	6.8	74	59	6.5	0.3	

## Relevé phytoplanctonique et physico-chimique en plan d'eau

### DONNEES PHYSICO-CHIMIQUES / GRAPHIQUE

**Plan d'eau :** Lauvitel  
**Types (naturel, artificiel ...) :** Naturel  
**Organisme / opérateur :** STE : Lionel Bochu & Aurélien Morin  
**Organisme demandeur :** Agence de l'Eau RMC

**Date :** 04/10/18  
**Code lac :** W2735023  
**Campagne :** 4  
**Marché n° :** 160000036

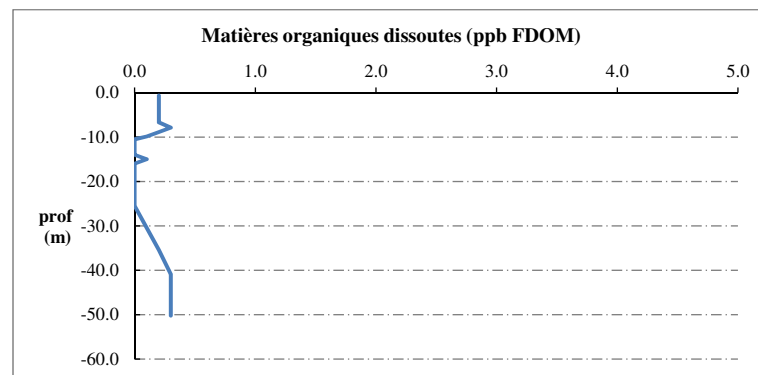
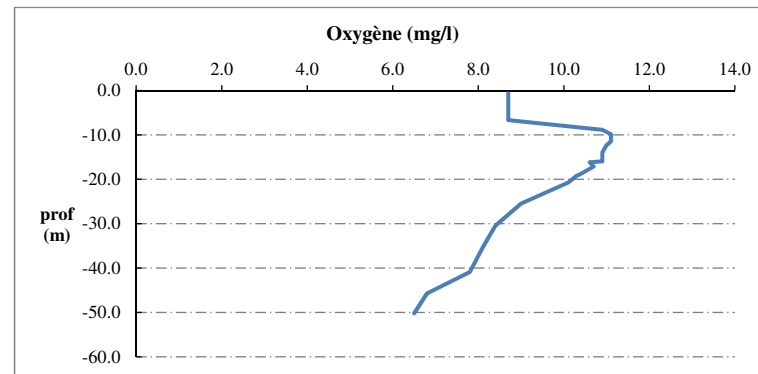
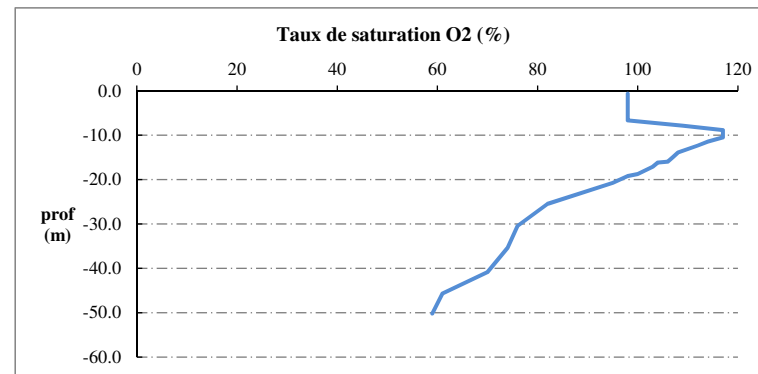


## Relevé phytoplanctonique et physico-chimique en plan d'eau

### DONNEES PHYSICO-CHIMIQUES / GRAPHIQUE

**Plan d'eau :** Lauvitel  
**Types (naturel, artificiel ...) :** Naturel  
**Organisme / opérateur :** STE : Lionel Bochu & Aurélien Morin  
**Organisme demandeur :** Agence de l'Eau RMC

**Date :** 04/10/18  
**Code lac :** W2735023  
**Campagne :** 4  
**Marché n° :** 160000036



## Prélèvement de sédiments pour analyses physico-chimiques

**Plan d'eau :** **Lauvitel** **Date :** 04/10/18  
**Types (naturel, artificiel ...) :** Naturel **Code lac :** W2735023  
**Organisme / opérateur :** STE : Lionel Bochu & Aurélien Morin **Campagne :** 4  
**Organisme demandeur :** Agence de l'Eau RMC **Marché n° :** 160000036

### CONDITIONS DU MILIEU

**Météo**  1- temps sec ensoleillé  4- pluie fine  7- gel  
 2- faiblement nuageux  5- orage-pluie forte  8- fortement nuageux  
 3- temps humide  6- neige

**Vent :**  0- nul  2- moyen  4- brise  
 1- faible  3- fort  5- brise modéré

**Surface de l'eau :**  1- lisse  2- faiblement agitée  3- agitée  4- très agitée

**Période estimée favorable à :**

- mort et sédimentation du plancton  
 sédimentation de MES de toute nature



### MATERIEL

benne Ekman  pelle à main  Autre :

### PRELEVEMENTS

Localisation générale de la zone de prélèvement (X, Y Lambert 93)

(correspond au point de plus grande profondeur de C4)

X : 941394 Y : 6434704

Prélèvements	1	2	3	4	5
<b>Profondeur (en m)</b>	51	51	51		
<b>Epaisseur échantillonnée</b>					
récents (< 2cm)	X	X	X		
anciens (> 2cm)					
<b>Granulométrie dominante</b>					
graviers					
sables					
limons	X	X	X		
vases					
argile					
<b>Aspect du sédiments</b>					
homogène	X	X	X		
hétérogène					
couleur	brun	brun	brun		
odeur	NON	NON	NON		
<b>Présence de débris végétaux non décomposés</b>	NON	NON	NON		
<b>Présence d'hydrocarbures</b>	NON	NON	NON		
<b>Présence d'autres débris</b>	NON	NON	NON		

### REMISE DES ECHANTILLONS

Code prélèvement : Bon de transport :

TNT  Chrono  LDA 26  Ville : Valence

Dépôt : Date : 05/10/18 Heure : 10:30

Réception au laboratoire le : 05/10/18

## **Annexe 4. SUIVI PISCICOLE AFB (2017)**

---



**Fiche synthétique  
Etat du peuplement piscicole**

**Protocole CEN 14757**

Plan d'eau : <b>MONTEYNARD</b>	Réseau : <b>DCE Surveillance</b>
Superficie : <b>660 Ha</b>	Zmax : <b>115 m</b>
Date échantillonnage : <b>du 21 au 25/08/17</b>	Opérateur : <b>AFB (USML et SD38)</b>
nb filets benthiques : <b>59 (2655 m2)</b>	nb filets pélagiques : <b>16 (2640 m2)</b>

**Composition et structure du peuplement :**

Espèce code	2009				2017			
	Pourcentages		Rendements de pêche		Pourcentages		Rendements de pêche	
	num %	pond %	num ind./1000m2	pond gr./1000m2	num %	pond %	num ind./1000m2	pond gr./1000m2
ABL	14,63	4,78	23,6	416,5	11,83	2,52	21,2	344,7
BAF	0,56	10,72	0,9	934,7	0,32	5,60	0,6	764,1
BRB	1,41	4,09	2,3	356,8	0,63	2,21	1,1	301,4
BRE	0,84	4,73	1,4	412,5	1,06	2,15	1,9	293,5
BRO	0,28	4,53	0,5	395,0	0,32	4,59	0,6	626,1
CHA	0,19	0,01	0,3	1,2	0,32	0,01	0,6	1,9
CHE	2,53	42,85	4,1	3735,9	1,48	19,43	2,6	2652,7
CMI					0,11	9,57	0,2	1306,9
GAR	60,04	17,37	96,7	1514,1	42,24	11,59	75,5	1581,7
GOU	1,13	0,28	1,8	24,2				
GRE	9,66	1,54	15,6	134,4	6,12	0,55	11,0	74,4
OCL					0,95	0,07	1,7	10,2
LOF	0,28	0,02	0,5	1,7				
PER	7,60	4,41	12,2	384,4	28,93	11,65	51,7	1589,8
SAN	0,84	4,66	1,4	406,7	4,65	17,76	8,3	2424,6
TAC					0,74	9,64	1,3	1316,0
TRF					0,32	2,67	0,6	364,1
<b>Total</b>	<b>100</b>	<b>100</b>	<b>161,1</b>	<b>8718,1</b>	<b>100</b>	<b>100</b>	<b>178,8</b>	<b>13651,9</b>
<b>Richesse</b>				<b>13</b>				<b>15</b>

ABL : Ablette / BAF : Barbeau fluviatile / BRB : Brème bordelière / BRE : Brème commune / BRO : brochet / CHA : Chabot / CHE : Chevaine / CMI : carpe miroir / GAR : Gardon / GOU : Goujon / GRE : grémille / OCL : écrevisse américaine / LOF : Loche franche / PER : Perche / SAN : sandre / TAC : truite arc-en-ciel / TRF : Truite de rivière

**Tab. 1 :** résultats de pêche sur le lac de Monteynard (les rendements surfaciques prennent en compte tous les types de filets tendus)

En 2017 le peuplement de la retenue de Monteynard apparaît composé de **14** espèces de poissons. Ce peuplement reste dominé par le triptyque gardon-perche-ablette, espèces ubiquistes et assez peu exigeantes. On observe par ailleurs la poursuite de la raréfaction des espèces électives du Drac, barbeau, chevesne, loche franche. A contrario, on note que le sandre semble maintenant bien installé dans la retenue et en expansion : son abondance demeure toutefois très faible si l'on se réfère aux abondances observées dans d'autres retenues à fort marnage. La présence de la truite arc-en-ciel est à relier aux efforts de déversement réalisés par le gestionnaire halieutique du milieu.

### Distribution spatiale des captures :

La distribution verticale des espèces, notamment des cyprinidés et percidés laisse apparaître une concentration nette des poissons dans les 20 premiers mètres du plan d'eau (strate correspondant partiellement à la tranche d'eau utile, fréquemment renouvelée du fait de l'exploitation hydroélectrique) : cependant des captures ont été réalisées jusqu'à 75m de profondeur. La faible stratification thermique (15°C jusqu'à 35m en août 2015) et en O2 dissout (oxycline en deçà de 70m) expliquent probablement la présence de poissons, dont celle notable de loches et chabots, dans ces grandes profondeurs.

	Strate	Benthiques												Strate	Pélagiques						
		ABL	BAF	BRB	BRE	BRO	CHA	CHE	GAR	GOU	GRE	LOF	PER		SAN	ABL	BRO	CHE	GAR	GRE	PER
2009	0-2,9	13		9	4			14	241	3	16	1	17	2	0-6	64	1	1	7		1
	3-5,9	3	1	4	1	1		4	136	1	16		12	3	6-12	1			7		2
	6-11,9	21	3	2	4	1		3	199	3	30		40	2	12-18				1		
	12-19,9		1					2	25	3	13		5	2	18-24	22					1
	29-34,9	10						1	3		13				24-30	3					
	35-49,9	1	1				1	2	15	2	11		3		30-36	1			5	3	
	50-74,9						1		1		1	2			36-42	3					
	>75	8													60-66	6					
2017	0-2,9	26	1	2	1	1		8	149		13		34	11	0-6	22			4		1
	3-5,9	2	1	4	1			6	97		18		59	15	6-12	16					2
	6-11,9				4				83		9		68	13	12-18						
	12-19,9	1			1	2			57		12		106	3	18-24	1			1		
	20-34,9	18			3		1		6		4		3	1	24-30	24					
	35-49,9		1						3		1				30-36						
	50-74,9	1					1				1				36-42	1					1
	>75						1								42-48						

ABL : Ablette / BAF : Barbeau fluviatile / BRB : Brème bordelière / BRE : Brème commune / BRO : brochet / CHA : Chabot / CHE : Chevaine / CMI : carpe miroir / GAR : Gardon / GOU : Goujon / GRE : grémille / OCL : écrevisse américaine / LOF : Loche franche / PER : Perche / SAN : sandre / TAC : truite arc-en-ciel / TRF : Truite de rivière

**Tab. 2 :** distribution spatiale des captures observées en 2009 et 2017 sur le lac de Monteynard (effectifs bruts)

La mise en œuvre de la diagnose 2015 du plan d'eau n'a pas mis en évidence de problème de qualité globale si ce n'est la présence de PCB dans les sédiments, aux alentours des seuils de détection, ce qui entraîne une valeur de somme globale notable. La vérification de la présence de ces éléments dans le biote pourrait donc s'avérer pertinente.

### Structure des populations majoritaires :

Le recrutement est souvent problématique sur les retenues à fort marnage, c'est particulièrement le cas en 2017 avec des abondances encore très faibles d'alevins de gardons et ablettes, et pour la perche ces abondances sont à peine meilleures qu'en 2017. D'une façon générale, la perche bien qu'affichant une situation plus satisfaisante qu'en 2009 reste à un niveau d'abondance faible.

La reproduction de la grémille et du sandre qui s'opèrent plus en profondeur que celles de la perche et des cyprinidés semblent fonctionnelles mais les abondances des alevins et juvéniles de ces deux espèces demeurent aussi à des niveaux très bas.

### Éléments de synthèse :

**Au vu de ces résultats, le peuplement piscicole de la retenue de Monteynard, bien qu'affichant une légère évolution positive (abondance et biomasse par unité d'effort de pêche) reste en cohérence avec les potentialités du milieu, il est dominé par des espèces peu exigeantes en matière notamment de qualité de l'habitat et qui tolèrent bien les fluctuations du niveau de la retenue. Ces fluctuations de niveau aboutissent à des taux de réussite très variables de la reproduction des poissons.**

**Comme cela avait déjà été proposé auparavant, il pourrait être intéressant de rechercher des pistes d'amélioration de la qualité physique de cette retenue, qui pourraient avoir comme objectif d'atténuer les effets des fluctuations de niveau, notamment en période de reproduction des cyprinidés et percidés.**